



การวิเคราะห์หาค่าสัมประสิทธิ์การบังแดด (Shading Coefficient; SC) โดยใช้

## โปรแกรม 2E-Building Energy Code

Analysis of Shading Coefficient using 2E-Building Energy Code

นางสาววราภรณ์ อินอ่ำไพ

นายจิรพงศ์ อนนุจร

นางสาวณัฐธิดา มีรุ่งเรือง

ห้องสมุดคณะวิศวกรรมศาสตร์

วันที่รับ..... 24 ส.ค. 2554

เลขทะเบียน..... 15516286

เลขเรียกหนังสือ..... นร.

มหาวิทยาลัยนเรศวร 232/17

2553

ปริญญานิพนธ์นี้เป็นส่วนหนึ่งของการศึกษาหลักสูตรปริญญาวิศวกรรมศาสตรบัณฑิต

สาขาวิศวกรรมเครื่องกล ภาควิชาวิศวกรรมเครื่องกล

คณะวิศวกรรมศาสตร์ มหาวิทยาลัยนเรศวร

ปีการศึกษา 2553



## ใบรับรองปริญญาโท

ชื่อหัวข้อ โครงการงาน : การวิเคราะห์หาค่าสัมประสิทธิ์การบังแดด โดยใช้โปรแกรม  
2E-Building Energy Code

ผู้ดำเนิน โครงการงาน : นางสาววราภรณ์ อินอำไพ รหัสบัณฑิต 50364171  
นายจิรพงศ์ อุนจร รหัสบัณฑิต 50380157  
นางสาวณัฐธิดา มีรุ่งเรือง รหัสบัณฑิต 50380256

อาจารย์ที่ปรึกษาโครงการงาน : อาจารย์ศิษย์ภูมิกัญจน์ แคนตา

ภาควิชา : วิศวกรรมเครื่องกล

ปีการศึกษา : 2553

คณะวิศวกรรมศาสตร์ มหาวิทยาลัยเทคโนโลยีพระจอมเกล้าธนบุรี ให้ปริญญาโทฉบับนี้เป็นส่วนหนึ่งของการศึกษาตามหลักสูตรวิศวกรรมศาสตรบัณฑิต สาขาวิศวกรรมเครื่องกล

คณะกรรมการสอบ โครงการงานวิศวกรรม

.....ประธานกรรมการ

(อาจารย์ศิษย์ภูมิกัญจน์ แคนตา)

.....กรรมการ

(รศ.ดร.มัทนี สวงนเสริมศรี)

.....กรรมการ

(ดร.อนันต์ชัย อยู่แก้ว)

หัวข้อโครงการ : การวิเคราะห์หาค่าสัมประสิทธิ์การบังแดด (Shading Coefficient; SC)  
โดยใช้โปรแกรม 2E-Building Energy Code

ผู้ดำเนินงาน : นางสาวราภรณ์ อินอำไพ รหัสนิสิต 50364171  
: นายจิรพงศ์ อนุจร รหัสนิสิต 50380157  
: นางสาวณัฐธิดา มีรุ่งเรือง รหัสนิสิต 50380256

อาจารย์ที่ปรึกษาโครงการ : อาจารย์ศิษย์ภูมิกัญจน์ แคนดา

คณะกรรมการ : รศ.ดร.มัทนี สวงวนเสริมศรี

: ดร.อนันตชัย อยู่แก้ว

ภาควิชา : วิศวกรรมเครื่องกล

ปีการศึกษา : 2553

บทคัดย่อ

วัตถุประสงค์ของโครงการนี้เป็นการคำนวณหาค่าสัมประสิทธิ์การบังแดดของอุปกรณ์บังแดด 4 ชนิด คือ อุปกรณ์บังแดดแบบแนวนอน แบบแนวตั้ง แบบผสม และ แบบแนวนอนผสมหักมุมด้านหน้า โดยใช้โปรแกรม 2E-Building Energy Code ของกระทรวงพลังงานตามพระราชบัญญัติการส่งเสริมการอนุรักษ์พลังงาน (ฉบับที่ 2) พุทธศักราช 2550

ผลจากการศึกษาสามารถสร้างตารางแสดงค่าสัมประสิทธิ์การบังแดดของอุปกรณ์บังแดดแต่ละชนิดที่ขนาดและระยะยื่นต่างๆ นอกจากนี้ยังมีการวิเคราะห์ภาวะความร้อนเมื่อติดตั้งอุปกรณ์บังแดดแต่ละชนิดในทิศทั้ง 8 ของอาคารตัวอย่างที่ติดตั้งกระจกขนาด 2m x 4m เพื่อเป็นการลดปริมาณความร้อนที่จะเข้าสู่กรอบอาคาร อีกทั้งเป็นประโยชน์ต่อ วิศวกร สถาปนิก หรือผู้ที่ทำการออกแบบหรือติดตั้งอุปกรณ์บังแดดด้วย

**Project Title** : Analysis of shading coefficient using 2E-Building Energy

Code

**Name** : Miss. Waraporn In-umpai Code 50364171

Mr. Jirapong Anujorn Code 50380157

Miss. Nuttida Meerungrueang Code 50380256

**Project Advisor** : Mr. Sitphan Kanla

**Directors** : Asst. Prof. Dr. Mathanee Sanguansermisri

: Dr. Anunchai U-kaew

**Department** : Mechanical Engineering

**Academic Year** : 2010

---

ABSTRACT

The objective of this project is to calculate the Shading Coefficient of shading devices the four types is Horizontal shading devices, Vertically shading devices, Mixed shading devices and Horizontal mixing Disjunctive shading devices using 2E-Building Energy Code. Department of Energy under the Energy Conservation Promotion Act (No.2) BE 2550.

Results of this study can create a table showing the shading coefficient of type which have the size and length various. In addition, remain have analysis of the heat load on installation shading devices in the direction all 8 direction of the building sample glass installed size 2m.x4m. to reduce the amount of heat that goes into building. Also be useful to engineers and architects who will design or install shading devices.

## กิตติกรรมประกาศ

ผู้ทำโครงการ ขอขอบพระคุณท่านอาจารย์ศิษย์รุ่นพี่ ภาควิชาคณิตศาสตร์ คณะวิทยาศาสตร์ มหาวิทยาลัยเทคโนโลยีพระจอมเกล้าธนบุรี ที่ได้กรุณาสละเวลาในการให้คำปรึกษาทั้งทางทฤษฎีทางปฏิบัติ พร้อมทั้งให้ความช่วยเหลือและแนะนำอย่างดีตลอดการทำโครงการและขอขอบพระคุณท่านอาจารย์ภาควิชาวิศวกรรมเครื่องกล และท่านอาจารย์ทุกท่านที่เกี่ยวข้องที่คอยดูแลรวมทั้งให้คำปรึกษาและอำนวยความสะดวกในการศึกษาเล่าเรียนและการทำโครงการในครั้งนี้ รวมไปถึงขอขอบพระคุณทางครอบครัวของผู้ทำโครงการที่คอยให้กำลังใจและสนับสนุนทำให้โครงการนี้ดำเนินการไปได้ด้วยดีตลอดมา



นางสาววราภรณ์ อินอำไพ

นายจิรพงศ์ อนุจร

นางสาวณัฐริกา มีรุ่งเรือง

## สารบัญ

	หน้า
ใบรับรองโครงการ	ก
บทคัดย่อ	ข
Abstract	ค
กิตติกรรมประกาศ	ง
สารบัญ	จ
สารบัญรูปภาพ	ฉ
สารบัญตาราง	ญ
สารบัญกราฟ	ท
ลำดับสัญลักษณ์	ด
<b>บทที่ 1 บทนำ</b>	
1.1 ที่มาและความสำคัญ	1
1.2 วัตถุประสงค์	2
1.3 ขอบข่ายของโครงการ	2
1.4 กิจกรรมการดำเนินงาน	3
1.5 ผลที่คาดว่าจะได้รับ	3
1.6 งบประมาณที่ใช้	3
<b>บทที่ 2 หลักการและทฤษฎี</b>	
2.1 บทนำ	4
2.2 การโคจรของโลกรอบดวงอาทิตย์	4
2.3 ปริมาณรังสีดวงอาทิตย์	7
2.3.1 รังสีดวงอาทิตย์	7
2.3.2 การแบ่งรังสีดวงอาทิตย์ตามคุณสมบัติและช่วงคลื่น	7
2.3.2.1 รังสีแสงสว่าง (Visible Radiation)	7

## สารบัญ(ต่อ)

	หน้า
2.3.2.2 รังสีอัลตราไวโอเลต	7
2.3.2.3 รังสี โลก (Terrestrial Radiation)	7
2.4 ปริมาณรังสีที่เข้าสู่บ้านและอาคาร	7
2.4.1 ความร้อนจากรังสีตรง	7
2.4.2 ความร้อนจากรังสีกระจาย	8
2.4.3 ความร้อนจากรังสีรวม	8
2.5 อิทธิพลของรังสีอาทิตย์ที่ส่องผ่านกระจก	9
2.5.1 การนำความร้อน	9
2.5.2 การแผ่รังสีความร้อน	11
2.6 ชนิดของอุปกรณ์บังแดด	13
2.6.1 อุปกรณ์บังแดดแนวนอน (Overhang)	13
2.6.2 อุปกรณ์บังแดดแนวตั้ง (Fin)	13
2.6.3 อุปกรณ์บังแดดผสม (Setback)	14
2.6.4 อุปกรณ์บังแดดแนวนอนผสมแบบหักมุมด้านหน้า	15
2.7 โปรแกรม 2E-Building (Energy Efficient Building)	15
บทที่ 3 วิธีดำเนินการทดลอง	
3.1 โปรแกรม 2E-Building Energy Code (BEC)	17
3.2 การใช้งานโปรแกรม 2E-Building Energy Code (BEC)	18
3.2.1 การเข้าสู่ระบบ	18
3.2.2 การลงทะเบียนอาคารใหม่	19
3.2.3 หน้าหลักของโปรแกรม	20
3.2.4 เครื่องมือช่วยในการหาค่า Shading Coefficient	24
3.3 การคำนวณหาค่าสัมประสิทธิ์การบังแดด (sc) ของอุปกรณ์บังแดดภายนอกอาคาร	25

## สารบัญ(ต่อ)

	หน้า
3.3.1 ตัวอย่างการคำนวณหาค่าสัมประสิทธิ์การบังแดด (sc) ของหน้าต่างโดยใช้โปรแกรม 2E-Building Energy Code (BEC)	29
3.3.2 ตัวอย่างการคำนวณหาค่าสัมประสิทธิ์การบังแดด (sc) ของอุปกรณ์บังแดดแบบแนวนอน (Overhang)	30
3.3.3 ตัวอย่างการคำนวณหาค่าสัมประสิทธิ์การบังแดด (sc) ของอุปกรณ์บังแดดแบบแนวตั้ง (Fin)	32
3.3.4 ตัวอย่างการคำนวณหาค่าสัมประสิทธิ์การบังแดด (sc) ของอุปกรณ์บังแดดแบบผสม (Setback)	33
3.4 การคำนวณหาค่าหาความร้อนจากดวงอาทิตย์ Cooling Load	34
<b>บทที่ 4 ผลการดำเนินการทดสอบและวิเคราะห์ผล</b>	
4.1 การวิเคราะห์หาค่าสัมประสิทธิ์การบังแดด (sc) ที่ระยะยื่นต่างๆของอุปกรณ์บังแดดภายนอกอาคาร	36
4.2 การวิเคราะห์ค่าความร้อนของการบังแสงอาทิตย์ของอุปกรณ์บังแดด	43
<b>บทที่ 5 สรุปผลการทดสอบ</b>	
5.1 สรุปผลในด้านค่าสัมประสิทธิ์การบังแดด (sc)	58
5.1.1 อุปกรณ์บังแดดแบบแนวนอนและแบบแนวนอนผสมหักมุมด้านหน้า	58
5.1.2 อุปกรณ์บังแดดแบบแนวตั้ง	58
5.1.3 อุปกรณ์บังแดดแบบผสม	58
5.2 สรุปผลในด้านค่าความร้อน (Q)	58
5.2.1 อุปกรณ์บังแดดแบบแนวนอนและแบบแนวนอนผสมหักมุมด้านหน้า	58
5.2.2 อุปกรณ์บังแดดแบบแนวตั้ง	59
5.2.3 อุปกรณ์บังแดดแบบผสม	59
5.3 วิจัยและข้อเสนอแนะ	60



## สารบัญ(ต่อ)

	หน้า
เอกสารอ้างอิง	61
ภาคผนวก ก. ตารางแสดงค่าสัมประสิทธิ์การบังแดดของอุปกรณ์บังแดดทั้ง 4 แบบ	62
ภาคผนวก ข. ตารางที่ใช้ในการคำนวณหาค่าความร้อน (Q)	75
ภาคผนวก ค. วิธีการคำนวณหาค่าสัมประสิทธิ์การบังแดด (SC) โดยการคำนวณมือ	83





สารบัญรูปภาพ(ต่อ)

	หน้า
รูปที่ 3.7 แสดงรูปแบบการกำหนดตัวแปรของอุปกรณ์บังแดดแบบแนวตั้ง	27
รูปที่ 3.8 แสดงรูปแบบการกำหนดตัวแปรของอุปกรณ์บังแดดแบบผสม	27
รูปที่ 3.9 แสดงมุมอะซิมูท (Azimuth Angle)	28
รูปที่ 3.10 แสดงมุมเอียงของระนาบ (Inclination Angle)	28
รูปที่ 3.11 แสดงหน้าต่างกว้าง 1m.สูง 1m.และหน้าต่างหันไปทางทิศเหนือ	29
รูปที่ 3.12 แสดงการคำนวณหาค่าสัมประสิทธิ์การบังแดด (sc) ของหน้าต่างทาง ด้านทิศเหนือ	30
รูปที่ 3.13 แสดงพิกัดของอุปกรณ์บังแดดแบบแนวนอน	30
รูปที่ 3.14 แสดงการคำนวณหาค่าสัมประสิทธิ์การบังแดด (SC) ของหน้าต่างทาง ด้านทิศใต้	31
รูปที่ 3.15 แสดงพิกัดของอุปกรณ์บังแดดแบบแนวตั้ง	32
รูปที่ 3.16 แสดงการคำนวณหาค่าสัมประสิทธิ์การบังแดด (SC) ของหน้าต่างทาง ด้านทิศตะวันออก	33
รูปที่ 3.17 แสดงพิกัดของอุปกรณ์บังแดดแบบผสม	33
รูปที่ 3.18 แสดงการคำนวณหาค่าสัมประสิทธิ์การบังแดด (SC) ของหน้าต่างทาง ด้านทิศตะวันตก	34
รูปที่ 3.19 แสดงตัวอย่างอาคารที่นำมาคำนวณหาค่าความร้อน	35
รูปที่ 1ก. อุปกรณ์บังแดดแบบแนวนอน	63
รูปที่ 2ก. อุปกรณ์บังแดดแบบแนวนอนผสมหักมุมด้านหน้า	65
รูปที่ 3ก. อุปกรณ์บังแดดแบบแนวตั้ง	71
รูปที่ 4ก. อุปกรณ์บังแดดแบบผสม	73
รูปที่ 1ค. แสดงความสัมพันธ์ทางเรขาคณิตของดวงอาทิตย์อ้างอิงจากจุดบน โลก	85
รูปที่ 2ค. การหาค่าจากตารางที่ 1ค มา Plot กราฟ	86

## สารบัญรูปภาพ(ต่อ)

	หน้า
รูปที่ 3ค. แสดงเส้นทางการ โจรของควงอาทิตย์ ตามวันที่อ้างอิงจากตารางที่ 1 สำหรับกรุงเทพฯ	86
รูปที่ 4ค. ตำแหน่งและทิศทางของระนาบและจุดต่าง ๆ บนระนาบที่สัมพันธ์กับตำแหน่งของควงอาทิตย์	87
รูปที่ 5ค. การบังแดด โดยอุปกรณ์บังแดดแนวนอนที่ติดตั้งอยู่ด้านหน้าของหน้าต่าง	89



## สารบัญตาราง

	หน้า
ตารางที่ 1.1 กิจกรรมการดำเนินงาน	3
ตารางที่ 2.1 แสดงมุมมองอาทิตย์ที่กระทำกับแนวตั้งผนังอาคารในช่วงเวลาต่างๆ ของประเทศไทย	5
ตารางที่ 5.1 อุปกรณ์บังแดดที่เหมาะสมในทิศต่างๆที่ระยะยื่นและช่วงค่า SC ที่เหมาะสม	60
ตารางที่ 1ก. ค่าสัมประสิทธิ์การบังแดด (sc) ของอุปกรณ์บังแดดแบบแนวนอน (Overhang)	64
ตารางที่ 2ก. ค่าสัมประสิทธิ์การบังแดด (sc) ของอุปกรณ์บังแดดแบบแนวนอน ผสมแบบหักมุมด้านหน้า 0.1m.	66
ตารางที่ 3ก. ค่าสัมประสิทธิ์การบังแดด (sc) ของอุปกรณ์บังแดดแบบแนวนอน ผสมแบบหักมุมด้านหน้า 0.2m.	67
ตารางที่ 4ก. ค่าสัมประสิทธิ์การบังแดด (sc) ของอุปกรณ์บังแดดแบบแนวนอน ผสมแบบหักมุมด้านหน้า 0.3m.	68
ตารางที่ 5ก. ค่าสัมประสิทธิ์การบังแดด (sc) ของอุปกรณ์บังแดดแบบแนวนอน ผสมแบบหักมุมด้านหน้า 0.4m.	69
ตารางที่ 6ก. ค่าสัมประสิทธิ์การบังแดด (sc) ของอุปกรณ์บังแดดแบบแนวนอน ผสมแบบหักมุมด้านหน้า 0.5m.	70
ตารางที่ 7ก. ค่าสัมประสิทธิ์การบังแดด (sc) ของอุปกรณ์บังแดดแบบแนวตั้ง (Fin)	72
ตารางที่ 8ก. ค่าสัมประสิทธิ์การบังแดด (sc) ของอุปกรณ์บังแดดแบบผสม (Setback)	74
Table 1. Cooling Load Temperature Differences for Calculating Cooling Load from Sunlit Walls	76
Table 2. CLTD Correction for Latitude and Month Applied to Walls and Roofs, North Latitudes	78
Table 3. Cooling Load Factor for Glass without Interior, North Latitudes (ไม่มีม่าน)	79
Table 4. Shading Coefficient for glass without or with interior Shading devices	81

## สารบัญตาราง(ต่อ)

	หน้า
Table 5. Maximum Solar Heat Gain Factor, $BTU/(h \cdot ft^2)$ , for Sunlit Glass, North Latitudes	82
ตารางที่ 1ก. แสดงมุมอัลติจูดและมุมอะซิมุทของดวงอาทิตย์ ณ เวลาต่างๆในแต่ละวัน โดยอ้างอิง 4 วัน คือ 21 มีนาคม, 21 มิถุนายน, 21 กันยายน และ 21 ธันวาคม	85
ตารางที่ 2ก. แสดงค่ารังสีตรงและรังสีกระจายของดวงอาทิตย์บนผิวแนวนอน	91



## สารบัญญกราฟ

	หน้า
กราฟที่ 4.1 กราฟแสดงค่าสัมประสิทธิ์การบังแดด (SC) ของอุปกรณ์บังแดดแบบ แนวนอน(Overhang) ที่ระยะห่างจากขอบหน้าต่าง 0m,1m,3m และ 5m ของระยะยื่น 0-1m.	37
กราฟที่ 4.2 กราฟแสดงค่าสัมประสิทธิ์การบังแดด (SC) ของอุปกรณ์บังแดดแบบ แนวนอนผสมแบบหักมุมด้านหน้า 0.1mที่ระยะห่างจากขอบหน้าต่าง 0m,1m,3mและ 5mของระยะยื่น 0-1m.	38
กราฟที่ 4.3 กราฟแสดงค่าสัมประสิทธิ์การบังแดด (SC) ของอุปกรณ์บังแดดแบบ แนวนอนผสมแบบหักมุมด้านหน้า 0.3mที่ระยะห่างจากขอบหน้าต่าง 0m,1m,3m และ 5mของระยะยื่น 0-1m.	39
กราฟที่ 4.4 กราฟแสดงค่าสัมประสิทธิ์การบังแดด (SC) ของอุปกรณ์บังแดดแบบ แนวนอนผสมแบบหักมุมด้านหน้า 0.5mที่ระยะห่างจากขอบหน้าต่าง 0m,1m,3m และ 5mของระยะยื่น 0-1m.	40
กราฟที่ 4.5 กราฟแสดงค่าสัมประสิทธิ์การบังแดด (SC) ของอุปกรณ์บังแดดแบบ แนวตั้ง(Fin) ที่ระยะห่างจากขอบหน้าต่าง 0m,1m,3m และ 5m ของ ระยะยื่น 0-1m.	41
กราฟที่ 4.6 กราฟแสดงค่าสัมประสิทธิ์การบังแดด (SC) ของอุปกรณ์บังแดดแบบ ผสม(Setback) ที่ระยะห่างจากขอบหน้าต่าง 0m,1m,3m และ 5m ของ ระยะยื่น 0-1m.	42
กราฟที่ 4.7 แสดงค่าความร้อนผ่านกระจกทางด้านทิศเหนือ ทิศใต้ ทิศตะวันออก และทิศตะวันตกของอุปกรณ์บังแดดแบบแนวนอน	44
กราฟที่ 4.8 แสดงค่าความร้อนผ่านกระจกทางด้านทิศตะวันออกเฉียงเหนือ ตะวันออกเฉียงใต้ ทิศตะวันตกเฉียงเหนือ และทิศตะวันตกเฉียงใต้ ของ อุปกรณ์บังแดดแบบแนวนอน	45

## สารบัญกราฟ(ต่อ)

	หน้า
กราฟที่ 4.9 แสดงค่าความร้อนผ่านกระจกทางด้านทิศเหนือ ทิศใต้ ทิศตะวันออก และทิศตะวันตกของอุปกรณ์บังแดดแบบแนวนอนผสมแบบหักมุม ด้านหน้า 0.1m	46
กราฟที่ 4.10 แสดงค่าความร้อนผ่านกระจกทางด้านทิศตะวันออกเฉียงเหนือ ตะวันออกเฉียงใต้ ทิศตะวันตกเฉียงเหนือ และทิศตะวันตกเฉียงใต้ ของอุปกรณ์บังแดด แบบแนวนอนผสมแบบหักมุมด้านหน้า 0.1m	47
กราฟที่ 4.11 แสดงค่าความร้อนผ่านกระจกทางด้านทิศเหนือ ทิศใต้ ทิศตะวันออก และทิศตะวันตกของอุปกรณ์บังแดดแบบแนวนอนผสมแบบหักมุม ด้านหน้า 0.3m	48
กราฟที่ 4.12 แสดงค่าความร้อนผ่านกระจกทางด้านทิศตะวันออกเฉียงเหนือ ตะวันออกเฉียงใต้ ทิศตะวันตกเฉียงเหนือ และทิศตะวันตกเฉียงใต้ ของอุปกรณ์บังแดดแบบแนวนอนผสมแบบหักมุมด้านหน้า 0.3m	49
กราฟที่ 4.13 แสดงค่าความร้อนผ่านกระจกทางด้านทิศเหนือ ทิศใต้ ทิศตะวันออก และทิศตะวันตกของอุปกรณ์บังแดดแบบแนวนอนผสมแบบหักมุม ด้านหน้า 0.5m	50
กราฟที่ 4.14 แสดงค่าความร้อนผ่านกระจกทางด้านทิศตะวันออกเฉียงเหนือ ตะวันออกเฉียงใต้ ทิศตะวันตกเฉียงเหนือ และทิศตะวันตกเฉียงใต้ ของอุปกรณ์บังแดดแบบแนวนอนผสมแบบหักมุมด้านหน้า 0.5m	51
กราฟที่ 4.15 แสดงค่าความร้อนผ่านกระจกทางด้านทิศเหนือ ทิศใต้ ทิศตะวันออก และทิศตะวันตกของอุปกรณ์บังแดดแบบแนวตั้ง	52
กราฟที่ 4.16 แสดงค่าความร้อนผ่านกระจกทางด้านทิศตะวันออกเฉียงเหนือ ตะวันออกเฉียงใต้ ทิศตะวันตกเฉียงเหนือ และทิศตะวันตกเฉียงใต้ ของอุปกรณ์บังแดดแบบแนวตั้ง	53



## สารบัญกราฟ(ต่อ)

	หน้า
กราฟที่ 4.17 แสดงค่าความร้อนผ่านกระจกทางด้านทิศเหนือ ทิศใต้ ทิศตะวันออก และทิศตะวันตกของอุปกรณ์บังแดดแบบผสม	54
กราฟที่ 4.18 แสดงค่าความร้อนผ่านกระจกทางด้านทิศตะวันออกเฉียงเหนือ ตะวันออกเฉียงใต้ ทิศตะวันตกเฉียงเหนือ และทิศตะวันตกเฉียงใต้ ของอุปกรณ์บังแดดแบบผสม	55



### ลำดับสัญลักษณ์

$Q$  = ภาระการทำความเย็นจากกระจก หน่วยเป็น Btu/hr

$U$  = สัมประสิทธิ์ความร้อนของกระจก หน่วยเป็น Btu/hr

$A$  = พื้นที่ของกระจก หน่วยเป็น  $ft^2$

CLTD = ผลต่างอุณหภูมิของภาระการทำความเย็นสำหรับการนำความร้อนผ่านทางกระจก

LM = การแก้ไขเส้นศูนย์สูตรและเดือน

$t_r$  = อุณหภูมิห้อง

$t_a$  = อุณหภูมิภายนอกเฉลี่ย

$t_o$  = อุณหภูมิกระเปาะแห้ง

DR = อุณหภูมิประจำวัน

CLF = Cooling load factor เป็นตัวประกอบภาระการทำความเย็นของกระจก

SC = อัตราส่วนของรังสีความร้อนที่ผ่านกระจกนั้นๆต่อรังสีความร้อนที่ผ่านกระจกใสหนา 3 มิลลิเมตร ที่ไม่มีอุปกรณ์บังแดด

$SC_1$  = ค่าสัมประสิทธิ์การบังแดดของอุปกรณ์บังแดด

$SC_2$  = ค่าสัมประสิทธิ์การบังแดดของกระจก

SHGF = ค่าสัมประสิทธิ์การส่งผ่านความร้อนจากรังสีอาทิตย์

พิกัดของหน้าต่างและอุปกรณ์บังแดด

$W$  = ระยะยื่นของอุปกรณ์บังแดด

$B$  = ระยะห่างจากขอบหน้าต่าง

$A$  = ความสูงของหน้าต่าง

$C$  = ระยะหักมุมด้านหน้า

$A_h$  = ความสูงของหน้าต่าง

$B_h$  = ระยะห่างจากขอบหน้าต่างด้านบน

$B_v$  = ระยะห่างจากขอบหน้าต่างด้านข้าง

## บทที่ 1

### บทนำ

#### 1.1 ที่มาของโครงการ

ในปัจจุบันนี้โลกได้เผชิญกับปัญหาภาวะโลกร้อน (Global Warming) ซึ่งเป็นปัญหาใหญ่ของโลก โดยส่งผลทำให้อาคารบ้านเรือนและสิ่งปลูกสร้างต่างๆ มีความร้อนสูง ก่อให้เกิดปัญหาและอุปสรรคต่อการดำรงชีวิตของมนุษย์เป็นอย่างยิ่ง ด้วยเหตุนี้การหาค่าสัมประสิทธิ์การบังแดดจะใช้เป็นแนวทางในการหาค่าความร้อนจากดวงอาทิตย์ที่จะเข้าสู่ตัวอาคารเพื่อช่วยลดความร้อนที่จะเข้าสู่ตัวอาคาร ซึ่งจะส่งผลให้เกิดความรู้สึกสบายของมนุษย์และการประหยัดพลังงานแต่เนื่องจากอาคารในส่วนใหญ่ที่มักนิยมใช้กระจกเป็นกรอบอาคารเพื่อความสวยงาม เพิ่มความโดดเด่นให้กับตัวอาคาร อีกทั้งยังช่วยให้สามารถมองเห็นทัศนียภาพภายนอกได้ดีและยังเป็นการนำแสงธรรมชาติมาใช้ในการช่วยให้แสงสว่างแก่ห้องต่างๆภายในตัวอาคาร แต่เนื่องจากหน้าต่างกระจกที่ติดตั้งกับตัวอาคารนั้น ทำให้เกิดการถ่ายเทความร้อนผ่านกระจกเข้าสู่ตัวอาคารเป็นจำนวนมาก ทั้งการถ่ายเทความร้อนผ่านกระจกโดยการนำความร้อน (Conduction Heat Gain) ซึ่งเป็นการนำความร้อนโดยตรง และการแผ่รังสีความร้อนของกระจก (Solar Radiation) ซึ่งเป็นวิธีการส่งผ่านความร้อนจากรังสีอาทิตย์ (Solar Heat Gain Factor) เข้าสู่ตัวอาคาร โดยปริมาณความร้อนในส่วนนี้จะขึ้นอยู่กับค่าสัมประสิทธิ์ในการบังแดดของกระจก (Shading Coefficient) รวมทั้งค่ารังสีจากดวงอาทิตย์ในแต่ละทิศทางที่ตกกระทบมายังกระจกโดยตรง ซึ่งโดยเฉพาะการแผ่รังสีความร้อนของกระจกนั้นจะมีปริมาณของการถ่ายเทความร้อนเข้าสู่ตัวอาคารเป็นจำนวนมาก จึงเป็นสาเหตุสำคัญที่ทำให้ภายในตัวอาคารมีความร้อนสูง

จากปัญหาดังกล่าวจึงได้ทำการหาค่าสัมประสิทธิ์การบังแดดโดยใช้โปรแกรม 2E-Building Energy Code ช่วยในการหาค่าสัมประสิทธิ์การบังแดด(SC) เพื่อเป็นแนวทางในการลดปริมาณความร้อนให้กับตัวอาคารได้เป็นอย่างดี อีกทั้งยังเป็นการช่วยลดภาระการทำมาหากินของเครื่องปรับอากาศได้ ส่งผลทำให้ประหยัดพลังงานไฟฟ้า แต่ทั้งนี้การศึกษาและวิเคราะห์ค่า

สัมประสิทธิ์การบังแดดของอุปกรณ์บังแดดภายนอกอาคารจำเป็นที่จะต้องพิจารณาถึงตำแหน่งและทิศทาง การเคลื่อนที่ของดวงอาทิตย์เพื่อที่จะได้หาพิภคการติดตั้งอุปกรณ์บังแดดให้มีความเหมาะสมและสามารถบังแสงแดดได้ในทุกทิศทางอย่างมีประสิทธิภาพ ตลอดจนการได้รับแสงธรรมชาติได้อย่างเพียงพอและก่อให้เกิดประโยชน์สูงสุด

## 1.2 วัตถุประสงค์ของโครงการ

1.2.1 เพื่อวิเคราะห์หาค่าสัมประสิทธิ์การบังแดด (Shading Coefficient; SC) โดยใช้โปรแกรม 2E-Building Energy Code ใช้เป็นแนวทางในการลดความร้อนเข้าสู่อาคารเพื่อการประหยัดพลังงาน

## 1.3 ขอบข่ายของโครงการ

1.3.1 ศึกษาปัจจัยที่ส่งผลทำให้เกิดความร้อนเข้าสู่อาคาร

1.3.2 ศึกษาการใช้โปรแกรม 2E-Building Energy Code เพื่อช่วยในหาค่าสัมประสิทธิ์การบังแดด

1.3.3 คำนวณหาค่าสัมประสิทธิ์การบังแดด (Shading Coefficient; SC) โดยใช้โปรแกรม 2E-Building Energy Code สำหรับอุปกรณ์บังแดด 4 แบบ ได้แก่ แบบแนวนอน (Overhang) แบบแนวตั้ง (Fin) แบบผสม (Setback) และแบบแนวนอนผสมกับแบบหักมุมด้านหน้าในทิศทางต่างๆ ทั้ง 8 ทิศ

1.3.4 คำนวณหาค่าความร้อน (Cooling Load; Q) ในอาคารตัวอย่างที่ตั้งอยู่ในจังหวัดพิษณุโลกและมีหน้าต่างที่ติดกระจกใสหนา 3mm. ขนาด 4x2m.

### 1.4 กิจกรรมการดำเนินงาน

ตารางที่ 1.1 กิจกรรมการดำเนินงาน

การดำเนินงาน	น.ย.				ก.ค.				ส.ค.				ก.ย.				ต.ค.				พ.ย.				ธ.ค.				ม.ค.				ก.พ.				มี.ค.			
	1	2	3	4	1	2	3	4	1	2	3	4	1	2	3	4	1	2	3	4	1	2	3	4	1	2	3	4	1	2	3	4	1	2	3	4	1	2	3	4
1. ศึกษาทฤษฎีที่เกี่ยวข้อง	←				→																																			
2. ศึกษาการใช้โปรแกรม									←				→																											
3. ทำการหาค่า Shading Coefficient													←				→																							
4. ทำการหาค่า Cooling Load																	←				→																			
5. ประเมิน วัฏจักรที่ผลการออกแบบ																									←				→											
6. สรุปผลการออกแบบ																																	←				→			
7. รวบรวมข้อมูลจัดทำรูปเล่ม																																	←				→			

### 1.5 ผลที่คาดว่าจะได้รับ

1.5.1 สามารถใช้งาน โปรแกรม 2E-Building Energy Code ในการคำนวณหาค่าสัมประสิทธิ์การบังแดดได้

1.5.2 ได้รูปแบบอุปกรณ์บังแดดที่มีความเหมาะสมต่อการใช้งานเพื่อการประหยัดพลังงาน

### 1.6 งบประมาณที่ใช้

1.6.1 ค่ากระดาษ 200 บาท

1.6.2 ค่าถ่ายเอกสารและเข้าเล่ม 1,300 บาท

1.6.3 ค่าหมึกเครื่องพิมพ์ 1,500 บาท

รวมทั้งสิ้น 3,000 บาท

## บทที่ 2

### หลักการและทฤษฎี

#### 2.1 บทนำ

สำหรับประเทศไทยซึ่งตั้งอยู่ในเขตร้อนชื้น ทำให้สภาพอากาศมีอุณหภูมิสูง และสิ่งที่มีผลทำให้อุณหภูมิสูงนั้นส่วนใหญ่มาจากดวงอาทิตย์ ส่งผลทำให้กรอบอาคารบ้านเรือนมีอุณหภูมิสูงขึ้น โดยเฉพาะกรอบอาคารที่เป็นกระจก การป้องกันความร้อนเข้าสู่อาคารดังกล่าวสามารถทำได้หลายวิธี ไม่ว่าจะเป็นการปลูกต้นไม้บัง การทาสีผนังอาคารภายนอกด้วยสีอ่อน ลดการใช้เครื่องใช้ไฟฟ้า หรือติดตั้งเครื่องปรับอากาศก็ตาม ซึ่งวิธีนี้เป็นวิธีที่ได้รับความนิยมมากที่สุดในปัจจุบัน แต่มันก็เป็นวิธีที่สูญเสียพลังงานมากที่สุด ดังนั้นการลดหรือป้องกันไม่ให้ความร้อนเข้าสู่อาคาร จึงช่วยให้อาคารมีมีความร้อนลดลง และสามารถลดขนาดของเครื่องปรับอากาศที่จะติดตั้ง ทำให้ประหยัดการใช้พลังงานไฟฟ้าได้ซึ่งแนวทางในการให้ลดความร้อนที่จะเข้าสู่อาคารคือ การลดปริมาณรังสีความร้อนที่จะผ่านเข้าทางกระจกหน้าต่าง โดยการติดตั้งอุปกรณ์บังแดดภายนอกอาคาร เพื่อไม่ให้หน้าต่าง ประตู่ หรือผนังที่เป็นกระจกถูกแสงแดด โดยตรง

ด้วยเหตุนี้จึงได้ใช้โปรแกรม 2E-BUILDING (Energy Efficient Building) ของกรมพัฒนาพลังงานทดแทนและอนุรักษ์พลังงาน กระทรวงพลังงาน มาช่วยในการวิเคราะห์ค่าสัมประสิทธิ์การบังแดด (SC) ที่จะเข้าสู่อาคารผ่านทางกระจกเพื่อเป็นแนวทางในการประหยัดพลังงาน

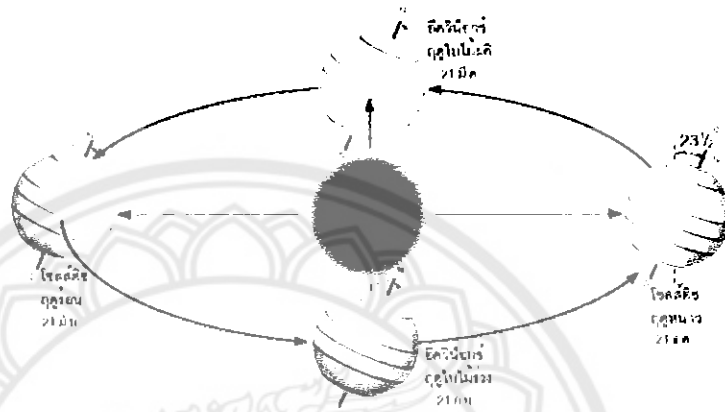
#### 2.2 การโคจรของโลกรอบดวงอาทิตย์

การขึ้นและตกของดวงอาทิตย์เกิดจากการหมุนรอบตัวเองของโลกตามแกนเหนือไปใต้ ทิศทางบนโลกจึงแบ่งเป็น 4 ทิศคือ ทิศตะวันออก (East), ทิศตะวันตก (West), ทิศเหนือ (North) และทิศใต้ (South)

แต่เนื่องจากแกนหมุนของโลกเอียง ดวงอาทิตย์จึงไม่ได้ขึ้นทางทิศตะวันออกและตกทางทิศตะวันตกทุกวัน ดวงอาทิตย์จะขึ้นตรงทิศตะวันออกและตกทางทิศตะวันตกเฉพาะช่วงฤดูใบไม้ผลิ และฤดูใบไม้ร่วงเท่านั้น

ในฤดูหนาว ดวงอาทิตย์จะขึ้นทางทิศตะวันออกเฉียงใต้และตกทางทิศตะวันตกเฉียงใต้ โดยอยู่ทางทิศใต้มากสุดในช่วงฤดูหนาว

ในฤดูร้อน ดวงอาทิตย์ขึ้นทางทิศตะวันออกเฉียงเหนือและตกทางทิศตะวันตกเฉียงใต้ โดยอยู่ทางทิศเหนือมากสุดในช่วงฤดูร้อน



รูปที่ 2.1 แสดงการ โคจรของ โลกรอบดวงอาทิตย์

แนว โคจรของดวงอาทิตย์ในช่วงเดือนต่างๆเป็นแนวทางในการออกแบบอุปกรณ์บังแดด ภายนอกอาคารดังแสดงในตารางที่ 2.1

ตารางที่ 2.1 แสดงมุมมองดวงอาทิตย์ที่ทำกับแนวคิ่งผนังอาคาร ในช่วงเวลาต่างๆของประเทศไทย

วัน / เดือน	มุมมองสายของดวงอาทิตย์กับผนังในแนวคิ่งตามช่วงเวลาต่างๆ				
	8.00 น.	10.00 น.	12.00 น.	14.00 น.	16.00 น.
21 มิถุนายน	66	33	10	33	66
22 ธันวาคม	72	48	37	48	72





## 2.3 ปริมาณรังสีดวงอาทิตย์ อาจแบ่งออกเป็น 2 กลุ่มตามแหล่งกำเนิด คือ

### 2.3.1 รังสีดวงอาทิตย์ (Solar Radiation)

รังสีดวงอาทิตย์เป็นคลื่นสั้นและเป็นพลังงานที่ปล่อยออกมาจากดวงอาทิตย์ รังสีดวงอาทิตย์ที่ตกกระทบขอบบรรยากาศเรียกว่า รังสีที่นอกโลก (Extraterrestrial Solar Radiation) ซึ่งประกอบด้วย ช่วงคลื่นสั้น ตั้งแต่ 290-300 นาโนเมตร ถึง 97 เพอร์เซ็นต์ ส่วนของรังสีนอกโลกที่ผ่านชั้นบรรยากาศมาถึงผิวโลกจะถูกกระจายและดูดกลืนโดยโมเลกุลของก๊าซต่างๆ อนุภาคฝุ่น และเมฆที่อยู่ในชั้นบรรยากาศ

### 2.3.2 การแบ่งรังสีดวงอาทิตย์ตามคุณสมบัติและช่วงคลื่น

#### 2.3.2.1 รังสีแสงสว่าง (Visible Radiation)

แสงสว่างเป็นรังสีที่มองเห็นได้ด้วยตาเปล่า ช่วงสเปกตรัมของแสงสว่างต่ำสุด เริ่มตั้งแต่ 360 ถึง 400 นาโนเมตร และสูงสุดอยู่ระหว่าง 360-830 นาโนเมตร

#### 2.3.2.2 รังสีอัลตราไวโอเล็ต

มองไม่เห็นด้วยตาเปล่า แบ่งออกเป็น 3 ช่วง คือ

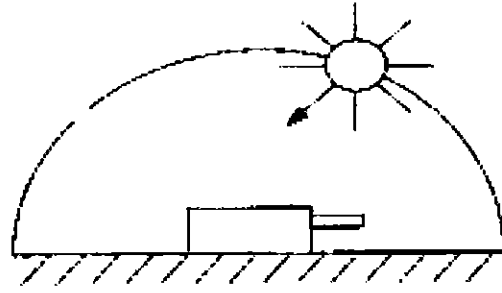
UV-A: 315...400 ไม่มีผลกระทบต่อสิ่งมีชีวิตมากนัก UV-B: 280...315 มีผลกระทบต่อสิ่งมีชีวิต และ UV-C: 100...280 ถูกดูดกลืนโดยชั้นบรรยากาศทั้งหมดไม่พบที่ผิวพื้นโลก

#### 2.3.2.3 รังสีโลก (Terrestrial Radiation)

รังสีโลกเป็นคลื่นยาวและเป็นพลังงานแม่เหล็กไฟฟ้าคลื่นยาวที่ปลดปล่อยออกที่ผิวโลก และโดยก๊าซต่างๆ ฝุ่นละออง และเมฆในบรรยากาศ โดยบางส่วนถูกดูดกลืนภายในบรรยากาศ

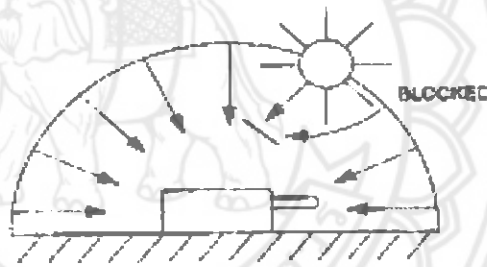
## 2.4 ปริมาณรังสีที่เข้าสู่อาคารบ้านเรือน

2.4.1 ความร้อนจากรังสีตรง (Direct Solar Radiation) คือลำแสงที่พุ่งตรงจากดวงอาทิตย์ มาตกยังหน้าต่างโดยตรง ซึ่งนำความร้อนผ่านหน้าต่างเข้ามาในบ้านหรืออาคารจำนวนมาก



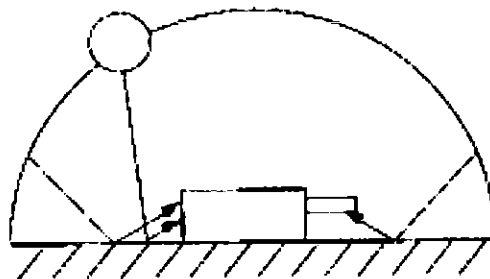
รูปที่ 2.4 รังสีตรง

2.4.2 ความร้อนจากรังสีกระจาย (Diffuse Solar Radiation) คือลำแสงจากดวงอาทิตย์ที่สะท้อนมาจากชั้นบรรยากาศของโลก หรือจากเมฆหมอก ละอองน้ำ และก๊าซต่างๆ ในชั้นบรรยากาศก่อนที่จะตกลงบนพื้นผิว โดยลำแสงกระจายที่ตกบนพื้นผิวต่างๆ จะเข้ามาทุกทิศทุกทาง แต่ในกรณีพื้นผิวที่เป็นกระจก ความร้อนที่ผ่านกระจกหน้าต่างเข้ามาในอาคารจะน้อยกว่าความร้อนจากลำแสงตรง และเป็นประโยชน์ในการส่องสว่างภายในอาคารเวลากลางวัน



รูปที่ 2.5 รังสีกระจาย

2.4.3 ความร้อนจากรังสีรวม (Total Radiation) คือ ผลรวมของรังสีตรงและรังสีกระจายที่ตกกระทบผิวรับรังสี

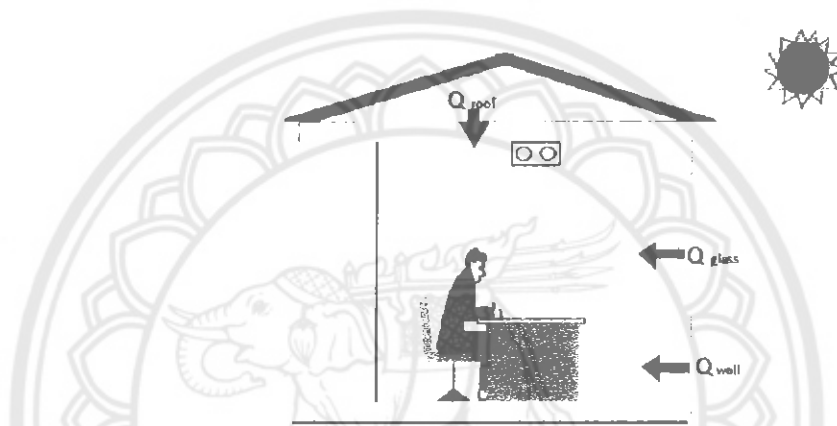


รูปที่ 2.6 รังสีรวม

## 2.5 อิทธิพลของรังสีอาทิตย์ที่ส่องผ่านกระจก

ดวงอาทิตย์เป็นแหล่งพลังงานความร้อนที่มีผลกระทบโดยตรงต่ออาคารบ้านเรือนโดยผลกระทบดังกล่าวจะอยู่ในรูปของ

2.5.1 การนำความร้อน (Conduction Heat Gain loss:  $Q_c$ ) เกิดจากการนำความร้อนเข้ามาภายในอาคาร หรือ การสูญเสียความร้อนสู่ภายนอกอาคาร โดยจะถ่ายเทจากที่ที่มีอุณหภูมิสูงไปบริเวณที่มีอุณหภูมิต่ำดังแสดงในรูปที่ 2.7



รูปที่ 2.7 ความร้อนที่เข้ามาในอาคาร โดยการนำความร้อนผ่านกระจก

สมการการหาค่าการนำความร้อนผ่านกระจก คือ

$$Q = (U)(A)(CLTD_c) \quad \text{สมการที่ 1.1}$$

โดยที่  $Q$  คือภาระการทำความเย็นจากกระจก หน่วยเป็น Btu/hr

$U$  คือสัมประสิทธิ์ความร้อนของกระจก หน่วยเป็น Btu/hr

$A$  คือพื้นที่ของกระจก หน่วยเป็น  $ft^2$

$CLTD_c$  คือค่าการแก้ไขผลต่างอุณหภูมิ ( $CLTD$ ) สามารถหาได้จากสมการ ดังนี้

$$CLTD_c = (CLTD + LM) + (78 - t_r) + (t_a - 85) \quad \text{สมการที่ 1.2}$$

โดยที่  $CLTD$  คือ ผลต่างอุณหภูมิของภาระการทำความเย็นสำหรับการนำความร้อนผ่านทางกระจก หาได้จาก Table 1 (ภาคผนวก ข.)

LM คือ การแก้ไขเส้นศูนย์สูตรและเดือน หาได้จาก Table 2

(ภาคผนวก ข.)

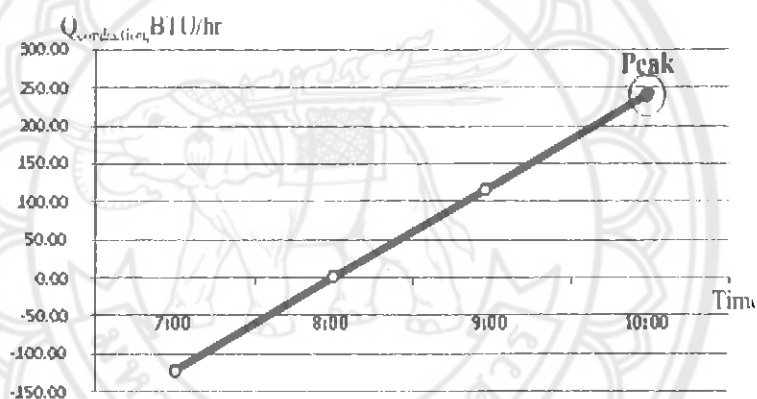
$t_r$  คือ อุณหภูมิห้อง

$t_a$  คือ อุณหภูมิภายนอกเฉลี่ย ซึ่งหาได้จากสมการ

$$t_a = t_0 - \frac{DR}{2}(t_0) \quad \text{สมการที่ 1.3}$$

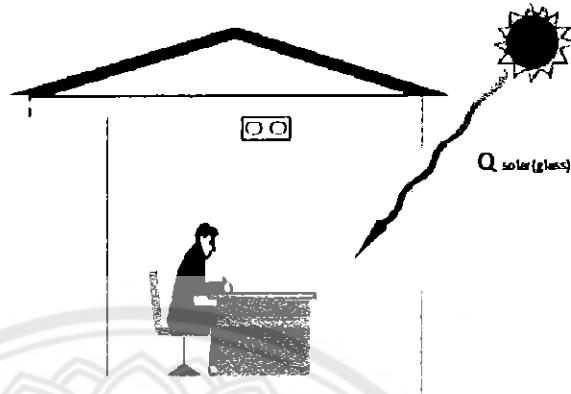
โดยที่  $t_0$  คือ อุณหภูมิกระเปาะแห้ง ซึ่งประเทศไทยจะใช้ค่า  $t_0 = 95^\circ\text{F}$

DR คือ อุณหภูมิประจำวัน ซึ่งประเทศไทยจะใช้ค่า  $DR = 18^\circ\text{F}$



รูปที่ 2.8 แสดงความร้อนที่ได้จากการนำความร้อนผ่านกระจก ณ เวลาต่างๆของหอพัก Good Land หลังม.นเรศวรที่มีขนาดหน้าต่างเท่ากับ  $6\text{m}^2$  และหันไปทางด้านทิศตะวันออก

2.5.2 การแผ่รังสีความร้อน (Solar Radiation:  $Q_s$ ) คือรังสีแสงอาทิตย์ในกรณีที่ประเทศไทยต้องอยู่ใกล้เส้นศูนย์สูตรจะได้รับผลกระทบจากรังสีแสงอาทิตย์โดยตรงดังแสดงในรูปที่ 2.9



รูปที่ 2.9 ความร้อนที่เข้ามาภายในอาคาร โดยการแผ่รังสีผ่านกระจก

สมการการหาค่าการแผ่รังสีความร้อนผ่านกระจก คือ

$$Q = (A)(SC)(SHGF)(CLF) \quad \text{สมการที่ 1.4}$$

โดยที่  $Q$  คือภาระการทำความเย็นจากกระจก หน่วยเป็น Btu/hr

$A$  คือพื้นที่ของกระจก หน่วยเป็น  $\text{ft}^2$

$CLF$  คือ Cooling load factor เป็นตัวประกอบภาระการทำความเย็นของกระจก หาได้จาก Table 3 (ภาคผนวก ข.)

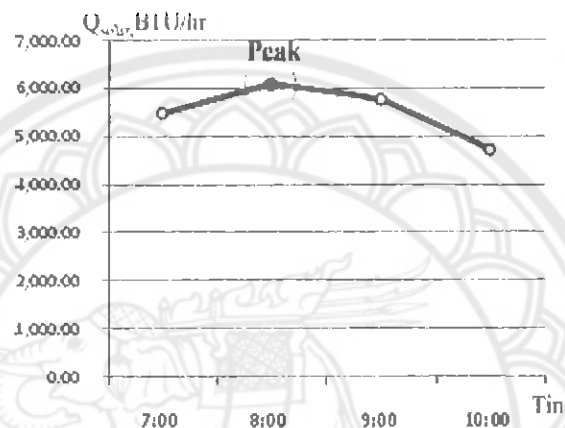
สัมประสิทธิ์การบังแดดของกระจก ;  $SC$  คืออัตราส่วนของรังสีความร้อนที่ผ่านกระจกนั้นๆต่อรังสีความร้อนที่ผ่านกระจกใสหนา 3 มิลลิเมตรที่ไม่มีอุปกรณ์บังแดด

เราสามารถคำนวณหาค่าสัมประสิทธิ์การบังแดดได้จาก  $SC = SC_1 \times SC_2$  สมการที่ 1.5

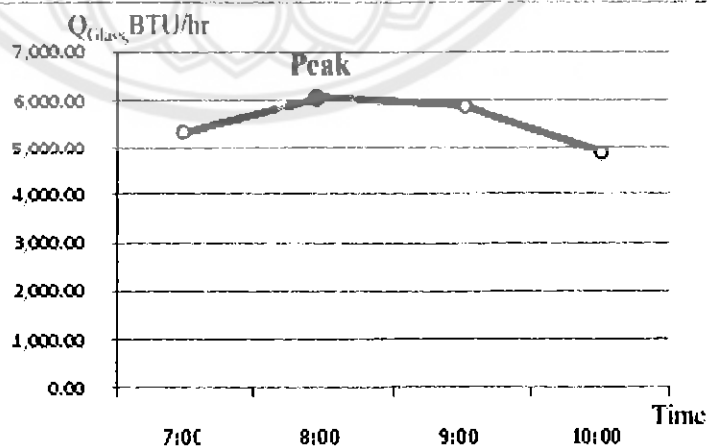
โดยที่  $SC_1$  คือ ค่าสัมประสิทธิ์การบังแดดของอุปกรณ์บังแดด

$SC_2$  คือ ค่าสัมประสิทธิ์การบังแดดของกระจก ซึ่งกระจกแต่ละชนิดมีค่าสัมประสิทธิ์การบังแดดไม่เท่ากันขึ้นอยู่กับคุณสมบัติของกระจกชนิดนั้นๆหาได้จาก Table 4 (ภาคผนวก ข.)

ค่าสัมประสิทธิ์การส่งผ่านความร้อนจากรังสีอาทิตย์ (Solar Heat Gain factor; SHGF) คือค่าตัวประกอบการคูณปริมาณแสงอาทิตย์ที่ส่งผ่านผนัง โปร่งแสงหรือกระจก ซึ่งใช้บ่งบอกความสามารถในการยอมให้ปริมาณความร้อนเนื่องจากแสงอาทิตย์ส่องผ่านเนื้อกระจกที่รวมกับรังสีอาทิตย์ที่ส่องผ่านโดยตรง และความร้อนที่ถ่ายเทจากเนื้อกระจกโดยการนำและการแผ่รังสีความร้อน ค่าดังกล่าวมีค่าอยู่ระหว่าง 0-1.0



รูปที่ 2.10 แสดงความร้อนที่ได้จากการแผ่รังสีความร้อนผ่านกระจก ณ.เวลาต่างๆของหอพัก Good Land หลังม.นเรศวรที่มีขนาดหน้าต่างเท่ากับ  $6\text{ m}^2$  และหันไปทางด้านทิศตะวันออก



รูปที่ 2.11 แสดงความร้อนรวมของกระจก ณ.เวลาต่างๆของหอพัก Good Land หลังม.นเรศวรที่มีขนาดหน้าต่างเท่ากับ  $6\text{ m}^2$  และหันไปทางด้านทิศตะวันออก

จะเห็นได้ว่าค่าความร้อนจากการนำความร้อนของกระจกตั้งรูปที่ 2.8 มีค่าน้อยกว่าความร้อนที่ได้รับจากการแผ่รังสีของกระจกตั้งรูปที่ 2.10 เป็นอย่างมากและค่าความร้อนส่วนใหญ่มาจากการแผ่รังสีของกระจกซึ่งจะเห็นได้ตั้งรูปที่ 2.11

## 2.6 ชนิดของอุปกรณ์บังแดด

อุปกรณ์บังแดดสามารถช่วยป้องกันลำแสงตรง ของแสงอาทิตย์ไม่ให้เข้าสู่ตัวบ้านหรือตัวอาคาร ได้อย่างมีประสิทธิภาพ การติดตั้งอุปกรณ์บังแดดให้กับหน้าต่างมีทั้งในแนวราบ(Overhang) แนวตั้ง(Fin) และ แบบผสมทั้งแนวราบและแนวตั้ง(Set-back)รวมไปถึงการนำต้นไม้มาช่วยในการบังแสงแดดอีกด้วยเพราะต้นไม้ดำรงชีวิตอยู่ได้ด้วยการสังเคราะห์แสงและจะคายน้ำออกมาโดยการไถ่รากได้ดินดูดเอาความร้อนรอบๆขึ้นมาแล้วคายน้ำออกทางปากใบทำให้อุณหภูมิบริเวณต้นไม้เย็นลงจึงเป็นการช่วยลดความร้อนให้สภาพแวดล้อมได้

2.6.1 อุปกรณ์บังแดดแนวราบ (Overhang) เหมาะสำหรับหน้าต่างที่อยู่ทางด้านทิศเหนือและทิศใต้เพราะสามารถบังแสงอาทิตย์ในช่วงเที่ยงและช่วงบ่ายได้ดี



รูปที่ 2.12 อุปกรณ์บังแดดแนวราบ

2.6.2 อุปกรณ์บังแดดในแนวตั้ง (Fin) เหมาะสำหรับหน้าต่างที่อยู่ด้านทิศตะวันออกและทิศตะวันตก เพราะสามารถบังแสงอาทิตย์ในช่วงเช้าและช่วงเย็นได้ดี แต่การออกแบบอุปกรณ์บังแดดในแนวตั้งให้สามารถบังแสงแดดทุกช่วงเวลานั้นทำได้ยากทั้งนี้เพราะตำแหน่งของ ดวงอาทิตย์ ณ ประเทศไทยที่เวลาต่างๆ ในแนวทิศตะวันออกและทิศตะวันตกจะมีการเบี่ยงเบนมาก



รูปที่ 2.13 อุปกรณณ์บังแดดแนวค้ำ

2.6.3 อุปกรณณ์บังแดดแบบผสม (Setback) สามารถป้องกันรังสีตรงจากดวงอาทิตย์ได้ตลอด

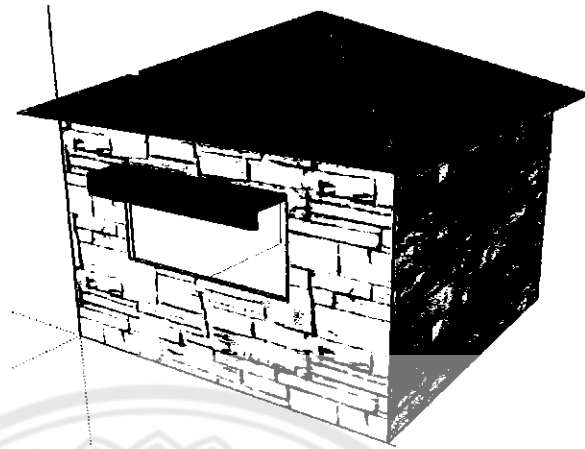
ทั้งวัน



รูปที่ 2.14 อุปกรณณ์บังแดดแบบผสม



#### 2.6.4 อุปกรณ์บังแดดแบบแนวนอนผสมแบบหักมุมด้านหน้า



รูปที่ 2.15 อุปกรณ์บังแดดแบบแนวนอนผสมแบบหักมุมด้านหน้า

### 2.7 โปรแกรม 2E-BUILDING (Energy Efficient Building)

โปรแกรม BEC หรือ Building Energy Code เป็นโปรแกรมที่พัฒนาขึ้นเพื่อใช้สำหรับตรวจสอบความสอดคล้องของแบบอาคารต่อเกณฑ์มาตรฐานการอนุรักษ์พลังงานในอาคารซึ่งจัดทำขึ้นใหม่ภายใต้ พ.ร.บ. การส่งเสริมการอนุรักษ์พลังงาน (ฉบับที่ 2) พ.ศ. 2550 และมีผลบังคับใช้ตั้งแต่เดือนมิถุนายน พ.ศ. 2552 ที่ผ่านมา โดยหลักเกณฑ์และวิธีการคำนวณในการออกแบบอาคารให้เป็นไปตามประกาศกฎกระทรวง ทั้งนี้เกณฑ์มาตรฐานได้พัฒนาปรับปรุงจากเดิมให้มีประสิทธิภาพดีขึ้นสอดคล้องกับความเจริญก้าวหน้าทางเทคโนโลยีปัจจุบัน และยังเพิ่มความยืดหยุ่นในการพิจารณา สำหรับการออกแบบตามวิชาชีพสถาปัตยกรรมศาสตร์และวิศวกรรมศาสตร์ เนื่องจากสามารถนำระบบที่มีประสิทธิภาพดีกว่าเกณฑ์มาตรฐานมาชดเชยให้กับระบบที่ไม่ผ่านเกณฑ์ได้



รูปที่ 2.16 โปรแกรม 2E-Building Energy Code

ความหมายของ 2E- building หรือ Energy Efficient Building คือ อาคารที่มีการใช้พลังงานอย่างมีประสิทธิภาพ เป็นการผสมผสานอย่างลงตัวระหว่างศิลปะการออกแบบอาคารและศาสตร์ทางด้านการอนุรักษ์พลังงาน โดยผลงานที่ได้รับจะสอดคล้องกับคำพูดที่ว่า “อาคารสวย อยู่สบาย ปฏิบัติตามกฎหมาย และลดค่าใช้จ่ายในอนาคต”

โดยจะใส่พิกัดของอุปกรณ์บังแดดลงไปในตารางดังรูปที่ 2.17

**Shading-Coefficient Calculation**

Wall Azimuth: 0      Degree (0 - 360)

Wall Inclination: 0      Degree (0 - 90)

\* Azimuth Angle: 0 = South, 90 = West, 180 = North, 270 = East

**Variables Input**

Device Name	Main Coordinate X0	Main Coordinate Y0	Main Coordinate Z0	Main Coordinate Azimuth	Main Coordinate Inclination	Local Coordinate X1	Local Coordinate Y1	Local Coordinate X2	Local Coordinate Y2	Local Coordinate X3	Local Coordinate Y3	Local Coordinate X4	Local Coordinate Y4	Local Coordinate X5	Local Coordinate Y5

**Result**

Direct Solar: 0

Diffuse Solar: 0

Total: 0

รูปที่ 2.17 ตารางในการหาค่า SC

## บทที่ 3

### วิธีดำเนินการทดลอง

การออกแบบอุปกรณ์บังแดดภายนอกอาคาร จำเป็นที่จะต้องคำนวณสัมประสิทธิ์การบังแดด (Shading Coefficient) ของอุปกรณ์บังแดด โดยใช้โปรแกรม 2E-Building Energy Code (BEC) เพื่อใช้เป็นข้อมูลในการออกแบบอุปกรณ์บังแดดภายนอกอาคาร โดยมีรายละเอียดดังต่อไปนี้

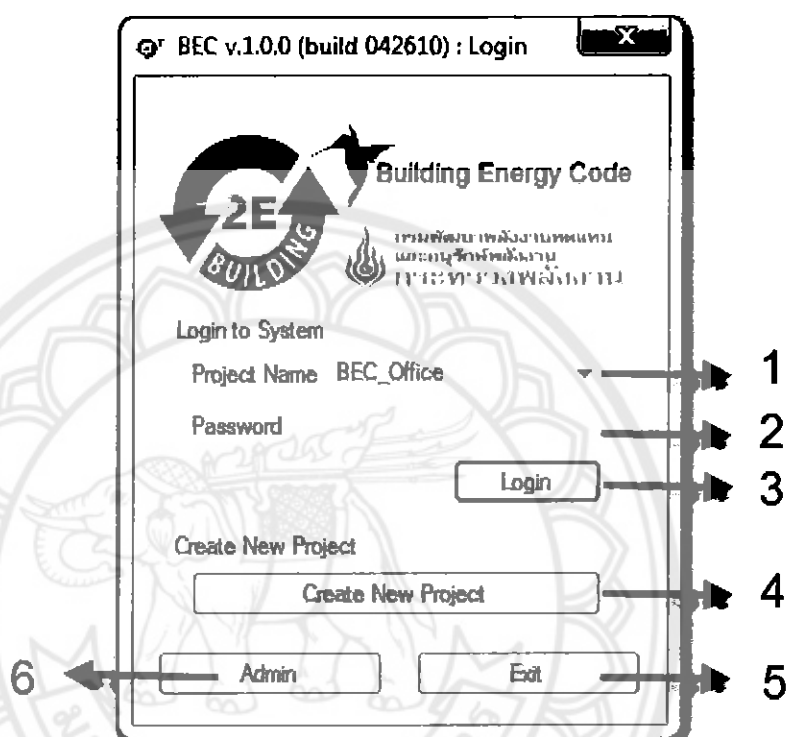
#### 3.1 โปรแกรม 2E-Building Energy Code (BEC)

โปรแกรม (BEC) หรือ Building Energy Code เป็นโปรแกรมที่พัฒนาขึ้นมาเพื่อให้ผู้ใช้มีเครื่องมือช่วยในการประเมินประสิทธิภาพพลังงานของอาคารตามมาตรฐาน หลักเกณฑ์ และวิธีคำนวณที่กฎหมายกำหนดได้โดยง่าย หรือเป็นการตรวจสอบความสอดคล้องของอาคารต่อเกณฑ์มาตรฐานการอนุรักษ์พลังงาน (ฉบับที่ 6) พ.ศ. 2550 ที่มีผลบังคับใช้จริงตั้งแต่วันที่ 20 มิถุนายน 2552 เป็นต้นไป ตามกฎกระทรวง

ความหมายของ 2E-Building หรือ Energy Efficient Building คือ อาคารที่มีการใช้พลังงานอย่างมีประสิทธิภาพ เป็นการผสมผสานอย่างลงตัวระหว่างศิลปะการออกแบบอาคารและศาสตร์ทางด้านการอนุรักษ์พลังงาน

## 3.2 การใช้งานโปรแกรม 2E-Building Energy Code (BEC)

### 3.2.1 การเข้าสู่ระบบ



รูปที่ 3.1 หน้าการเข้าสู่ระบบ

เมื่อผู้ใช้งานกรใช้งาน โปรแกรม จะปรากฏหน้าการเข้าสู่ระบบ (Login) ดังปรากฏในรูปที่ 3.1 เพื่อให้ผู้ใช้ทำการเข้าสู่ โปรแกรม โดยมีขั้นตอนดังต่อไปนี้

1. ผู้ใช้ทำการเลือกชื่ออาคาร/โครงการที่ต้องการ (Project Name)
2. ผู้ใช้ทำการใส่รหัสผ่าน (Password)
3. กดปุ่ม Login เพื่อทำการเข้าสู่โครงการที่ได้เลือกไว้แล้ว
4. กดปุ่ม Creat New Project หากผู้ใช้เริ่มใช้งาน โปรแกรมครั้งแรก ผู้ใช้จะต้องลงทะเบียนอาคาร/โครงการใหม่
5. กดปุ่ม Exit หากผู้ใช้ต้องการออกจากโปรแกรม

6. ปุ่ม Admin สำหรับผู้ดูแลระบบ เพื่อเข้าสู่หน้า Admin Page เพื่อแก้ไขข้อมูลสำคัญ

### 3.2.2 การลงทะเบียนอาคารใหม่

รูปที่ 3.2 หน้าการลงทะเบียนอาคารใหม่

เมื่อผู้ใช้คลิกปุ่ม Creat New Project แล้ว โปรแกรมจะเปลี่ยนมาที่หน้าการลงทะเบียนอาคาร/โครงการใหม่ ผู้ใช้สามารถลงทะเบียนอาคาร/โครงการใหม่ โดยป้อนข้อมูลดังนี้

1. ชื่ออาคาร/โครงการ (Project Name)
2. รหัสผ่าน (Password)
3. ระบุประเภทของอาคาร หรือ โครงการ (Type)
4. ระบุที่ตั้งของอาคาร หรือ โครงการ (Location)
5. เขียนคำอธิบายโครงการ (Description)

6. กดปุ่ม Submit เมื่อป้อนข้อมูลครบถ้วน เพื่อทำการลงทะเบียน ซึ่งข้อมูลของอาคาร หรือโครงการ จะไปปรากฏอยู่ในฐานข้อมูลของโปรแกรม

7. กดปุ่ม Return to Login เพื่อกลับไปหน้าการเข้าสู่ระบบ (Login)

\*หมายเหตุ: คอกอินสีแดง หมายถึง ผู้ใช้จำเป็นต้องกรอกข้อมูลลงในช่องว่าง

### 3.2.3 หน้าหลักของโปรแกรม



รูปที่ 3.3 หน้าหลักของ โปรแกรม

หลังจากที่ผู้ใช้เข้าสู่ระบบเรียบร้อยแล้ว ผู้ใช้จะเข้ามาสู่หน้าหลักของโปรแกรม ซึ่งสามารถแบ่งเป็นส่วนย่อยๆ 4 ส่วน ดังนี้

ส่วนที่ 1 สถานะ แสดงรายละเอียดของอาคาร/โครงการปัจจุบันที่กำลังดำเนินการอยู่ โดยมีรายละเอียดดังนี้

1. Current Project: แสดงรายละเอียดอาคาร หรือ โครงการปัจจุบัน ประกอบด้วย
  - 1.1 ชื่ออาคาร/โครงการ

- 1.2 ประเภทของอาคาร/โครงการ
- 1.3 สถานที่ตั้งของอาคาร/โครงการ
2. Logout: ใช้เมื่อต้องการออกจากระบบ(จะแสดงเมื่อหน้าจอมีขนาดมากกว่า 1024x768 Pixels)

## ส่วนที่ 2 เมนูหลัก

เมนูหลักแสดงหัวข้อต่างๆที่ใช้สำหรับป้อนข้อมูลอาคาร หรือโครงการ ดังนี้

1. Database- อธิบายการป้อนข้อมูลรายละเอียดของวัสดุและอุปกรณ์ต่างๆ
  - 1.1 Envelop- อธิบายการป้อนข้อมูลรายละเอียดวัสดุ และส่วนประกอบต่างๆของกรอบอาคารที่ประกอบกันเป็นเขตพื้นที่
    - 1.1.1 Material: รายละเอียดของวัสดุที่จะประกอบเป็นส่วนของผนัง
    - 1.1.2 Component of Section: รายละเอียดของส่วนประกอบผนังที่บและผนังโปร่งแสงที่ประกอบเป็นSection
    - 1.1.3 Section of Wall: รายละเอียดของ Section ที่ประกอบเป็นด้านของผนัง
    - 1.1.4 Wall: รายละเอียดของด้านผนัง
  - 1.2 Lighting System – อธิบายการป้อนข้อมูลรายละเอียดของชุด โคมไฟ
    - 1.2.1 Lighting Equipment: รายละเอียดของชุด โคมไฟ
  - 1.3 A/C System- อธิบายการป้อนข้อมูลรายละเอียดของชุดอุปกรณ์ปรับอากาศต่างๆ
    - 1.3.1 Split Type& Window Type: รายละเอียดของระบบปรับอากาศแบบเป็นชุดประเภท Split Type และ Window Type
    - 1.3.2 Package Air-Cooled Unit: รายละเอียดของระบบปรับอากาศแบบเป็นชุดประเภท Package Air-Cooled
    - 1.3.3 Package Water-Cooled Unit: รายละเอียดของระบบปรับอากาศแบบเป็นชุดประเภท Package Water-Cooled
    - 1.3.4 Central Air-Conditioning System: รายละเอียดของระบบปรับอากาศแบบรวมศูนย์
  - 1.4 PV System- อธิบายการป้อนข้อมูลรายละเอียดของระบบเซลล์แสงอาทิตย์

- 1.4.1 PV Equipment: รายละเอียดการใช้งานของระบบเซลล์แสงอาทิตย์
- 1.5 Hot Water System- อธิบายการป้อนข้อมูลรายละเอียดของระบบเครื่องทำน้ำร้อน
- 1.5.1 Hot Water Equipment: รายละเอียดการใช้งานของระบบเครื่องทำน้ำร้อน
- 1.6 Other- อธิบายการป้อนข้อมูลรายละเอียดของอุปกรณ์อื่นๆ
- 1.6.1 Other Equipment: รายละเอียดของอุปกรณ์อื่นๆ
2. Building Model- อธิบายรายละเอียดของเขตพื้นที่ภายใน การกำหนดส่วนประกอบของกรอบผนัง และการป้อนรายละเอียดของอุปกรณ์ที่อยู่ในแต่ละเขตพื้นที่
- 2.1 Building Zone: รายละเอียดพื้นที่ของเขตภายในอาคาร
3. Report- การแสดงการประเมินการใช้พลังงานของอาคาร โดยโปรแกรมสามารถแสดงผลการใช้พลังงานของแต่ละระบบ หรือแสดงผลค่าการถ่ายเทความร้อนรวมของผนังและหลังคาของอาคารแต่ละส่วน ในแต่ละเขตพื้นที่ หรือของทั้งอาคาร ตลอดจนแสดงผลประเมินการใช้พลังงานโดยรวมของอาคารเปรียบเทียบกับอาคารอ้างอิง
- 3.1 Envelop System: รายงานสมรรถนะด้านการถ่ายเทความร้อนรวมของผนัง และหลังคาโดยรวมของอาคาร และแบ่งตามด้านของผนัง รวมถึงผลการประเมินเปรียบเทียบกับเกณฑ์มาตรฐานของกรอบอาคาร (ค่า OTTV หรือ RTTV แบ่งตามด้านของผนังหรือหลังคา)
- 3.2 Lighting System: รายงานสมรรถนะด้านพลังงานและผลการประเมินเปรียบเทียบกับ เกณฑ์มาตรฐานของระบบไฟฟ้าแสงสว่าง
- 3.3 DX Air-Conditioning Unit: รายงานสมรรถนะด้านพลังงานและผลการประเมินเปรียบเทียบกับเกณฑ์มาตรฐานของระบบปรับอากาศแบบเป็นชุด
- 3.4 Central Air-Conditioning Unit: รายงานสมรรถนะด้านพลังงานและผลการประเมินเปรียบเทียบกับเกณฑ์มาตรฐานของระบบปรับอากาศแบบรวมศูนย์
- 3.5 PV System Report: รายงานสมรรถนะด้านพลังงานของระบบเซลล์แสงอาทิตย์



3.6 Hot Water System Report: รายงานสมรรถนะด้านพลังงานของระบบเครื่องทำน้ำร้อน

3.7 Whole Building Energy: รายงานสมรรถนะด้านพลังงานและผลการประเมินการใช้พลังงาน โดยรวมของทั้งอาคาร หรือโครงการ

### ส่วนที่ 3 เมนูบาร์

เมนูบาร์จะแสดงหัวข้อต่างๆ ซึ่งจะประกอบไปด้วย

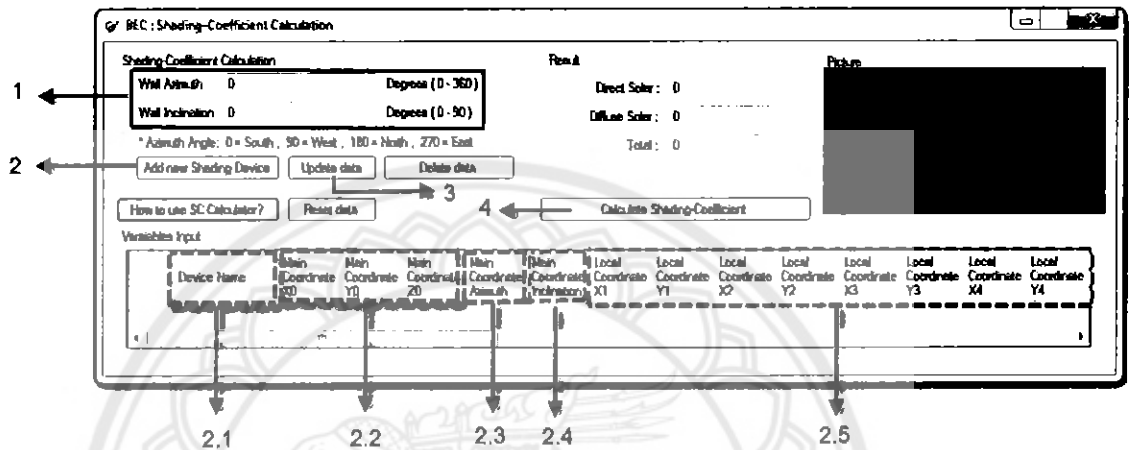
1. File- แสดงการจัดการ โปรแกรม
  - 1.1 Save Project- บันทึกการเปลี่ยนแปลงข้อมูล
  - 1.2 Save Project as- บันทึกการเปลี่ยนแปลงข้อมูล ไปยังอาคาร/โครงการใหม่  
 \*\*หมายเหตุ: เมื่อทำการ Save Project as แล้ว Password ของโครงการที่บันทึกใหม่จะเหมือนกับโครงการต้นฉบับ ผู้ใช้สามารถเปลี่ยนรหัสผ่านได้ภายในโปรแกรม
  - 1.3 Change Password- เปลี่ยนรหัสผ่าน
  - 1.4 Logout- ออกจากระบบ เพื่อเข้าสู่อาคาร หรือ โครงการใหม่
  - 1.5 Delete Project- ลบอาคาร หรือ โครงการ ที่ดำเนินการอยู่
  - 1.6 Print- ทำการพิมพ์ข้อมูลของอาคาร
  - 1.7 Exit Program- ออกจากโปรแกรม
2. View- แสดงตารางข้อมูลต่างๆที่เกี่ยวข้องภายในอาคาร ในหน้า View แต่ละหน้า ผู้ใช้สามารถทำการพิมพ์ข้อมูลและส่งออกข้อมูลไปยัง โปรแกรม Excel ได้
3. Tool- แสดงเครื่องมือช่วยเหลือต่างๆ
  - 3.1 Shading Coefficient Calculate: เครื่องมือช่วยเหลือสำหรับการประเมินการใช้พลังงานของอาคาร โดยช่วยในการหาคำนวณค่า Shading Coefficient (SC)
4. Help- แสดงข้อมูลอื่นๆเกี่ยวกับโปรแกรมและการทำงาน

### ส่วนที่ 4 แสดงผล

ส่วนนี้เป็นส่วนที่จะแสดงผล หลังจากที่มีการเลือกหัวข้อจากเมนูหลัก เพื่อเป็นการป้อนข้อมูล หรือการแสดงผลต่างๆ

ทั้งนี้กลุ่มของเราจะเลือกศึกษาเฉพาะหัวข้อที่ 3.1 เรื่อง Shading Coefficient Calculate เท่านั้น เนื่องจากว่าการคำนวณหาค่า Shading Coefficient เป็นการคำนวณที่ค่อนข้างยากและซับซ้อนถ้าเราจะทำการคำนวณด้วยมือ

### 3.2.4 เครื่องมือช่วยในการหาค่า Shading Coefficient



รูปที่ 3.4 หน้าต่างรายละเอียดของ Shading Coefficient Calculation

ในหน้า Shading Coefficient Calculation จะมีตารางการแสดงผลข้อมูลเกี่ยวกับการคำนวณหาค่า Shading Coefficient Calculation ซึ่งผู้ใช้สามารถคำนวณได้ดังนี้

1. ผู้ใช้ทำการกรอกมุม Wall Azimuth และ Wall Inclination มีหน่วยเป็น Degrees
2. กดปุ่ม Add new Shading Device เพื่อทำการเพิ่มส่วนประกอบ การกดปุ่มนี้ครั้งแรก จะเป็นการสร้างหน้าต่างหลักขึ้นมา และครั้งต่อไป จะเป็นการเพิ่มส่วนประกอบอื่นๆ ที่ใช้เป็น ส่วนกำกับแดด ซึ่งมีเขตข้อมูลต่างๆดังนี้

#### 2.1) Device Name

ระบุชื่อของส่วนประกอบต่างๆ

#### 2.2) Main Coordination

ระบุจุดเชื่อมต่อหลัก

#### 2.3) Main Coordination Azimuth

ระบุจุดเชื่อมต่อหลักมุม Azimuth มีหน่วยเป็น Degrees

15516286

2.4) Main coordination Inclination

น/ส.

ระบุจุดเชื่อมต่อหลักมุม Inclination มีหน่วยเป็น Degrees

23217

2.5) Local Coordination

2553

ระบุจุดเชื่อมต่อรองซึ่งมีจำนวนจุด X1,Y1 จนถึง X16,Y16 ซึ่งเลือกกรอกตามจุดที่ผู้ใช้

ต้องการ

3. กดปุ่ม Update Data ใช้เพื่อบันทึกข้อมูล

4. กดปุ่ม Calculate Shading Co-efficient เพื่อทำการคำนวณ ซึ่งผลการคำนวณจะแสดงตรงกรอบ Result ด้านบน ซึ่งค่าที่จะนำมาใช้กรอกข้อมูลได้ คือค่า Total

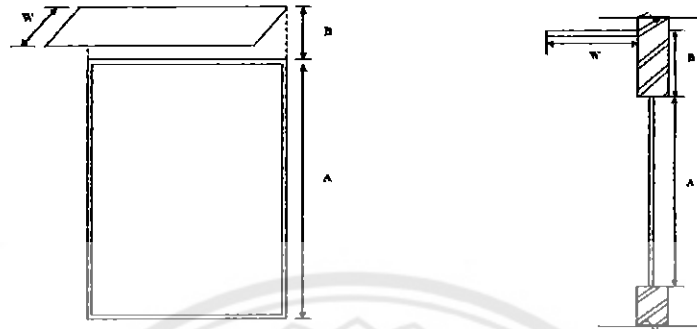
\*\* หมายเหตุ: เมื่อส่งค่า SC กลับมายังหน้า Wall แล้ว ให้กดปุ่ม Save Date ใน Wall Details อีกครั้ง เพื่อเป็นการอัปเดตข้อมูล SC

### 3.3 การคำนวณหาค่าสัมประสิทธิ์การบังแดด (sc) ของอุปกรณ์บังแดดภายนอกอาคาร

การคำนวณสัมประสิทธิ์การบังแดด (sc) ของอุปกรณ์บังแดดภายนอกอาคาร โดยกำหนดให้ขนาดของกระจกหน้าต่างมีความกว้าง 1 เมตร สูง 1 เมตรและความหนาของกระจกใสหนา 3 มิลลิเมตรเพื่อใช้สำหรับอ้างอิงในการคำนวณค่าสัมประสิทธิ์การบังแดด (sc) ของอุปกรณ์บังแดดภายนอกอาคารแบบต่างๆ ซึ่งอุปกรณ์บังแดดที่ใช้ในการศึกษาวิเคราะห์ค่าสัมประสิทธิ์การบังแดด มีรูปแบบทั้งหมด 4 รูปแบบ ได้แก่ อุปกรณ์บังแดดแบบแนวนอน (Overhang) อุปกรณ์บังแดดแบบแนวนอนผสมแบบหักมุมค้ำหน้าอุปกรณ์บังแดดแบบแนวตั้ง (Fin) อุปกรณ์บังแดดแบบผสม (Setback) โดยทำการศึกษาวิเคราะห์ค่าสัมประสิทธิ์การบังแดด (sc) เมื่อทำการเปลี่ยนแปลงระยะขึ้นและระยะห่างจากขอบหน้าต่างของอุปกรณ์ในทุกทิศที่ทำการศึกษาวิเคราะห์ค่าสัมประสิทธิ์การบังแดด (sc)

## รูปแบบของอุปกรณ์บังแดดภายนอกอาคาร

### 1. อุปกรณ์บังแดดแบบแนวนอน (Overhang)



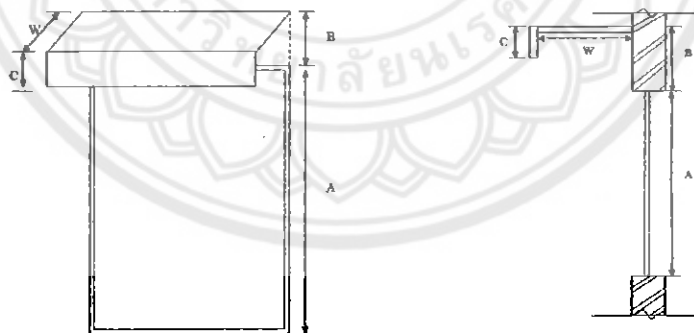
รูปที่ 3.5 แสดงรูปแบบการกำหนดตัวแปรของอุปกรณ์บังแดดแนวนอน

W คือ ระยะยื่นของอุปกรณ์บังแดด

B คือ ระยะห่างจากขอบหน้าต่าง

A คือ ความสูงของหน้าต่าง

### 2. อุปกรณ์บังแดดแบบแนวนอนผสมหักมุมด้านหน้า



รูปที่ 3.6 แสดงรูปแบบการกำหนดตัวแปรของอุปกรณ์บังแดดแบบแนวนอนผสมแบบหักมุมด้านหน้า

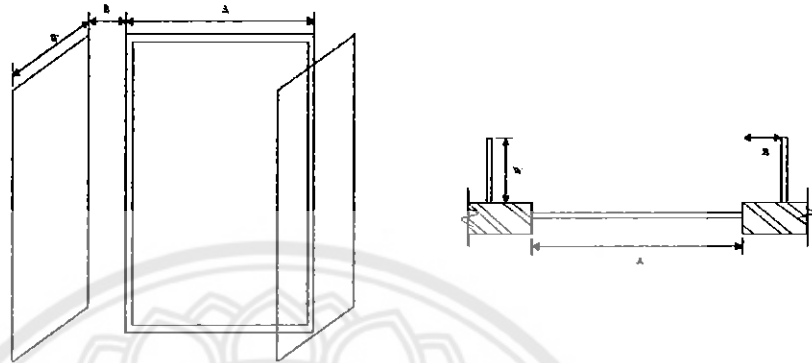
A คือ ความสูงของหน้าต่าง

B คือ ระยะห่างจากขอบหน้าต่าง

W คือ ระยะยื่นของอุปกรณ์บังแดด

C คือ ระยะหักมุมด้านหน้า

### 3. อุปกรณ์บังแดดแบบแนวตั้ง (Fin)



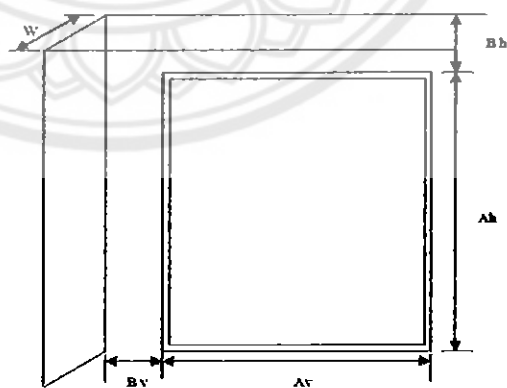
รูปที่ 3.7 แสดงรูปแบบการกำหนดตัวแปรของอุปกรณ์บังแดดแนวตั้ง

A คือ ความสูงของหน้าต่าง

B คือ ระยะห่างจากขอบหน้าต่าง

W คือ ระยะยื่นของอุปกรณ์บังแดด

### 4. อุปกรณ์บังแดดแบบผสม



รูปที่ 3.8 แสดงรูปแบบการกำหนดตัวแปรของอุปกรณ์บังแดดผสม

Ah คือ ความสูงของหน้าต่าง

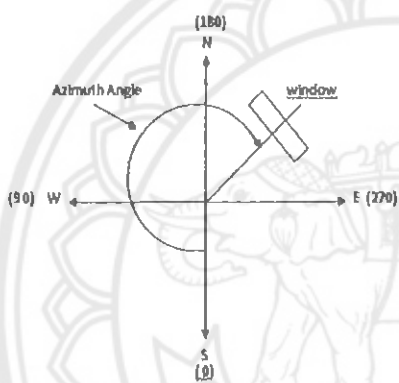
Bh คือ ระยะห่างจากขอบหน้าต่างด้านบน

Bv คือ ระยะห่างจากขอบหน้าต่างด้านข้าง

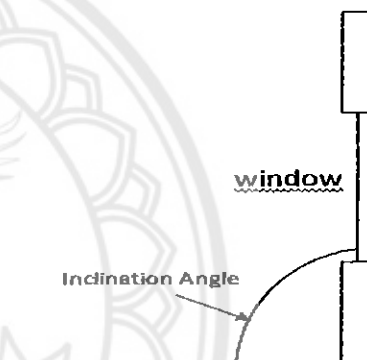
W คือ ระยะยื่นของอุปกรณ์บังแดด

วิธีการคำนวณค่าสัมประสิทธิ์การบังแดด (SC) โดยใช้โปรแกรม 2E-Building Energy Code

1. กำหนดมุมอะซิมุทและมุมเอียงของทุกหลักของหน้าต่าง ซึ่งมุมอะซิมุทของหน้าต่างเป็นมุมที่ตำแหน่งของหน้าต่างในแนวระนาบกระทำกับทิศใต้และมุมเอียงของหน้าต่างคือ มุมที่เป็นแนวเส้นตรงซึ่งลากจากจุดบนพื้นโลกเทียบกับหน้าต่างกระทำกับพื้นราบ



รูปที่ 3.9 แสดงมุมอะซิมุท (Azimuth Angle)



รูปที่ 3.10 แสดงมุมเอียงของระนาบ

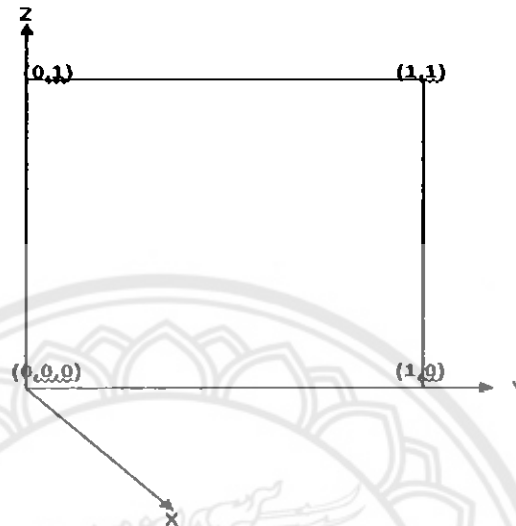
(Inclination Angle)

ขั้นตอนการคำนวณค่าสัมประสิทธิ์การบังแดด SC ของหน้าต่างและอุปกรณ์บังแดด

1. กำหนดตำแหน่ง ทิศทางของหน้าต่างที่พิจารณา ซึ่งจะทำให้ทราบค่ามุมอะซิมุทและมุมเอียง
2. กำหนดจุดกำเนิดของแกนหลักของหน้าต่างที่อยู่มุมซ้ายล่างของหน้าต่าง
3. แกน X ของแกนหลักชี้ตามมุมอะซิมุทของหน้าต่าง
4. กำหนดแกนรองของอุปกรณ์บังแดดแต่ละชั้นและกำหนดมุมของแผงบังแดดในทิศของแกนรองให้ครบ
5. ป้อนข้อมูลของอุปกรณ์บังแดดแต่ละชั้นให้ครบ

### 3.3.1 ตัวอย่างการคำนวณค่าสัมประสิทธิ์การบังแดด (SC) ของหน้าต่างโดยใช้โปรแกรม

#### 2E-Building Energy Code



รูปที่ 3.11 แสดงหน้าต่างกว้าง 1 m. สูง 1 m. และหน้าต่างหันหน้าไปทางทิศเหนือ

จากรูป 3.11 หน้าต่างอยู่บนระนาบแกน Y และแกน Z พิกัดแรกของหน้าต่างคือพิกัดที่อยู่ตรงจุด origin ของแกนหลัก  $(0,0,0)$  พิกัดที่สองของหน้าต่างคือ  $(1,0)$  บนระนาบแกน Y และ Z มุมที่สามและสี่ของหน้าต่างอยู่ที่ตำแหน่ง  $(1,1)$  และ  $(0,1)$  ตามลำดับ เมื่อทราบพิกัดจุดต่างๆของหน้าต่างแล้วจึงทำการเข้าสู่โปรแกรม BEC เลือกในส่วนของการ Shading Calculation และทำการป้อนข้อมูลของ และในเมื่อกำหนดให้หน้าต่างหันไปทางด้านทิศเหนือ ดังนั้นมุมอะซิมุทของหน้าต่างจะเท่ากับ 180 องศาและมุมเอียงจะเท่ากับ 90 องศา โดยมุมแรกของหน้าต่างอยู่ที่  $(X_1, Y_1) = (0,0)$  มุมถัดไปจะเรียงทวนเข็มนาฬิกาจะได้  $(X_2, Y_2) = (1,0)$   $(X_3, Y_3) = (1,1)$  และ  $(X_4, Y_4) = (0,1)$  ดังแสดงในรูปที่ 3.12 ดังนี้

BEC : Shading-Coefficient Calculation

Shading-Coefficient Calculation

Wall Azimuth 180 Degree (0 - 360)

Wall Inclination 90 Degree (0 - 90)

\* Azimuth Angle: 0 = South, 90 = West, 180 = North, 270 = East

Result

Direct Solar : 0.0824521

Diffuse Solar : 0.908381

Total : 1.00083

Picture

Add new Shading Device Update data Delete data

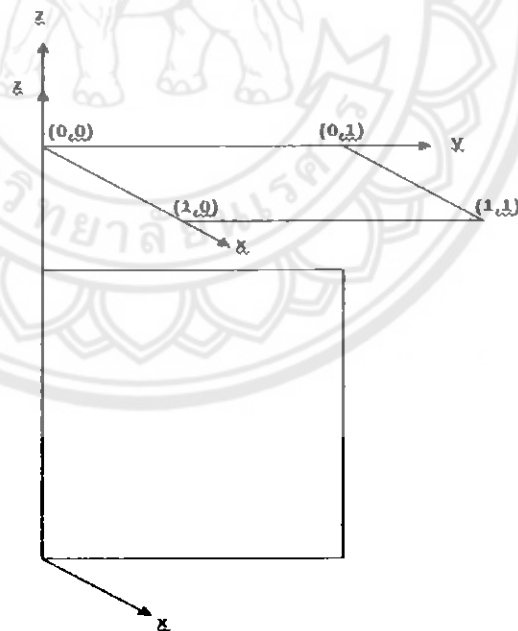
How to use SC Calculator? Reset data Calculate Shading-Coefficient

Variables Input

Device Name	Main Coordinate X0	Main Coordinate Y0	Main Coordinate Z0	Main Coordinate Azimuth	Main Coordinate Inclination	Local Coordinate X1	Local Coordinate Y1	Local Coordinate X2	Local Coordinate Y2	Local Coordinate X3	Local Coordinate Y3	Local Coordinate X4	Local Coordinate Y4
Window	0	0	0	180	90	0	0	1	0	1	1	0	1

รูปที่ 3.12 แสดงการคำนวณค่าสัมประสิทธิ์การบังแดด (sc) ของหน้าต่างทางด้านทิศเหนือ

### 3.3.2 ตัวอย่างการคำนวณค่าสัมประสิทธิ์การบังแดด (sc) ของอุปกรณ์บังแดดแบบแนวนอน (Overhang)



รูปที่ 3.13 แสดงพิกัดของอุปกรณ์บังแดดแบบแนวนอน (Overhang)



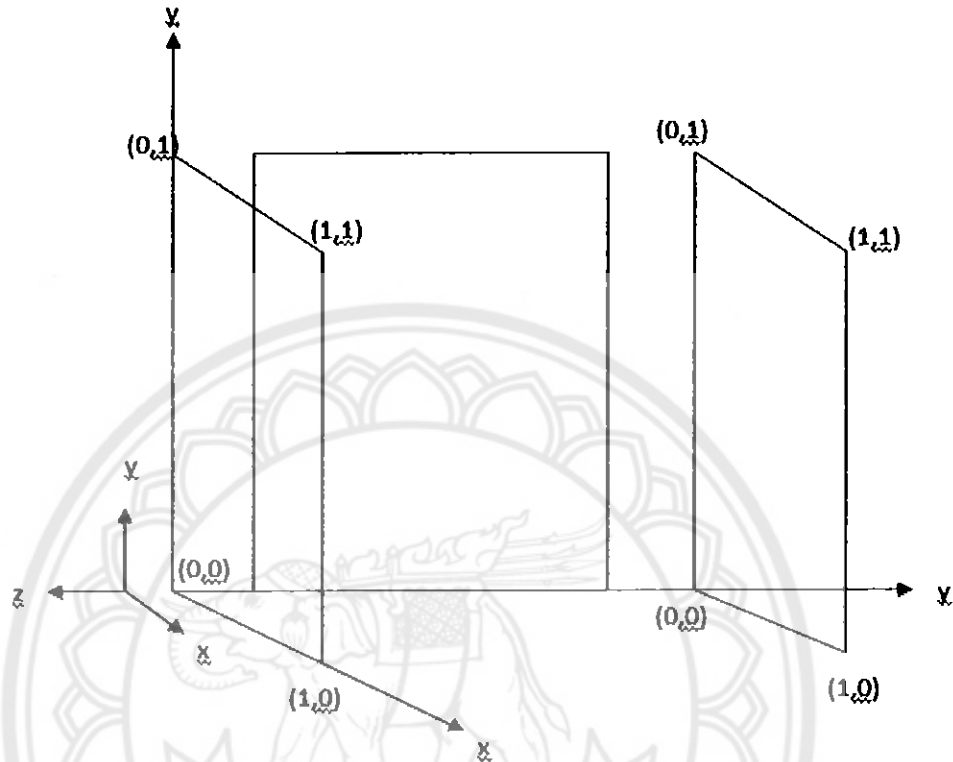
กำหนดให้อุปกรณ์บังแดดแบบแนวนอนมีระยะยื่น 1 เมตร และระยะห่างจากขอบ 0.5 เมตร เมื่อน้ำต่างด้านทิศใต้ มุมอะซิมุทเท่ากับ 0 องศา และมุมเอียง เท่ากับ 0 องศา

จากรูปที่ 3.13 พิกัดของแกนรองของอุปกรณ์บังแดด # 1 บนแกนหลัก คือ (0, 0, 1.5) มุมอะซิมุทของอุปกรณ์บังแดด # 1 รอบแกน X ทิศที่แกน Z ซึ่งคือทิศของมุมอะซิมุทของอุปกรณ์บังแดด # 1 เท่ากับ 0 องศา มุมที่ 1 ของแผงบังแดดบนแกนรอง คือ (0, 0) และมุมต่อๆ ไปอยู่ที่ (1, 0) ; (1, 1) ; (0, 1) 9 ตามลำดับ เมื่อบันทึกพิกัดของน้ำต่างและอุปกรณ์บังแดดแล้วก็สามารถคำนวณค่าสัมประสิทธิ์การบังแดดของอุปกรณ์บังแดด # 1 ได้ ดังรูปที่ 3.14

Device Name	Main Coordinate XD	Main Coordinate YD	Main Coordinate ZD	Main Coordinate Azimuth	Main Coordinate Inclination	Local Coordinate X1	Local Coordinate Y1	Local Coordinate X2	Local Coordinate Y2	Local Coordinate X3	Local Coordinate Y3	Local Coordinate X4	Local Coordinate Y4
Window	0	0	0	0	90	0	0	1	0	1	1	0	1
Device 1	0	0	1.5	90	0	0	0	1	0	1	1	0	1

รูปที่ 3.14 แสดงการคำนวณค่าสัมประสิทธิ์การบังแดด (sc) ของอุปกรณ์บังแดดทางด้านทิศใต้

### 3.3.3 ตัวอย่างการคำนวณค่าสัมประสิทธิ์การบังแดด (sc) ของอุปกรณ์บังแดดแบบแนวตั้ง (Fin)



รูปที่ 3.15 แสดงพิกัดของอุปกรณ์บังแดดแบบแนวตั้ง (Fin)

กำหนดให้อุปกรณ์บังแดดแบบแนวตั้ง มีระยะยื่น 1 เมตร และระยะห่างจากขอบ 0.5 เมตร เมื่อหน้าต่างหันทางด้านทิศตะวันออก มุมอะซิมูท เท่ากับ 270 องศา และมุมเอียง เท่ากับ 90 องศา

จากรูปที่ 3.15 พิกัดของแกนรองของอุปกรณ์บังแดด # 2 บนแกนหลัก คือ  $(0, 0, 0.5)$  มุมอะซิมูทของอุปกรณ์บังแดด #2 หาได้จากทิศที่แกน Z ซึ่งก็คือมุม 270 มุมที่ 1 ของอุปกรณ์บังแดดบนแกนรอง คือ  $(0, 0)$  และมุมถัดๆ ไป คือ  $(1, 0)$  ;  $(1, 1)$  ;  $(0, 1)$  ตามลำดับ และพิกัดของแกนรองของอุปกรณ์บังแดด #3 คือ  $(0, 1.5, 0)$  พิกัดมุมของอุปกรณ์บังแดดบนแกนรองเท่ากับพิกัดของแกนรองของอุปกรณ์บังแดด #2 เมื่อเติมค่าพิกัดของหน้าต่างของอุปกรณ์บังแดด #2 และ #3 ก็จะสามารถคำนวณสัมประสิทธิ์การบังแดดจากทั้งสองแผงได้ ดังรูปที่ 3.16

BEC : Shading-Coefficient Calculation

**Shading-Coefficient Calculation**

Wall Azimuth: 270 Degrees (0-360)

Wall Inclination: 90 Degrees (0-90)

\* Azimuth Angle: 0=South, 90=West, 180=North, 270=East

**Result**

Direct Solar: 0.278844

Diffuse Solar: 0.442705

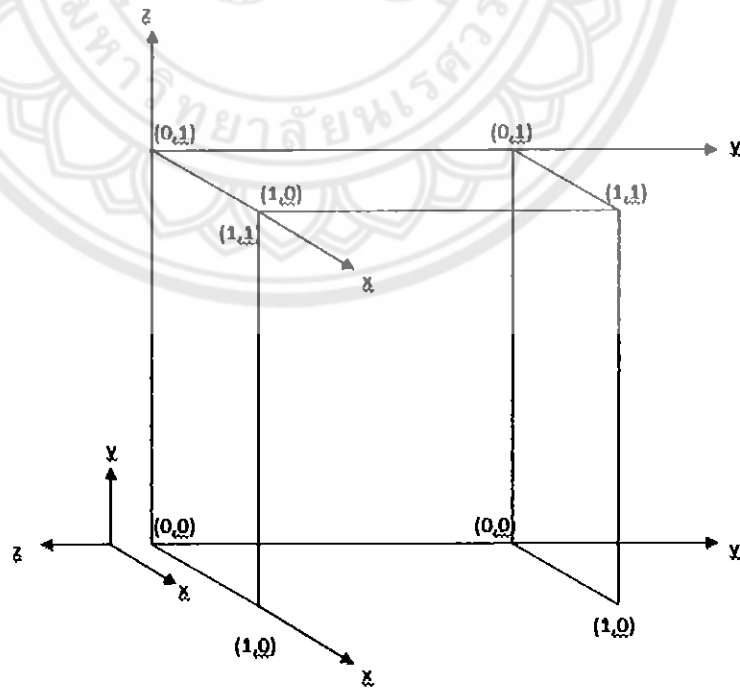
Total: 0.721549

**Variables Input**

Device Name	Main Coordinate X0	Main Coordinate Y0	Main Coordinate Z0	Main Coordinate Azimuth	Main Coordinate Inclination	Local Coordinate X1	Local Coordinate Y1	Local Coordinate X2	Local Coordinate Y2	Local Coordinate X3	Local Coordinate Y3	Local Coordinate X4	Local Coordinate Y4
Window	0	0	0	270	90	0	0	1	0	1	1	0	1
Device 1	0	0	0.5	360	90	0	0	1	0	1	1	0	1
Device 2	0	1.5	0	360	90	0	0	1	0	1	1	0	1

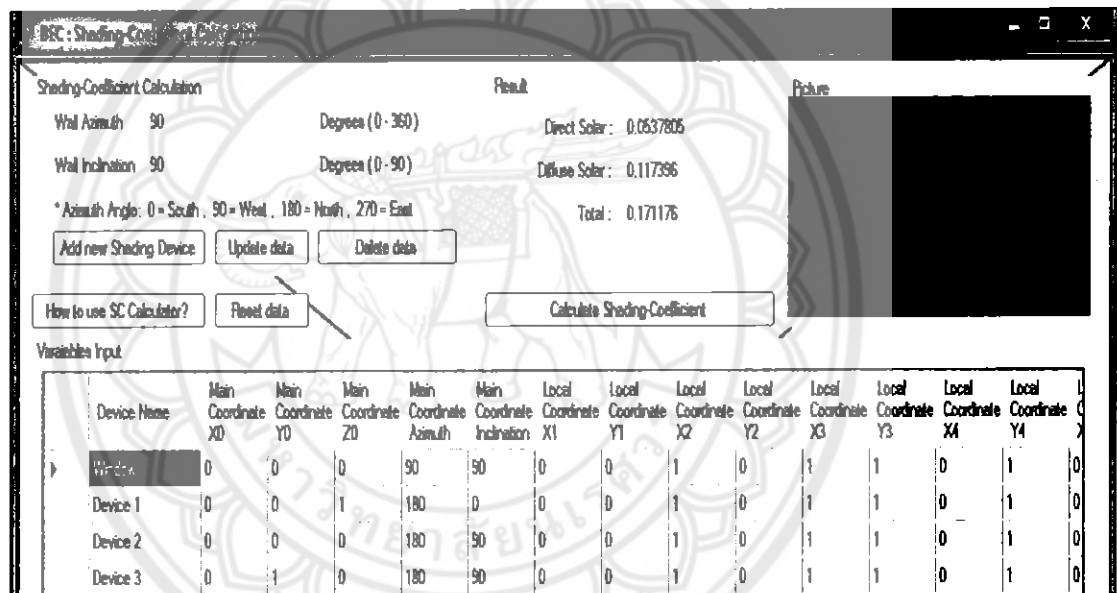
รูปที่ 3.16 แสดงการคำนวณค่าสัมประสิทธิ์การบังแดด (sc) ของอุปกรณ์บังแดดทางด้านทิศตะวันออก

3.3.4 ตัวอย่างการคำนวณค่าสัมประสิทธิ์การบังแดด (sc) ของอุปกรณ์บังแดดแบบผสม (Setback)



รูปที่ 3.17 แสดงฟังก์ชันของอุปกรณ์บังแดดแบบผสม (Setback)

กำหนดให้อุปกรณ์บังแดดแบบแนวตั้ง มีระยะขึ้น 1 เมตร และระยะห่างจากขอบ 0 เมตร เมื่อนำค่าต่างทางด้านทิศตะวันตก มุมอะซิมุท เท่ากับ 90 องศา และมุมเอียง เท่ากับ 0 องศา ในอุปกรณ์บังแดดแนวราบ และ 90 องศา ในอุปกรณ์บังแดดแนวตั้ง จากรูปที่ 3.17 พิกัดของแกนรองของอุปกรณ์บังแดด #1 บนแกนหลัก คือ (0, 0, 1) และพิกัดของแกนรองของอุปกรณ์บังแดด #2 และ #3 คือ (0, 0, 0) ; (0, 1, 0) ตามลำดับ และมุมที่ 1 ของอุปกรณ์บังแดดบนแกนรอง คือ (0, 0) มุมถัดๆ ไป คือ (1, 0) ; (1, 1) ; (0, 1) เมื่อเติมค่าพิกัดของหน้าต่างและของอุปกรณ์บังแดด #1 , #2 และ #3 ก็สามารถคำนวณสัมประสิทธิ์การบังแดดจากทั้งสามอุปกรณ์บังแดดได้ ดังรูป 3.18



รูปที่ 3.18 แสดงการคำนวณค่าสัมประสิทธิ์การบังแดด (sc) ของอุปกรณ์บังแดดทางด้านทิศตะวันตก

### 3.4 การคำนวณหาความร้อนจากดวงอาทิตย์ Cooling Load (Q)

ซึ่งการคำนวณหาความร้อนจากดวงอาทิตย์นี้จะขอพิจารณาเฉพาะในส่วนของค่าที่ได้จากการแผ่รังสีของดวงอาทิตย์ (Radiation) เท่านั้น เนื่องจากว่าปริมาณความร้อนที่เข้ามาสู่อาคารส่วนมากจะมีผลมาจากค่าแผ่รังสีของดวงอาทิตย์เป็นส่วนใหญ่ ซึ่งกล่าวมาแล้วในบทที่ผ่านมา

จากการที่ได้ค่าสัมประสิทธิ์การบังแดด(SC) มาแล้วนั้น ต่อไปก็จะนำค่าSCนี้ไปคำนวณหาความร้อนที่เข้าสู่อาคาร โดยจะคำนวณจากสมการที่ 1.4 (บทที่ 2) ดังนี้

$$Q = SC \times A \times SHGF \times CLF$$

ซึ่งจะยกตัวอย่างการคำนวณค่าความร้อนจากอาคารที่ตั้งอยู่ในจังหวัดพิษณุโลก ที่มีขนาด 5m.× 4m.× 3m. และมีทางผนังของอาคารด้านหนึ่งติดกระจกขนาด 4m.× 2m. ซึ่งเป็นกระจกใสหนา 3mm.และไม่มีม่านบังค้ำนในอาคาร ซึ่งผลการคำนวณจะแสดงดังกราฟในบทที่4



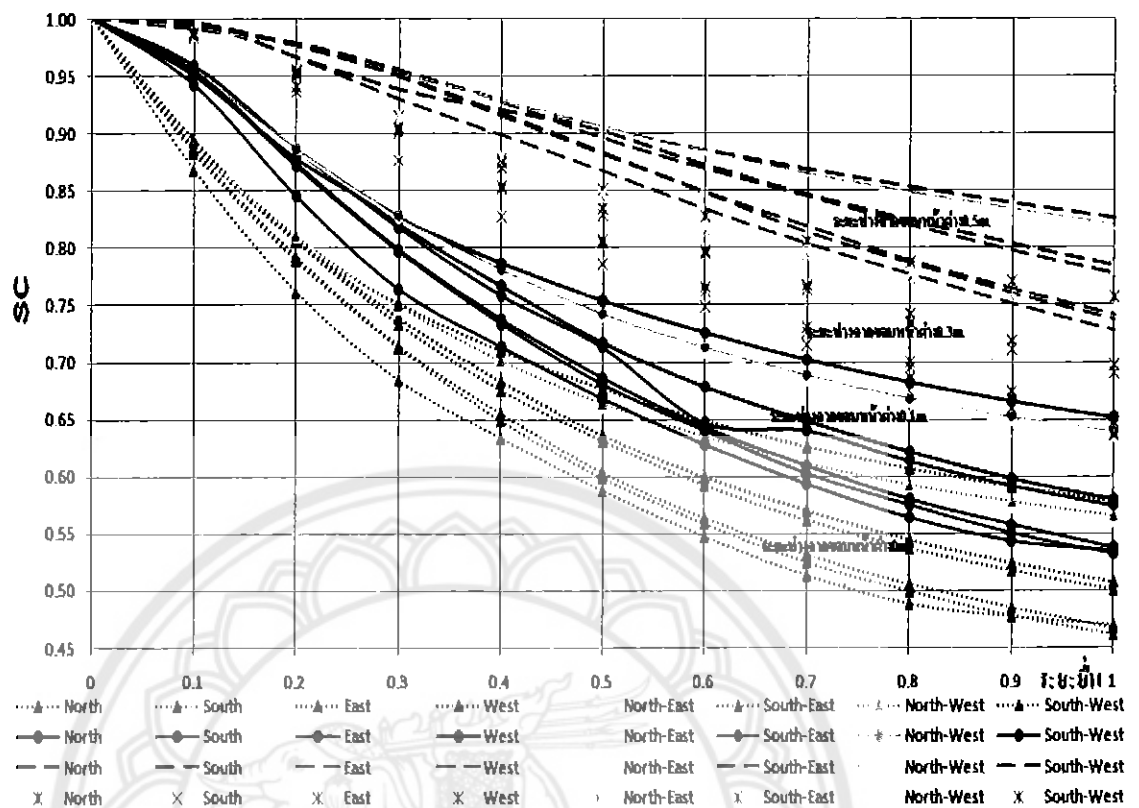
รูปที่ 3.19 แสดงตัวอย่างอาคารที่นำมาคำนวณหาค่าความร้อน (Cooling Load; Q)

## บทที่ 4

### ผลการดำเนินงานและวิเคราะห์ผล

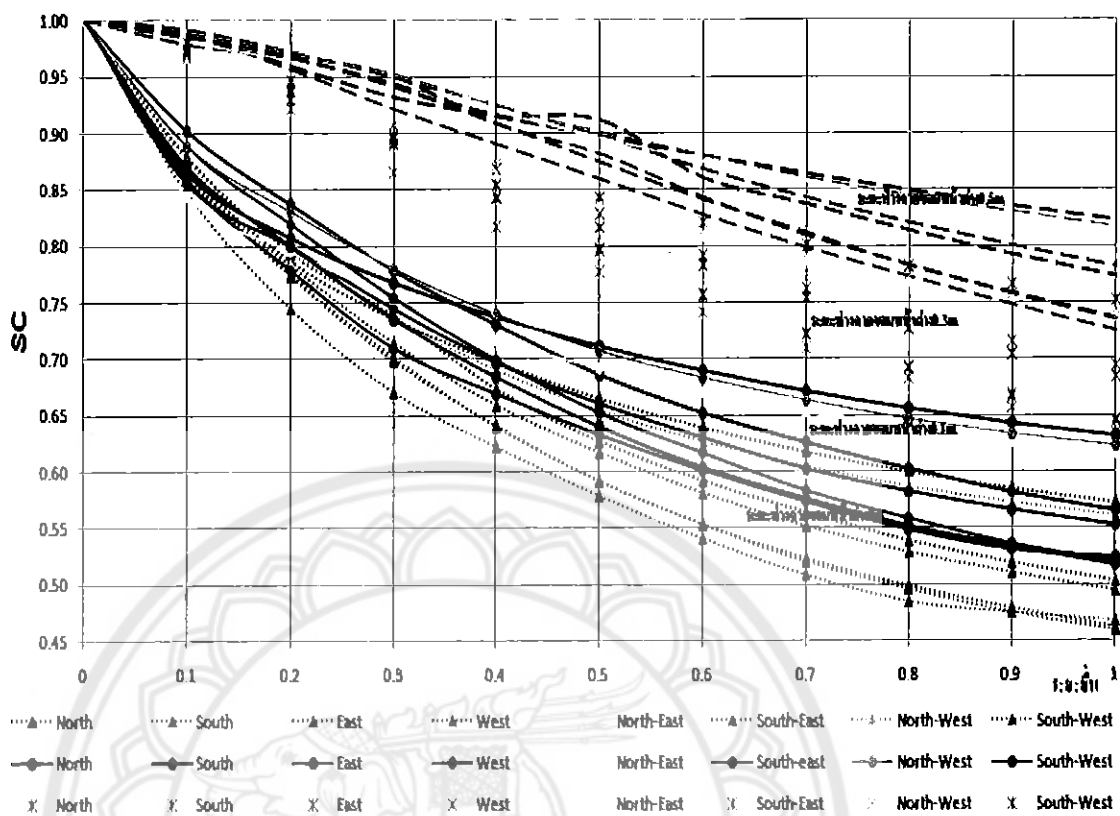
#### 4.1 การวิเคราะห์ค่าสัมประสิทธิ์การบังแดด (sc) ที่ระยะยื่นต่างๆ ของอุปกรณ์บังแดด ภายนอกอาคาร

การวิเคราะห์ค่าสัมประสิทธิ์การบังแดด (sc) ที่ระยะยื่นต่างๆ ของอุปกรณ์บังแดดภายนอกอาคาร เพื่อทำการศึกษา วิเคราะห์ค่าสัมประสิทธิ์การบังแดด เมื่อมีการเปลี่ยนแปลงระยะยื่นของอุปกรณ์บังแดด และระยะห่างจากขอบหน้าต่าง โดยทำการคำนวณหาค่าสัมประสิทธิ์การบังแดด (sc) ของอุปกรณ์บังแดดภายนอกอาคารแบบต่างๆ ซึ่ง ได้แก่ อุปกรณ์บังแดดแบบแนวนอน (Overhang) อุปกรณ์บังแดดแบบแนวตั้ง (Fin) อุปกรณ์บังแดดแบบผสม (Setback) และอุปกรณ์บังแดดแนวนอนผสมแบบหักมุมด้านหน้า ซึ่งการวิเคราะห์ค่าสัมประสิทธิ์การบังแดด (sc) โดยเริ่มคำนวณค่าสัมประสิทธิ์การบังแดดตั้งแต่ระยะยื่นเริ่มต้นเท่ากับ 0-1 เมตรและที่ระยะห่างจากขอบหน้าต่างตั้งแต่ 0-0.5 เมตร ในกรณีที่ทำการวิเคราะห์ค่าสัมประสิทธิ์การบังแดด ซึ่งจะแสดงดังกราฟต่อไปนี้



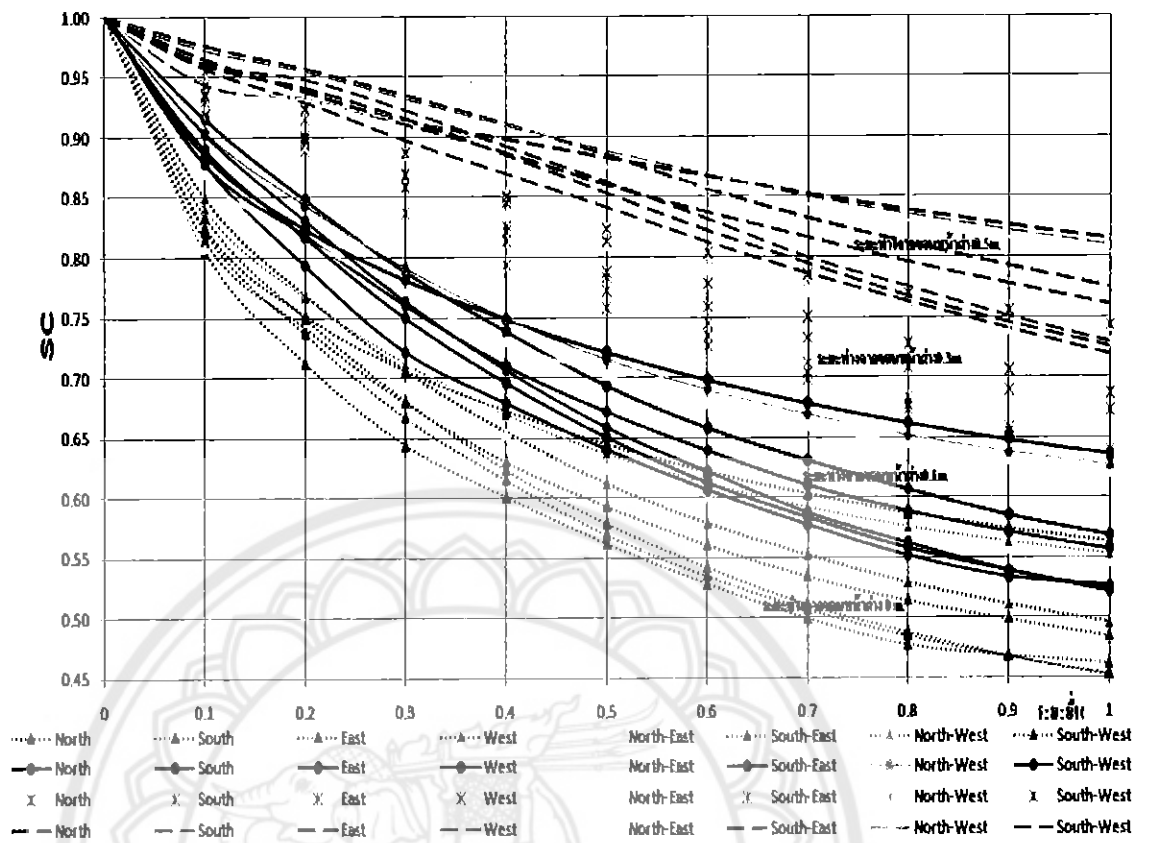
แผนภาพที่ 4.1 กราฟแสดงค่าสัมประสิทธิ์การบังแดด (sc) ของอุปกรณ์บังแดดแบบแนวนอน (Overhang) ที่ระยะห่างจากขอบหน้าต่างต่าง 0 m. ,1m. , 3m. และ 5m. ของระยะยื่น 0-1m.

จากแผนภาพที่ 4.1 แนวโน้มของค่าสัมประสิทธิ์การบังแดดจะลดลงเมื่อระยะยื่นของอุปกรณ์บังแดดเพิ่มขึ้น โดยที่ค่าสัมประสิทธิ์การบังแดด (sc) ต่ำสุดทางด้านทิศใต้ และค่าสัมประสิทธิ์การบังแดด (sc) สูงสุดทางด้านทิศเหนือ กล่าวคือ อุปกรณ์บังแดดแบบแนวนอน (Overhang) มีความเหมาะสมสำหรับหน้าต่างทางด้านทิศใต้มากที่สุด เนื่องจากว่าทิศใต้เป็นทิศที่ได้รับผลกระทบจากรังสีความร้อนของดวงอาทิตย์มากที่สุด เหตุผลคือดวงอาทิตย์จะขึ้นทางด้านทิศตะวันออกแล้ว โคจรอ้อมทางด้านทิศใต้แล้วตกทางด้านทิศตะวันตก ส่งผลทำให้เมื่อมีการใส่อุปกรณ์บังแดดภายนอกอาคารทางด้านทิศใต้จะทำให้สามารถบังรังสีจากดวงอาทิตย์หรือลดค่าสัมประสิทธิ์การบังแดด (sc) ได้มากกว่าทิศอื่นๆ เมื่อเทียบกับทิศเหนือที่ได้รับผลกระทบจากรังสีความร้อนของดวงอาทิตย์น้อยที่สุด ซึ่งเมื่อทำการใส่อุปกรณ์บังแดดทางด้านทิศเหนือจึงบังรังสีจากดวงอาทิตย์ได้น้อยหรือลดค่าสัมประสิทธิ์การบังแดด (sc) ได้น้อย โดยอุปกรณ์บังแดดแบบดังกล่าวนี้เหมาะสำหรับบังรังสีอาทิตย์ในช่วงสายจนถึงช่วงบ่าย

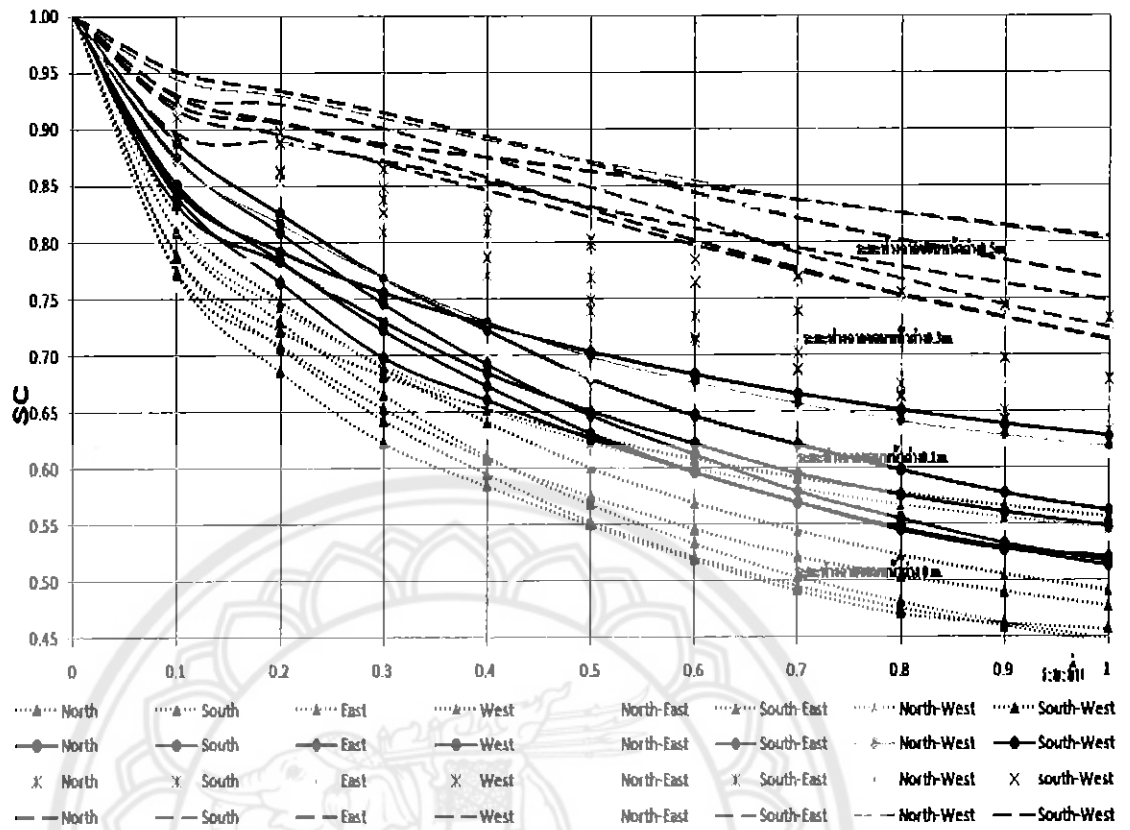


แผนภาพที่ 4.2 กราฟแสดงค่าสัมประสิทธิ์การบังแคด (sc) ของอุปกรณบังแคดแบบแนวนอนผสม กับแบบหักมุมด้านหน้า 0.1m. ที่ระยะห่างจากขอบหน้าต่าง 0m, 0.1m. ,0.3m. และ0.5m. ของระยะ ขึ้น 0-1m.



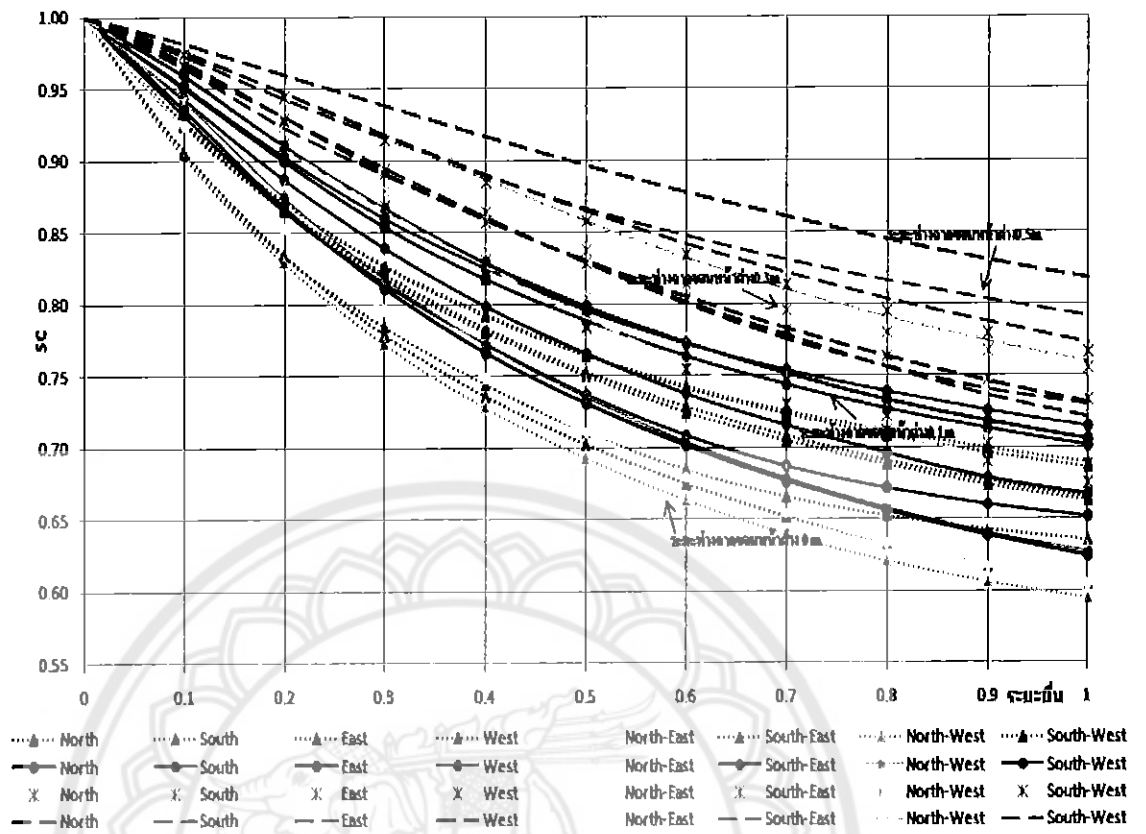


แผนภาพที่ 4.3 กราฟแสดงค่าสัมประสิทธิ์การบังแดด (sc) ของอุปกรณ์บังแดดแบบแนวอนคสม กับแบบหักมุมด้านหน้า 0.3m. ที่ระยะห่างจากขอบหน้าต่าง 0m, 0.1m, 0.3m. และ 0.5m. ของระยะ ยื่น 0-1m.



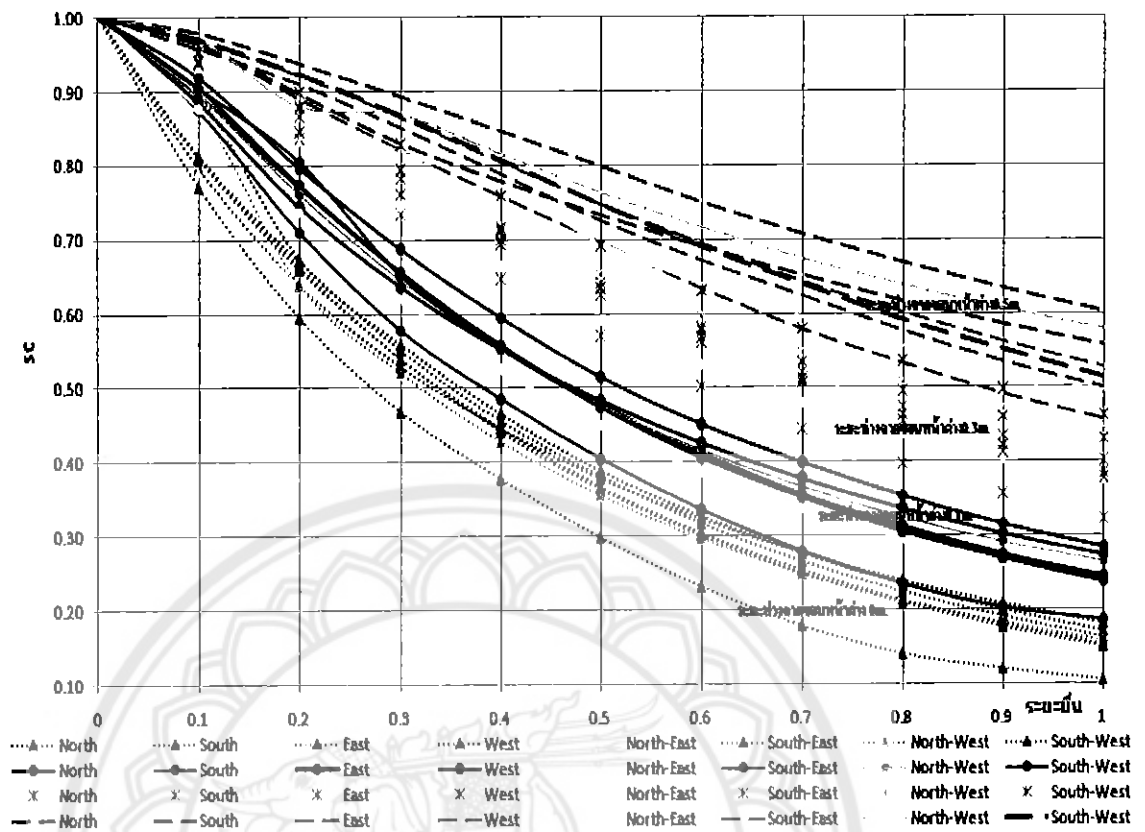
แผนภาพที่ 4.4 กราฟแสดงค่าสัมประสิทธิ์การบังแดด (sc) ของอุปกรณ์บังแดดแบบแนวนอนผสมกับแบบหักมุมด้านหน้า 0.5m. ที่ระยะห่างจากขอบหน้าต่าง 0m, 0.1m, 0.3m. และ 0.5m ของระยะยื่น 0-1m.

อุปกรณ์บังแดดแบบแนวนอนผสมแบบหักมุมด้านหน้า จากแผนภาพที่ 4.2 ถึง 4.4 ค่าสัมประสิทธิ์การบังแดดแบบหักมุมจะมีแนวโน้มลดลงคล้ายกับอุปกรณ์บังแดดแบบแนวนอน (Overhang) และยังมีค่าสัมประสิทธิ์การบังแดด (sc) อยู่ในช่วงใกล้เคียงกันในแต่ละทิศ เพียงแต่ค่าสัมประสิทธิ์การบังแดด (sc) ของอุปกรณ์บังแดดแบบหักมุมจะมีค่าที่ต่ำกว่าอุปกรณ์บังแดดแบบแนวนอน (Overhang) แต่ความสามารถในการบังแดดในแต่ละทิศจะเหมือนกับอุปกรณ์บังแดดแบบแนวนอน (Overhang)



แผนภาพที่ 4.5 กราฟแสดงค่าสัมประสิทธิ์การบั้งแคด (sc) ของอุปกรณ์บั้งแคดแบบแนวตั้ง (Fin) ที่ระยะห่างจากขอบหน้าต่าง 0 m, 1m, 3m. และ 5m. ของระยะชั้น 0-1m.

อุปกรณ์บั้งแคดแบบแนวตั้ง (Fin) จากแผนภาพที่ 4.5 ค่าสัมประสิทธิ์การบั้งแคดมีค่าลดลงต่ำที่สุดทางด้านทิศตะวันตกเฉียงเหนือ ทิศตะวันออกเฉียงเหนือและทิศเหนือตามลำดับ กล่าวคืออุปกรณ์บั้งแคดแบบแนวตั้งมีความสามารถในการบั้งรังสีความร้อนจากดวงอาทิตย์ได้ดีในทิศดังกล่าวและมีค่า sc มากที่สุดที่สูงสุดทางด้านทิศตะวันออกเฉียงใต้และทิศตะวันตกเฉียงใต้ นั่นคือการเพิ่มระยะชั้นของอุปกรณ์บั้งแคดในทิศนี้มากๆ จึงมีผลต่อการลดค่าสัมประสิทธิ์การบั้งแคด (sc) ได้น้อยเมื่อเทียบกับทิศอื่นๆ



แผนภาพที่ 4.6 กราฟแสดงค่าสัมประสิทธิ์การบังแดด (sc) ของอุปกรณ์บังแดดแบบผสม (Setback) ที่ระยะห่างจากขอบหน้าต่างต่าง 0 m. ,1m. , 3m. และ 5m. ของระยะยื่น 0-1m.

อุปกรณ์บังแดดแบบผสม (Setback) จากแผนภาพที่ 4.6 ค่าสัมประสิทธิ์การบังแดดของอุปกรณ์บังแดดผสมจะมีค่าลดลงมาก เมื่อเปรียบเทียบกับอุปกรณ์บังแดดแบบอื่นๆที่ระยะยื่นเท่ากัน สังเกตได้จากค่าความชันของกราฟที่ลดลงจะมีค่ามากและมีค่าสัมประสิทธิ์การบังแดด (sc) ลดลงต่ำที่สุดทางด้านทิศใต้ ซึ่งโดยภาพรวมแล้ว ค่าสัมประสิทธิ์การบังแดด (sc) จะมีค่าต่ำในทุกทิศเมื่อเทียบกับอุปกรณ์บังแดดแบบอื่นๆ จึงมีความเหมาะสมกับหน้าต่างในทุกทิศ แต่เมื่อทำการเพิ่มระยะยื่นของอุปกรณ์บังแดดมากขึ้นจนถึงระยะยื่นที่ความยาวจุดหนึ่ง การลดลงของค่าสัมประสิทธิ์การบังแดดจะมีการเปลี่ยนแปลงน้อยลง สังเกตได้จากค่าความชันของกราฟที่ลดลง แสดงว่าถ้าเพิ่มความยาวของระยะยื่นเกินจากจุดดังกล่าว มีผลต่อการเปลี่ยนแปลงค่าประสิทธิ์การบังแดดน้อยมากๆ ทั้งนี้อัตราการเปลี่ยนแปลงของค่าสัมประสิทธิ์การบังแดดจะมีความแตกต่างกันมากหรือน้อยขึ้นอยู่กับทิศต่างๆที่ทำการวิเคราะห์หาค่าสัมประสิทธิ์การบังแดด

ผลจากการวิเคราะห์ค่าสัมประสิทธิ์การบังแดด (sc) ที่ระยะชั้นต่างๆ ของอุปกรณ์บังแดดภายนอกอาคารแบบต่างๆ เมื่อทำการเปรียบเทียบผลการเปลี่ยนแปลงค่าสัมประสิทธิ์การบังแดด ดังแผนภาพที่ 4.1 ถึง 4.6

พบว่าเมื่อเพิ่มระยะชั้นของอุปกรณ์บังแดดภายนอกอาคารแบบต่างๆ จะส่งผลทำให้ค่าสัมประสิทธิ์การบังแดดมีค่าลดลง และเมื่อทำการเพิ่มระยะชั้นของอุปกรณ์บังแดดมากขึ้นเรื่อยๆ จนถึงระยะชั้นที่ความยาวจุดหนึ่ง การลดลงของค่าสัมประสิทธิ์การบังแดดจะมีการเปลี่ยนแปลงน้อยลงมากหรือลดค่าสัมประสิทธิ์การบังแดด (sc) ได้น้อยมาก

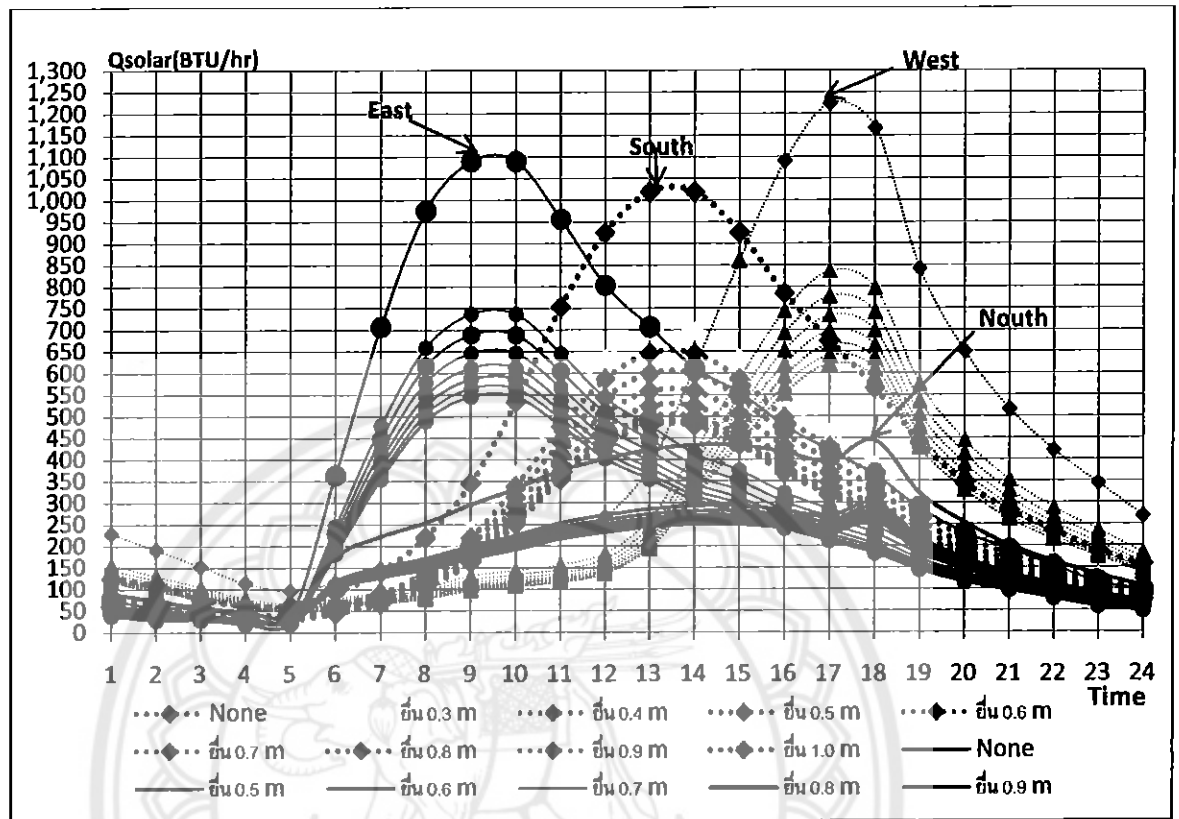
เนื่องจากการเพิ่มระยะชั้นของอุปกรณ์บังแดดภายนอกอาคาร เป็นการช่วยเพิ่มพื้นที่ในการบังรังสีความร้อนจากดวงอาทิตย์ให้กับหน้าต่างได้มากยิ่งขึ้น อีกทั้งยังสังเกตได้ว่ากรณีที่มีอุปกรณ์บังแดดชนิดเดียวกันแต่มีระยะห่างจากขอบหน้าต่างแตกต่างกันค่าสัมประสิทธิ์การบังแดดจะมีค่าน้อยที่สุดที่ระยะที่ชิดขอบหน้าต่างมากที่สุด

#### 4.2 การวิเคราะห์ค่าความร้อนของการบังแสงอาทิตย์ของอุปกรณ์บังแดด

หลังจากที่คำนวณหาค่าสัมประสิทธิ์การบังแดด (SC) มาเรียบร้อยแล้ว ก็จะนำค่า SC ที่ได้ และ อยู่ในช่วงที่เหมาะสม คือ 0.3-0.7 มาคำนวณหาความร้อนของรังสีอาทิตย์ (Q) ที่ส่องเข้ามาสู่อาคารในทิศทางต่างๆ ทั้ง 8 ทิศ คือ ทิศเหนือ ทิศใต้ ทิศตะวันออก ทิศตะวันตก ทิศตะวันออกเฉียงเหนือ ทิศตะวันออกเฉียงใต้ ทิศตะวันตกเฉียงเหนือ และทิศตะวันตกเฉียงใต้ โดยกระจัดตัวอย่างที่ทำการวิเคราะห์มีขนาด 4m x 2m หน้า 3mm. ในระยะห่างจากขอบหน้าต่าง 0 m ระยะชั้นต่างๆ พิกัดที่ 16° ที่ จังหวัด พิษณุโลก ตลอด 24 ชั่วโมง เมื่อทำการวิเคราะห์ผลจากค่าความร้อนของรังสีอาทิตย์ที่ได้ในแต่ละทิศ ในกรณีที่ไม่มียุกรณ์บังแดดกับกรณีที่มีอุปกรณ์บังแดด กำหนดให้เส้นสีแดงที่ปรากฏในกราฟ แสดงค่าปริมาณความร้อนในกรณีที่ไม่ได้ติดตั้งอุปกรณ์บังแดด แกน X เป็นเวลา 24 ชั่วโมง แกน Y เป็นปริมาณความร้อน ซึ่งจะแสดงผังกราฟในรูปของปริมาณความร้อนได้ดังต่อไปนี้

แผนภาพในรูปของปริมาณความร้อนที่ผ่านกระจกในทิศเหนือ ทิศใต้ ทิศตะวันออก และทิศตะวันตก ทิศตะวันออกเฉียงเหนือ ทิศตะวันออกเฉียงใต้ ทิศตะวันตกเฉียงเหนือ และทิศตะวันตกเฉียงใต้

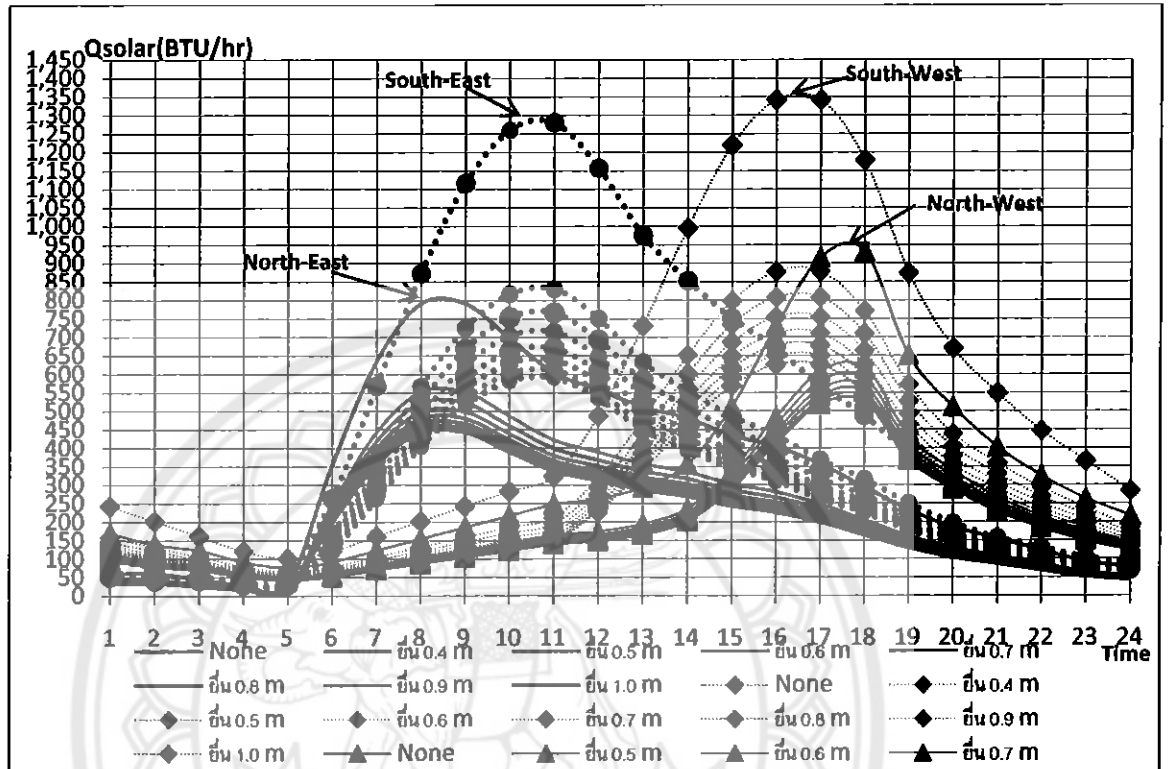
แบบแนวนอน (Overhang) ทิศเหนือ ทิศใต้ ทิศตะวันออก และทิศตะวันตก



แผนภาพที่ 4.7 แสดงค่าความร้อนผ่านกระจกทางด้านทิศเหนือ ทิศใต้ ทิศตะวันออกและทิศตะวันตก ของอุปกรณ์บังแดดแบบแนวนอน (Overhang)

จากแผนภาพที่ 4.7 กราฟจะแบ่งเป็นสี่ส่วนอย่างเห็นได้ชัด โดยทิศตะวันออกจะมีปริมาณความร้อนสูงในช่วงเช้า คือ 7.00- 13.00น. และทิศใต้ จะมีปริมาณความร้อนสูงในช่วงกลางวัน คือ 10.00 – 17.00 น. เป็นช่วงที่มีปริมาณความร้อนยาวนานที่สุด ทิศตะวันตก มีปริมาณความร้อนสูงในช่วง 14.00 – 20.00 น. ส่วนทิศเหนือจะมีปริมาณความร้อนน้อยที่สุดเมื่อเทียบกับ สามทิศที่กล่าวไว้ แต่เมื่อติดตั้งอุปกรณ์บังแดด โดยภาพรวมจะลดค่าความร้อนได้ประมาณ 32.5 % ระยะเวลาที่ใช้คิดในแต่ละทิศอยู่ที่ 0.3-1.0 m

**แบบแนวนอน (Overhang) ทิศตะวันออกเฉียงเหนือ ทิศตะวันออกเฉียงใต้ ทิศตะวันตกเฉียงเหนือ และทิศตะวันตกเฉียงใต้**

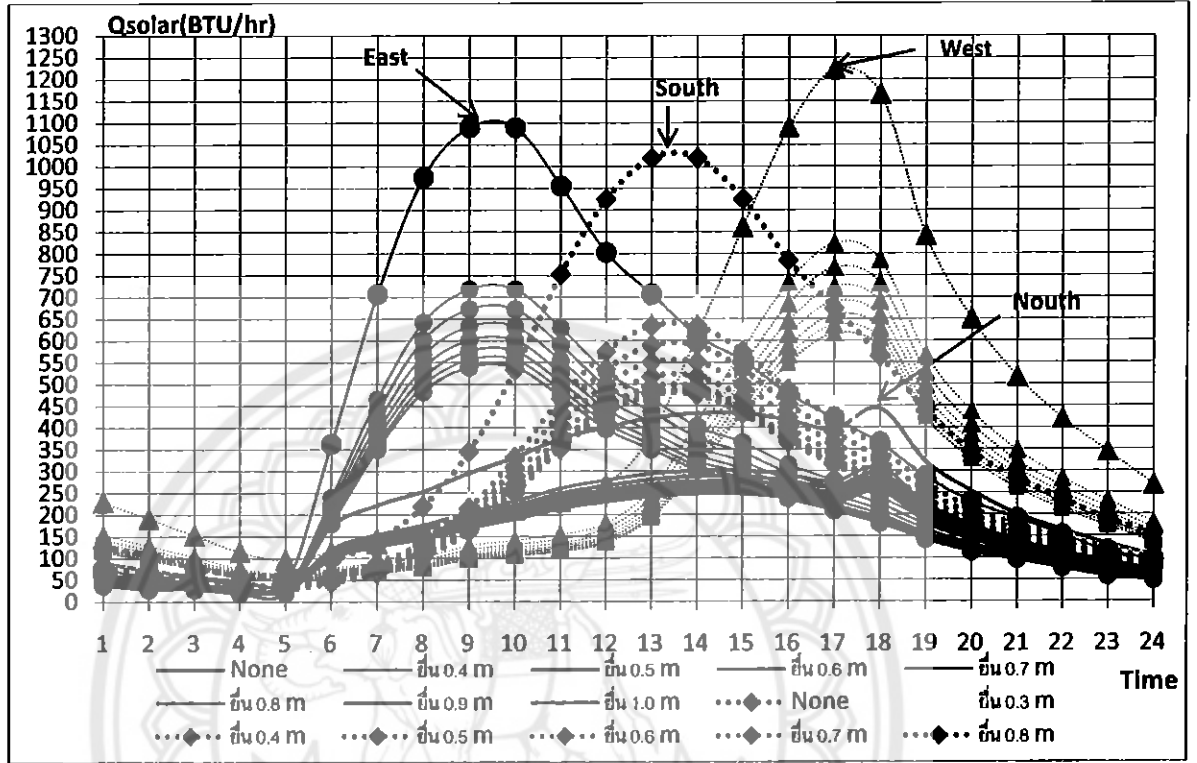


**แผนภาพที่ 4.8** แสดงค่าความร้อนผ่านกระจกทางด้านทิศตะวันออกเฉียงเหนือ ทิศตะวันออกเฉียงใต้ ทิศตะวันตกเฉียงเหนือ และทิศตะวันตกเฉียงใต้ แบบแนวนอน (Overhang)

จากแผนภาพที่ 4.8 แบ่งออกได้เป็นสองกลุ่มใหญ่กล่าวคือปริมาณความร้อนที่สูงในช่วง 07.00 - 15.00 น. และ ปริมาณความร้อนที่สูงในช่วง 12.00 - 20.00 น. กลุ่มที่ร้อนในช่วง 07.00 - 15.00 น. ก็คือกลุ่มทางทิศตะวันออก ได้แก่ทิศตะวันออกเฉียงเหนือและตะวันออกเฉียงใต้ โดยทิศตะวันออกเฉียงเหนือจะมีค่าปริมาณความร้อนต่ำกว่าตะวันออกเฉียงใต้ และ กลุ่มที่ร้อนในช่วง 12.00 - 20.00 น. ก็คือกลุ่มทางทิศตะวันตก ได้แก่ทิศตะวันตกเฉียงเหนือและตะวันตกเฉียงใต้ โดยทิศตะวันตกเฉียงเหนือจะมีค่าปริมาณความร้อนต่ำกว่าตะวันตกเฉียงใต้ และทิศตะวันตกเฉียงใต้มีค่าปริมาณความร้อนสูงที่สุด แต่เมื่อติดอุปกรณ์บังแดดโดยภาพรวมจะลดค่าความร้อนได้ประมาณ 34 % ระบายชั้นที่ใช้คิดในแต่ละทิศอยู่ที่ 0.4-1.0 m

แบบแนวอนผสมแบบหักมุมด้านหน้า ระยะ 0.1 m ทิศเหนือ ทิศใต้ ทิศตะวันออก และทิศ

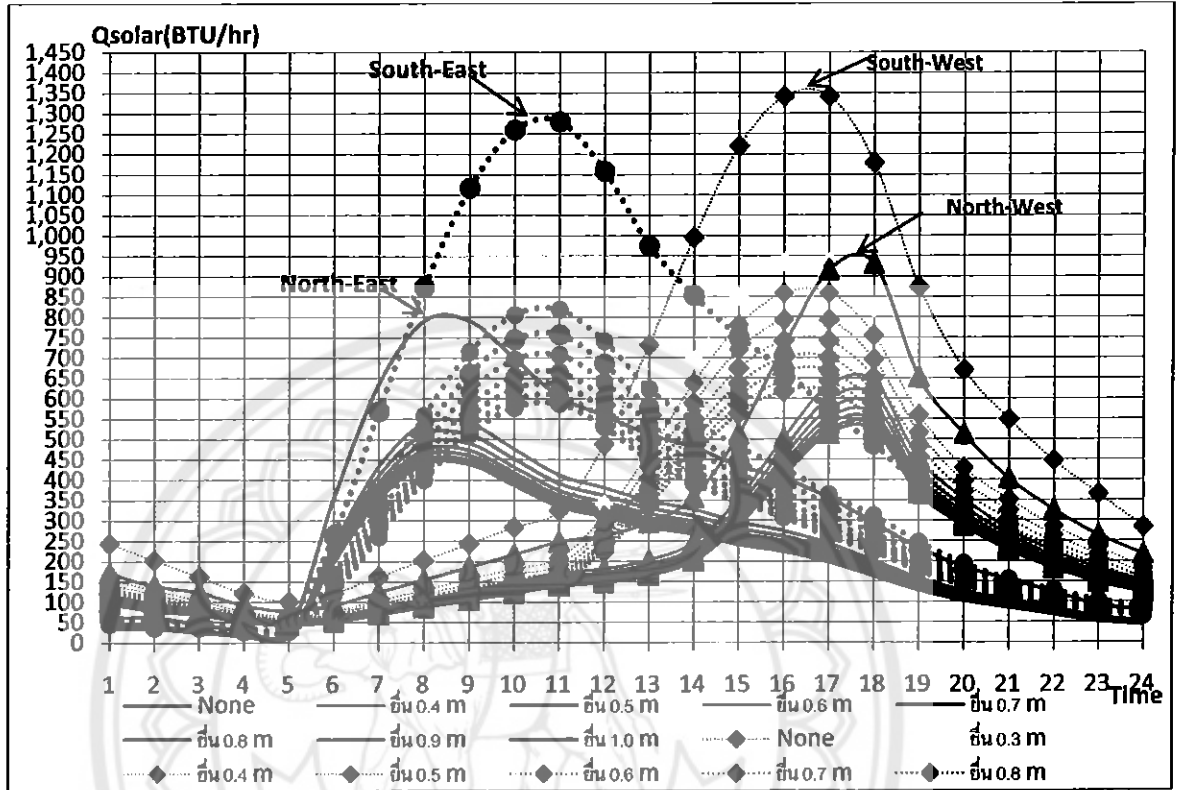
ตะวันตก



แผนภาพที่ 4.9 แสดงค่าความร้อนผ่านกระจกทางด้านทิศเหนือ ทิศใต้ ทิศตะวันออกและทิศตะวันตกแบบแนวอนผสมแบบหักมุมด้านหน้า ระยะ 0.1 m



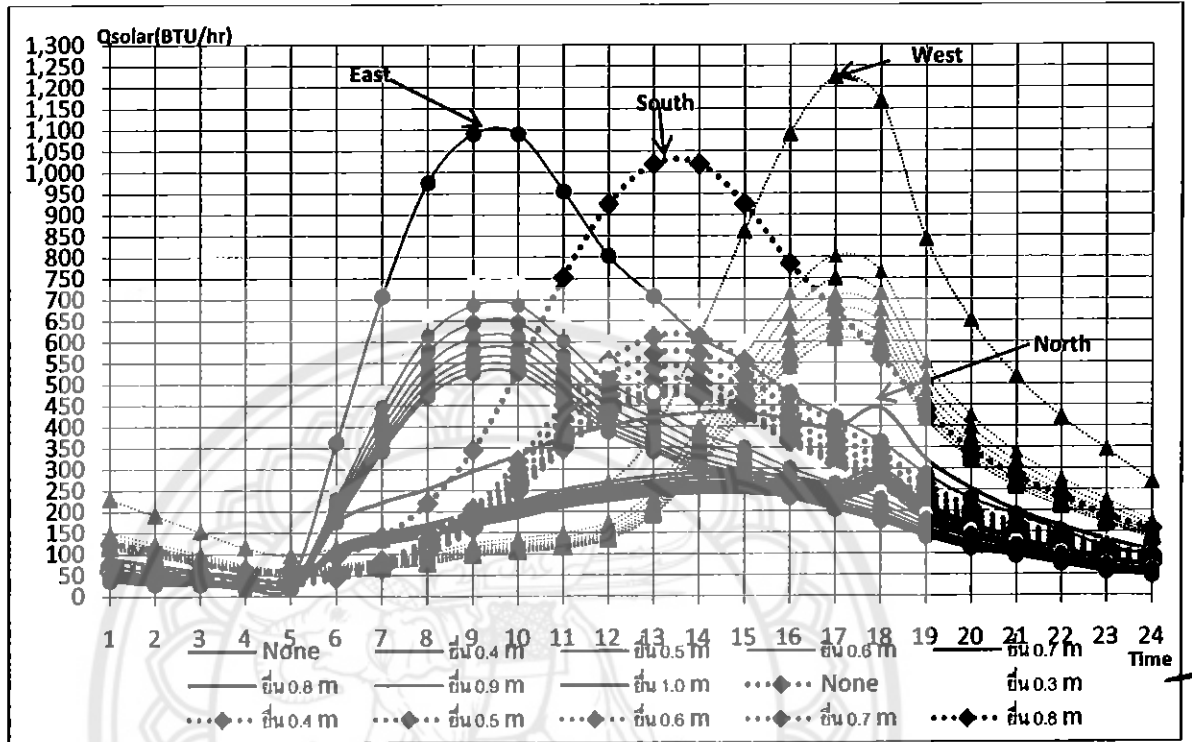
แบบแนวนอนผสมแบบหักมุมด้านหน้า ระยะ 0.1 m ทิศตะวันออกเฉียงเหนือ ทิศตะวันออกเฉียงใต้ ทิศตะวันตกเฉียงเหนือ และทิศตะวันตกเฉียงใต้



แผนภาพที่ 4.10 แสดงค่าความร้อนผ่านกระจกทางค้ำทิศตะวันออกเฉียงเหนือ ทิศตะวันออกเฉียงใต้ ทิศตะวันตกเฉียงเหนือ และทิศตะวันตกเฉียงใต้แบบแนวนอนผสมแบบหักมุมด้านหน้า ระยะ 0.1 m

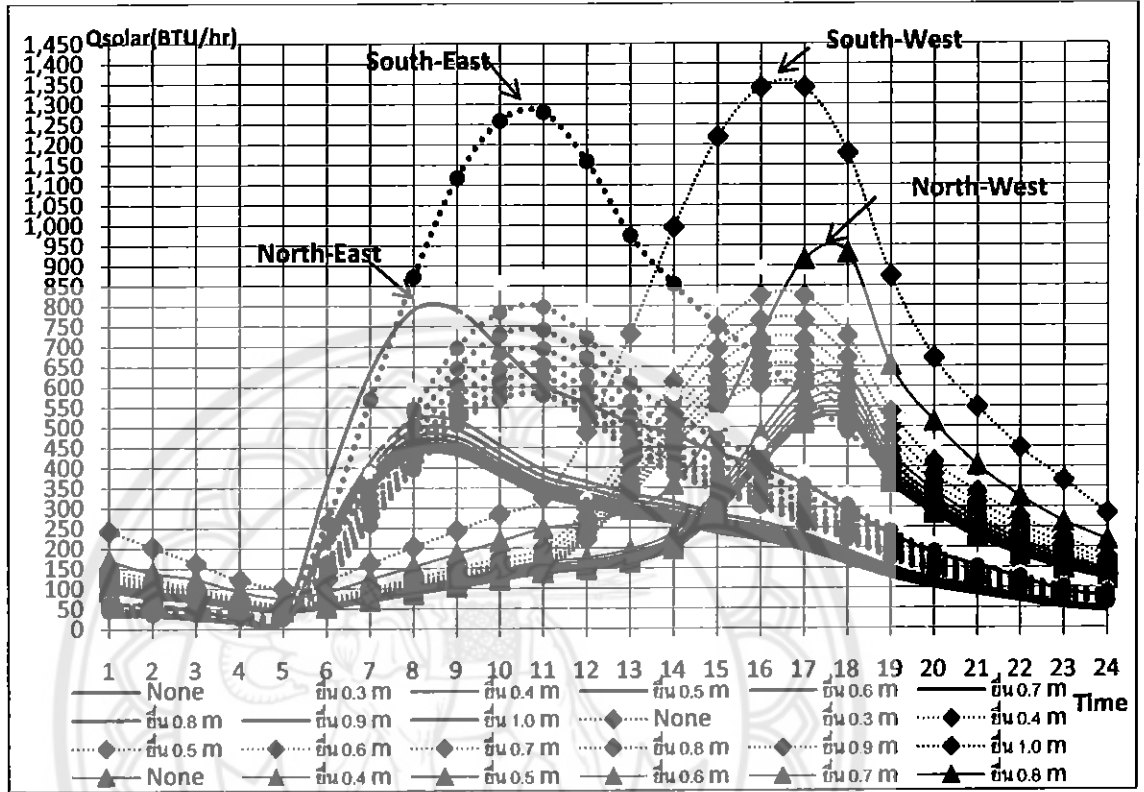
แบบแนวนอนผสมแบบหักมุมด้านหน้า ระยะ 0.3 m ทิศเหนือ ทิศใต้ ทิศตะวันออก และทิศ

ตะวันตก



แผนภาพที่ 4.11 แสดงค่าความร้อนผ่านกระจกทางด้านทิศเหนือ ทิศใต้ ทิศตะวันออกและทิศตะวันตกแบบแนวนอนผสมแบบหักมุมด้านหน้า ระยะ 0.3 m

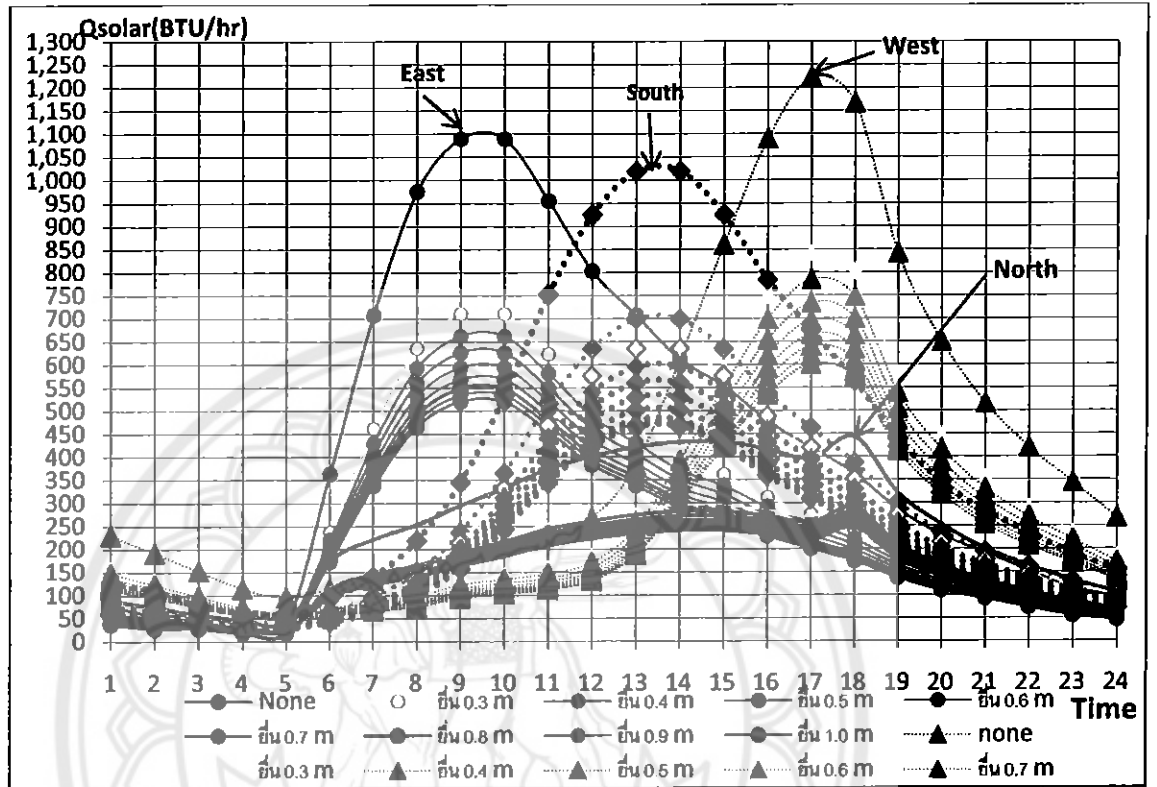
แบบแนวนอนผสมแบบหักมุมด้านหน้า ระยะ 0.3 m ทิศตะวันออกเฉียงเหนือ ทิศตะวันออกเฉียงใต้ ทิศตะวันตกเฉียงเหนือ และทิศตะวันตกเฉียงใต้



แผนภาพที่ 4.12 แสดงค่าความร้อนผ่านกระจกทางด้านทิศตะวันออกเฉียงเหนือ ทิศตะวันออกเฉียงใต้ ทิศตะวันตกเฉียงเหนือ และทิศตะวันตกเฉียงใต้แบบแนวนอนผสมแบบหักมุมด้านหน้า ระยะ 0.3 m

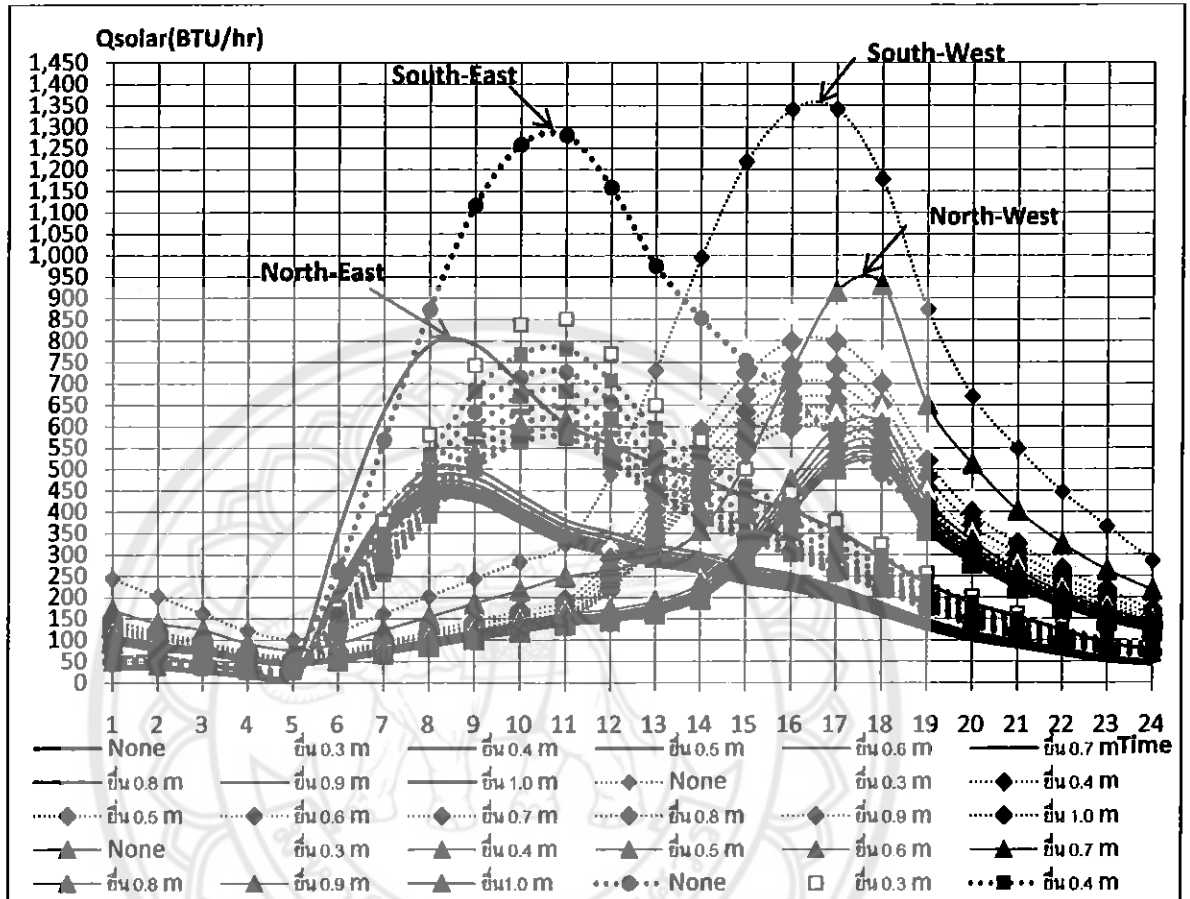
แบบแนวอนผสมแบบหักมุมด้านหน้า ระยะ 0.5 m ทิศเหนือ ทิศใต้ ทิศตะวันออก และทิศ

ตะวันตก



แผนภาพที่ 4.13 แสดงค่าความร้อนผ่านกระจกทางด้านทิศเหนือ ทิศใต้ ทิศตะวันออกและทิศตะวันตกแบบแนวอนผสมแบบหักมุมด้านหน้า ระยะ 0.5 m

แบบแนวนอนผสมแบบหักมุมด้านหน้า ระยะ 0.5 m ทิศตะวันออกเฉียงเหนือ ทิศตะวันออกเฉียงใต้ ทิศตะวันตกเฉียงเหนือ และทิศตะวันตกเฉียงใต้

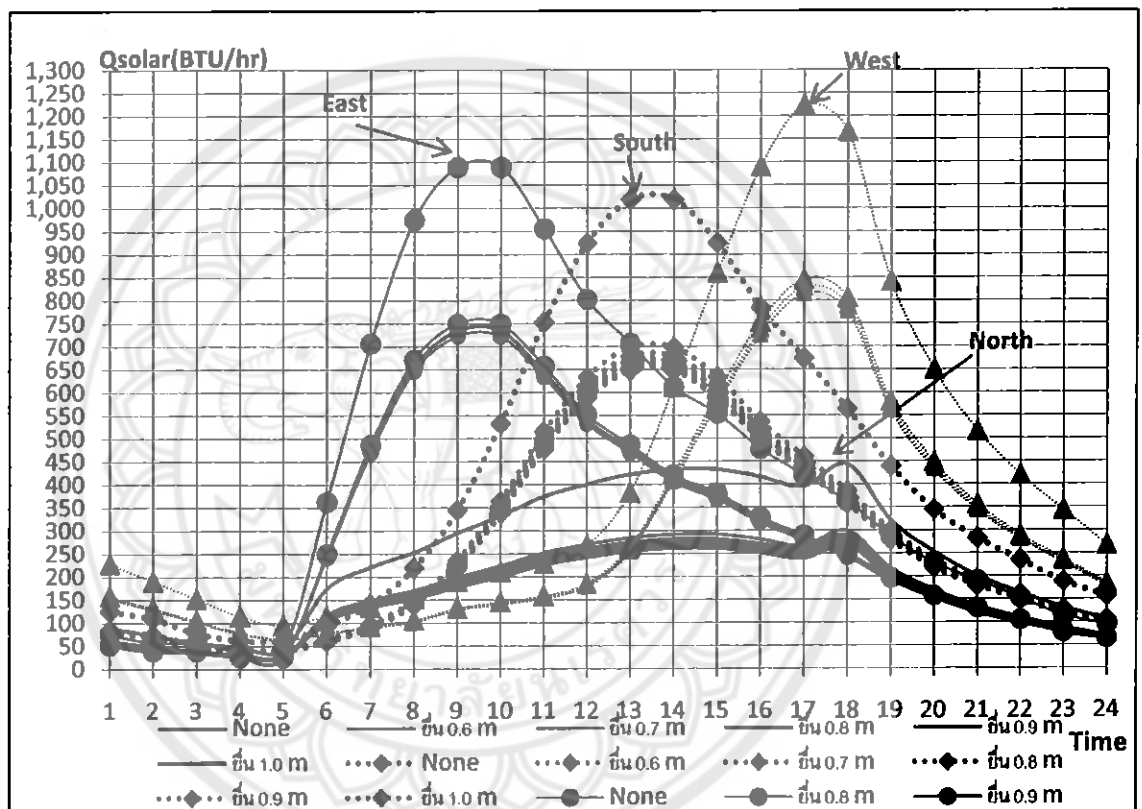


แผนภาพที่ 4.14 แสดงค่าความร้อนผ่านกระจกทางด้านทิศตะวันออกเฉียงเหนือ ทิศตะวันออกเฉียงใต้ ทิศตะวันตกเฉียงเหนือ และทิศตะวันตกเฉียงใต้แบบแนวนอนผสมแบบหักมุมด้านหน้า ระยะ 0.5 m

จากแผนภาพที่ 4.9, แผนภาพที่ 4.11, แผนภาพที่ 4.13 ปริมาณความร้อนในทิศต่างๆมีทิศทางเดียวกับแบบ Overhang ทั้งทิศเหนือ ทิศใต้ ทิศตะวันออก และทิศตะวันตก แต่ปริมาณความร้อนจะลดลงจากแบบ Overhang ตามลำดับจากน้อยไปมาก คือ แบบแนวนอนผสมแบบหักมุมด้านหน้า ระยะ 0.1, 0.3, 0.5 m แต่เมื่อคิดอุปกรณ์บังแดด โดยภาพรวมจะลดค่าความร้อนได้ประมาณ 32 % ระยะยื่นที่ใช้คิดในแต่ละทิศอยู่ที่ 0.3-1.0 m ส่วนแผนภาพที่ 4.10, แผนภาพที่ 4.12, แผนภาพที่ 4.14 แบ่งออกเป็นสองกลุ่มใหญ่ เหมือน แบบ Overhang ทั้งทิศตะวันออกเฉียงเหนือ ทิศตะวันออกเฉียงใต้ ทิศตะวันตกเฉียงเหนือ และทิศตะวันตกเฉียงใต้ แต่ปริมาณความร้อนจะลดลง

จากแบบ Overhang ตามลำดับจากน้อยไปมาก คือ แบบแนวนอนผสมแบบหักมุมด้านหน้า ระยะ 0.1, 0.3, 0.5 m แต่เมื่อคิดอุปกรณ์บังแดด โดยภาพรวมจะลดค่าความร้อนได้ประมาณ 32.5% ระยะยื่นที่ใช้คิดในแต่ละทิศอยู่ที่ 0.3-1.0 m

แบบแนวตั้ง (Fin) ทิศเหนือ ทิศใต้ ทิศตะวันออก และทิศตะวันตก

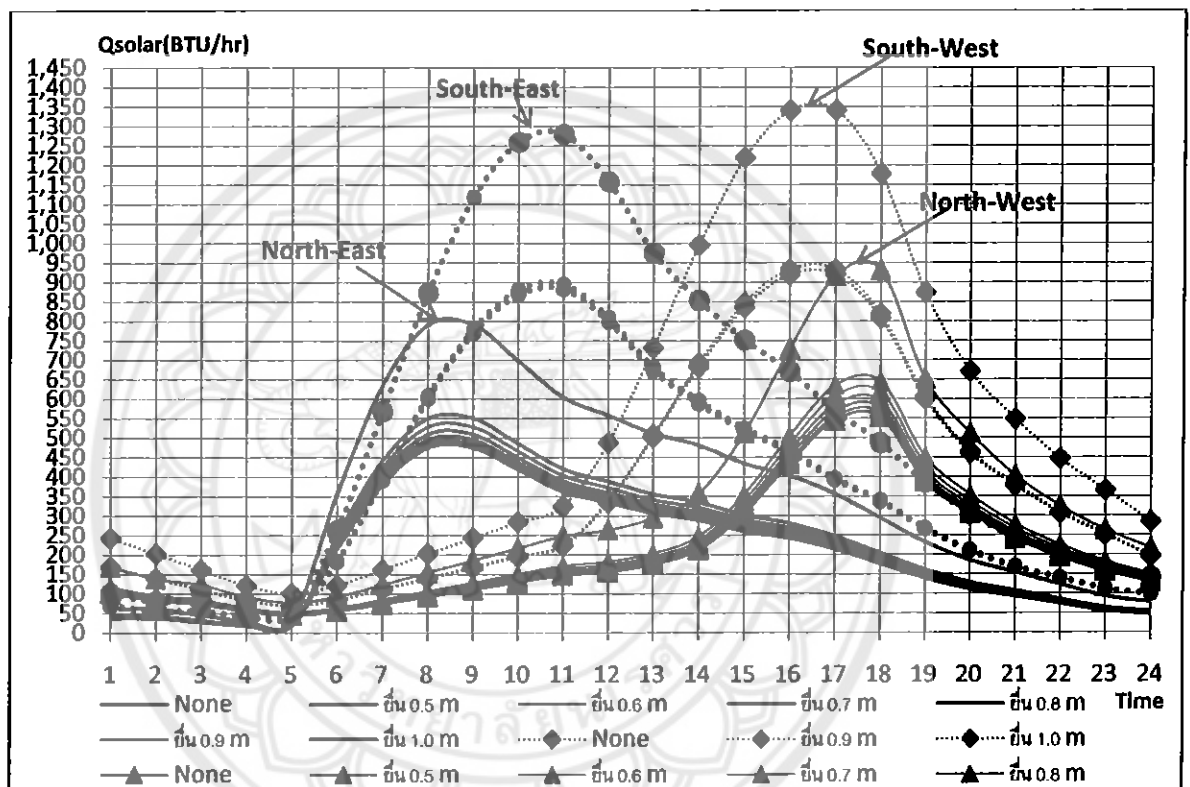


แผนภาพที่ 4.15 แสดงค่าความร้อนผ่านกระจกทางด้านทิศเหนือ ทิศใต้ ทิศตะวันออกและทิศตะวันตก แบบแนวตั้ง (Fin)

จากแผนภาพที่ 4.15 กราฟจะแบ่งเป็นสี่ส่วนอย่างเห็นได้ชัด โดยทิศตะวันออกจะมีปริมาณความร้อนสูงในช่วงเช้า คือ 7.00- 13.00น. และทิศใต้ จะมีปริมาณความร้อนสูงในช่วงกลางวัน คือ 10.00 - 17.00 น. เป็นช่วงที่มีปริมาณความร้อนยาวนานที่สุด ทิศตะวันตก มีปริมาณความร้อนสูงในช่วง 14.00 - 20.00 น. ส่วนทิศเหนือจะมีปริมาณความร้อนน้อยที่สุดเมื่อเทียบกับ สามทิศที่กล่าวไว้ แต่เมื่อคิดอุปกรณ์บังแดด โดยภาพรวมจะลดค่าความร้อนได้ประมาณ 31.5% แต่ปริมาณความร้อนเมื่อเทียบในทิศเดียวกันและระยะชิดขอบหน้าต่างกับแบบแนวนอน(Overhang) แบบแนวนอน

ผสมแบบหักมุมด้านหน้าในระยะต่างๆ ต้องติดอุปกรณ์แบบแนวตั้ง (Fin) ในระยะยื่นที่ยาวกว่า และ ระยะยื่นที่ใช้ติดในทิศตะวันออกและทิศตะวันตกอยู่ที่ 0.8-1.0 m ระยะยื่นที่ใช้ติดในทิศเหนือและ ทิศใต้อยู่ที่ 0.6-1.0 m

แบบแนวตั้ง (Fin) ทิศตะวันออกเฉียงเหนือ ทิศตะวันออกเฉียงใต้ ทิศตะวันตกเฉียงเหนือ และทิศตะวันตกเฉียงใต้

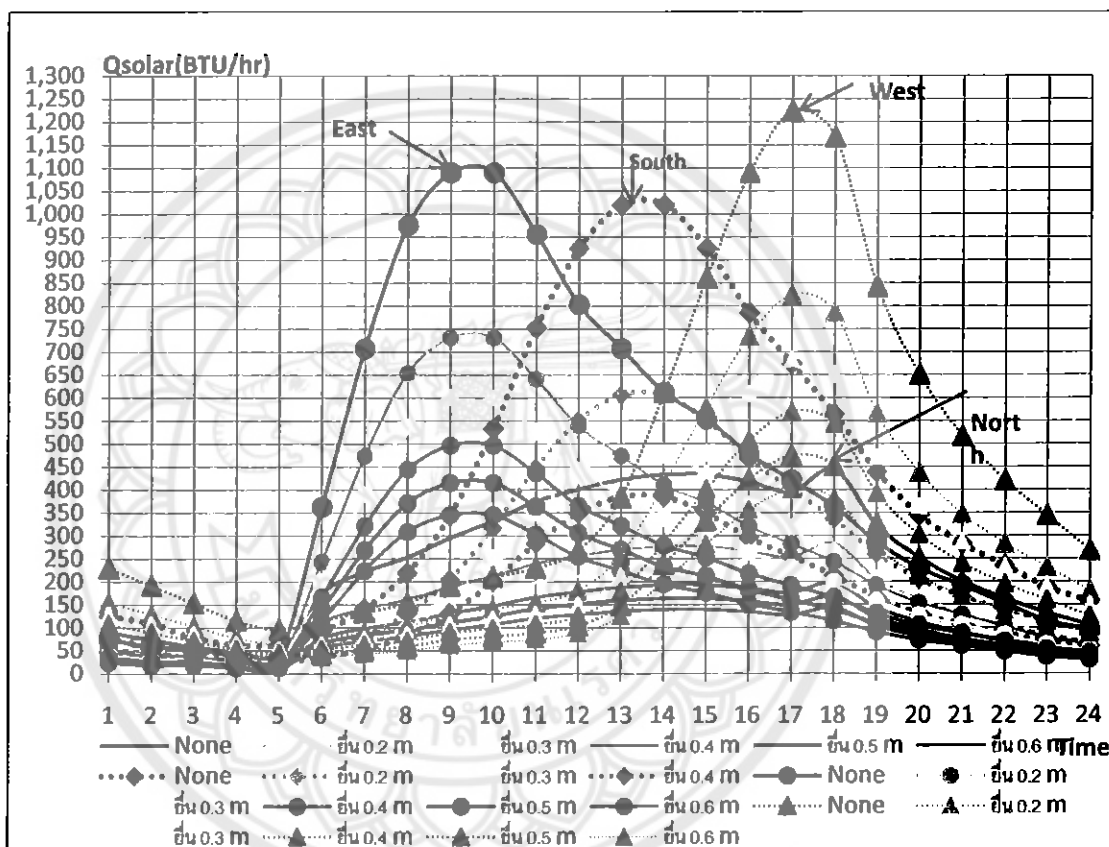


แผนภาพที่ 4.16 แสดงค่าความร้อนผ่านกระจกทางด้านทิศตะวันออกเฉียงเหนือ ทิศตะวันออกเฉียงใต้ ทิศตะวันตกเฉียงเหนือ และทิศตะวันตกเฉียงใต้ แบบแนวตั้ง (Fin)

จากแผนภาพที่ 4.16 แบ่งออกได้เป็นสองกลุ่มใหญ่กล่าวคือปริมาณความร้อนที่สูงในช่วง 07.00 – 15.00 น. และ ปริมาณความร้อนที่สูงในช่วง 12.00 - 20.00 น. กลุ่มที่ร้อนในช่วง 07.00 – 15.00 น. คือกลุ่มทางทิศตะวันออก ได้แก่ทิศตะวันออกเฉียงเหนือและตะวันออกเฉียงใต้ โดยทิศตะวันออกเฉียงเหนือจะมีค่าปริมาณความร้อนต่ำกว่าตะวันออกเฉียงใต้ และ กลุ่มที่ร้อนในช่วง 12.00 - 20.00 น. คือกลุ่มทางทิศตะวันตก ได้แก่ทิศตะวันตกเฉียงเหนือและตะวันตกเฉียงใต้ โดยทิศตะวันตกเฉียงเหนือจะมีค่าปริมาณความร้อนต่ำกว่าตะวันตกเฉียงใต้ และทิศตะวันตกเฉียงใต้มีค่าปริมาณความร้อนสูงสุด แต่เมื่อติดอุปกรณ์บังแดดโดยภาพรวมจะลดค่าความร้อนได้ประมาณ

30% แต่ปริมาณความร้อนเมื่อเทียบในทิศเดียวกันและระยะชิดขอบหน้าต่างกับแบบแนวนอน (Overhang) แบบแนวนอนผสมแบบหักมุมด้านหน้าในระยะต่างๆ ต้องติดอุปกรณ์แบบแนวตั้ง (Fin) ในระยะยื่นที่ยาวกว่า ระยะยื่นที่ใช้ติดในทิศตะวันออกเฉียงเหนือและทิศตะวันตกเฉียงเหนือ อยู่ที่ 0.4-1.0 m ระยะยื่นที่ใช้ติดในทิศตะวันออกใต้และทิศตะวันตกใต้อยู่ที่ 0.9-1.0 m

แบบผสม (Set back) ทิศเหนือ ทิศใต้ ทิศตะวันออก และทิศตะวันตก



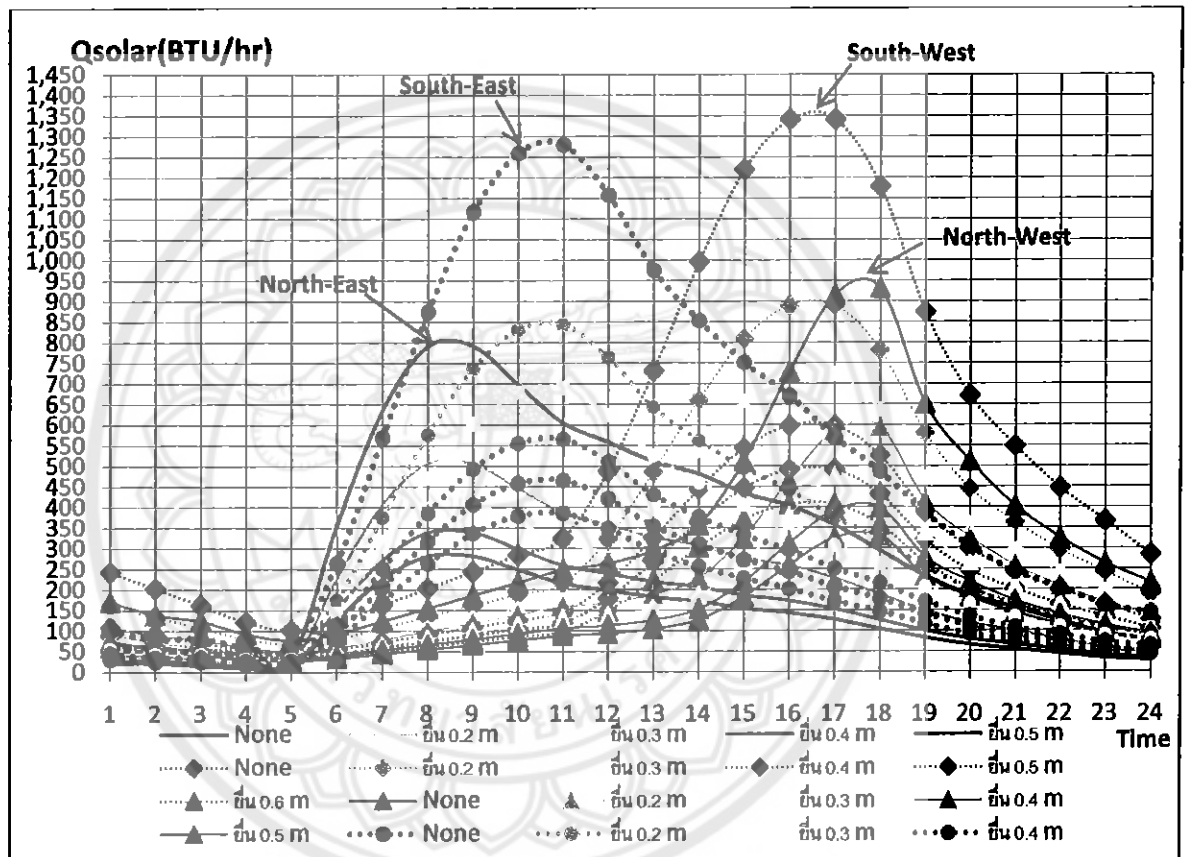
แผนภาพที่ 4.17 แสดงค่าความร้อนผ่านกระจกทางด้านทิศเหนือ ทิศใต้ ทิศตะวันออกและทิศตะวันตกแบบผสม (Setback)

จากแผนภาพที่ 4.17 กราฟจะแบ่งเป็นส่วนอย่างเห็นได้ชัด โดยทิศตะวันออกจะมีปริมาณความร้อนสูงในช่วงเช้า คือ 7.00- 13.00น. และทิศใต้ จะมีปริมาณความร้อนมากในช่วงกลางวัน คือ 10.00 – 17.00 น. เป็นช่วงที่มีปริมาณความร้อนยาวนานที่สุด ทิศตะวันตก มีปริมาณความร้อนมากในช่วง 14.00 – 20.00 น. ส่วนทิศเหนือจะมีปริมาณความร้อนน้อยที่สุดเมื่อเทียบกับ สามทิศที่กล่าวไว้ แต่เมื่อคิดอุปกรณ์บังแดดโดยภาพรวมจะลดค่าความร้อนได้ประมาณ 35.5% ระยะยื่นที่ใช้ติดในทิศใต้อยู่ที่ 0.2-0.4 m และทิศเหนือ ทิศตะวันออก ทิศตะวันตกอยู่ที่ 0.2-0.6 m เมื่อเปรียบเทียบกับ



แบบแนวนอน (Overhang) แบบแนวนอนผสมแบบหักมุมค้ำหน้าในระยะต่างๆ แบบแนวตั้ง (Fin) จะเห็นได้ว่าที่ปริมาณความร้อนที่เท่ากันระยะยื่นของอุปกรณ์บังแดดแบบผสม (Setback) จะมีระยะยื่นที่น้อยกว่า

แบบผสม (Set back) ทิศตะวันออกเฉียงเหนือ ทิศตะวันออกเฉียงใต้ ทิศตะวันตกเฉียงเหนือ และ ทิศตะวันตกเฉียงใต้



แผนภาพที่ 4.18 แสดงค่าความร้อนผ่านกระจกทางด้านทิศตะวันออกเฉียงเหนือ ทิศตะวันออกเฉียงใต้ทิศตะวันตกเฉียงเหนือ และทิศตะวันตกเฉียงใต้แบบผสม (Setback)

จากแผนภาพที่ 4.18 แบ่งออกได้เป็นสองกลุ่มใหญ่ๆ กล่าวคือปริมาณความร้อนที่สูงในช่วง 07.00 - 15.00 น. และ ปริมาณความร้อนที่สูงในช่วง 12.00 - 20.00 น. กลุ่มที่ร้อนในช่วง 07.00 - 15.00 น. คือกลุ่มทางทิศตะวันออก ได้แก่ทิศตะวันออกเฉียงเหนือและตะวันออกเฉียงใต้ โดยทิศตะวันออกเฉียงเหนือจะมีค่าปริมาณความร้อนต่ำกว่าตะวันออกเฉียงใต้ และ กลุ่มที่ร้อนในช่วง 12.00 - 20.00 น. คือกลุ่มทางทิศตะวันตก ได้แก่ทิศตะวันตกเฉียงเหนือและตะวันตกเฉียงใต้ โดยทิศตะวันตกเฉียงเหนือจะมีค่าปริมาณความร้อนต่ำกว่าตะวันตกเฉียงใต้ และทิศตะวันตกเฉียงใต้มีค่า

ปริมาณความร้อนสูงสุด แต่เมื่อคิดอุปกรณ์บังแดดโดยภาพรวมจะลดค่าความร้อนได้ประมาณ 34.9% แต่ปริมาณความร้อนเมื่อเทียบในทิศเดียวกันและระยะชิดขอบหน้าต่างกับแบบแนวนอน (Overhang) แบบแนวนอนผสมแบบหักมุมด้านหน้าในระยะต่างๆ แบบแนวตั้ง (Fin) จะเห็นได้ว่าที่ปริมาณความร้อนที่เท่ากันระยะยื่นของอุปกรณ์บังแดดแบบผสม (Setback) จะมีระยะยื่นที่น้อยกว่า ระยะยื่นที่ใช้คิดในทิศตะวันออกเฉียงเหนือและทิศตะวันตกเฉียงเหนืออยู่ที่ 0.2-0.5 m และระยะยื่นที่ใช้คิดในทิศตะวันออกเฉียงใต้และทิศตะวันตกเฉียงใต้อยู่ที่ 0.2-0.6 m จากการปริมาณความร้อนที่ระยะต่างๆ ทั้งกรณีที่ไม่ได้ติดตั้งและติดตั้งอุปกรณ์บังแดด ผลของการวิเคราะห์ที่ได้ผลดังนี้

กลุ่มของอุปกรณ์บังแดดในทิศเหนือ ทิศใต้ ทิศตะวันออก ทิศตะวันตก ปริมาณความร้อนจะแบ่งออกเป็นสี่กลุ่มใหญ่ตามทิศ โดยทิศตะวันออกจะมีปริมาณความร้อนจะสูงในช่วงเช้า คือ 7.00- 13.00น. และทิศใต้ จะมีปริมาณความร้อนมากในช่วงกลางวัน คือ 10.00 – 17.00 น. เป็นช่วงที่มีปริมาณความร้อนยาวนานที่สุด ทิศตะวันตก มีปริมาณความร้อนมากในช่วง 14.00 – 20.00 น. ส่วนทิศเหนือจะมีปริมาณความร้อนน้อยที่สุด ที่เป็นเช่นนี้ เนื่องจากการเคลื่อนที่ของดวงอาทิตย์จะเคลื่อนที่ขึ้นทางทิศตะวันออกอ้อมทางทิศใต้ และตกทางทิศตะวันตก ทำให้ทิศเหนือมีปริมาณของความร้อนไม่สูงนัก แต่ปริมาณความร้อนมีค่าสูงทางด้านทิศตะวันตก และระยะยื่นที่เหมาะสมของแบบแนวนอน (Overhang) ทุกทิศคือ 0.3-1.0 m แบบแนวนอนผสมแบบหักมุมด้านหน้าในระยะต่างๆทุกทิศคือ 0.3-1.0 m แบบแนวนอน (Fin) ของทิศเหนือและทิศใต้คือ 0.6-1.0 ทิศตะวันออกและทิศตะวันตกคือ 0.8-1.0 m แบบผสม (Setback) ของทิศใต้คือ 0.2-0.4 m ทิศเหนือ ทิศตะวันออก ทิศตะวันตกคือ 0.2-0.6 m ที่ปริมาณความร้อนเท่ากัน อุปกรณ์บังแดดแบบผสม (Setback) ใช้ระยะยื่นที่ต่ำที่สุดก็สามารถบังแดดได้แล้ว

กลุ่มของอุปกรณ์บังแดดในทิศตะวันออกเฉียงเหนือ ทิศตะวันตกเฉียงเหนือ ทิศตะวันออกเฉียงใต้ และทิศตะวันตกเฉียงใต้ ปริมาณความร้อน จะแบ่งออกเป็นสองกลุ่มใหญ่ๆ คือ กลุ่มทางทิศตะวันออก และทางทิศตะวันตก ปริมาณความร้อนของทิศตะวันออก จะมีค่าสูงในช่วง 07.00 – 15.00 น. และ ปริมาณความร้อนทางทิศตะวันตกจะมีค่าสูงในช่วง 12.00 - 20.00 น. แต่ค่าปริมาณความร้อนที่เกี่ยวข้องกับทางทิศใต้จะมีค่าสูงกว่าทางทิศเหนือ ไม่ว่าจะเป็นทางด้านทิศตะวันออกเฉียงใต้และทิศตะวันตกเฉียงใต้ ซึ่งทางทิศตะวันตกเฉียงใต้มีค่าสูงที่สุด เนื่องจากอยู่ในแนวการเคลื่อนที่ของดวงอาทิตย์ ระยะยื่นที่เหมาะสมของแบบแนวนอน (Overhang) ทุกทิศคือ 0.4-1.0 m แบบแนวนอนผสมแบบหักมุมด้านหน้าในระยะต่างๆทุกทิศคือ 0.3-1.0 m แบบแนวนอน (Fin)

ของทิศตะวันออกเฉียงเหนือและทิศตะวันตกเฉียงเหนือคือ 0.4-1.0m ทิศตะวันออกเฉียงใต้และทิศตะวันตกเฉียงใต้คือ 0.9-1.0m แบบผสม(Setback) ทิศตะวันออกเฉียงเหนือและทิศตะวันตกเฉียงเหนืออยู่ที่ 0.2-0.5 m ทิศตะวันออกเฉียงใต้และทิศตะวันตกเฉียงใต้อยู่ที่ 0.2-0.6 m ที่ปริมาณความร้อนเท่ากัน อุปกรณ์บังแดดแบบผสม (Setback) ใช้ระยะยื่นที่ต่ำที่สุดก็สามารถบังแดดได้แล้ว



## บทที่ 5

### สรุปผลการดำเนินงาน

#### 5.1 สรุปผลในด้านค่าสัมประสิทธิ์การบังแดด (SC)

จากผลการวิเคราะห์ค่าสัมประสิทธิ์การบังแดด (Shading Coefficient; SC) ของอุปกรณ์บังแดด 4 แบบ เมื่อแยกพิจารณาในด้านความสามารถในการบังรังสีความร้อนจากดวงอาทิตย์ พบว่า

5.1.1 อุปกรณ์บังแดดแบบแนวนอน (Overhang) และ แบบแนวนอนผสมหักมุมด้านหน้า สามารถบังแสงอาทิตย์ได้ดีทางด้านกลุ่มทิศใต้ นั่นคือ ทิศใต้ ทิศตะวันออกเฉียงใต้ และทิศตะวันตกเฉียงใต้ เช่นเดียวกับอุปกรณ์บังแดดแบบแนวนอนผสมหักมุมด้านหน้าที่ให้ผลสอดคล้องกับอุปกรณ์บังแดดแบบแนวนอน แต่จะสามารถบังแสงอาทิตย์ได้ดีกว่าอุปกรณ์บังแดดแบบแนวนอนเพียงเล็กน้อย

5.1.2 อุปกรณ์บังแดดแบบแนวตั้ง (Fin) จะมีประสิทธิภาพในการบังแสงอาทิตย์ได้ดีทางด้านกลุ่มทิศเหนือ นั่นคือ ทิศเหนือ ทิศตะวันออกเฉียงเหนือ และทิศตะวันตกเฉียงเหนือ

5.1.3 อุปกรณ์บังแดดแบบผสม (Setback) มีประสิทธิภาพในการบังแสงอาทิตย์ได้ดีที่สุดในทุกทิศเมื่อเปรียบเทียบกับอุปกรณ์บังแดดในรูปแบบอื่นๆ เนื่องจากอุปกรณ์บังแดดแบบผสม (Setback) เป็นการรวมคุณสมบัติที่ดีของอุปกรณ์บังแดดในแนวนอน (Overhang) และแบบแนวตั้ง (Fin) เข้าไว้ด้วยกัน โดยอุปกรณ์บังแดดนี้สามารถบังแสงอาทิตย์ได้ดีที่สุดทางด้านทิศใต้

ดังนั้นอุปกรณ์บังแดดภายนอกอาคารที่มีค่าสัมประสิทธิ์การบังแดด (SC) ต่ำๆก็จะบังแดดได้ดี

#### 5.2 สรุปผลในด้านค่าปริมาณความร้อน (Q)

5.2.1 อุปกรณ์บังแดดแบบแนวนอน (Overhang) และ แบบแนวนอนผสมหักมุมด้านหน้า ปริมาณความร้อนของทิศตะวันออก ทิศใต้ และทิศตะวันตก แบ่งเป็นสี่กลุ่ม มีค่าความร้อนสูงและสูงที่สุดทางทิศตะวันตก และปริมาณความร้อนมีช่วงยาวนานที่สุดคือทิศใต้ และเมื่อติดอุปกรณ์บังแดดจะลดได้ประมาณ 30% ส่วนในทิศตะวันออกเฉียงเหนือ ทิศตะวันตกเฉียงเหนือ ทิศตะวันออกเฉียงใต้ และทิศตะวันตกเฉียงใต้ ปริมาณความร้อนจะแบ่งเป็นสองกลุ่ม คือกลุ่มทิศตะวันออก และทิศตะวันตก ทิศตะวันออกปริมาณความร้อนสูงในช่วงเช้า และทิศตะวันตกจะสูงในช่วงเที่ยงลงไป แต่ทิศตะวันออกเฉียงใต้และทิศตะวันตกเฉียงใต้ จะมีค่าความร้อนสูงกว่าทางทิศตะวันออกเฉียงเหนือ ทิศตะวันตกเฉียงเหนือ เมื่อติดอุปกรณ์บังแดดจะลดได้ประมาณ 30%

5.2.2 อุปกรณ์บังแดดแบบแนวตั้ง (Fin) ปริมาณหรือค่าความร้อนที่เกิดขึ้น จะเหมือนกับ อุปกรณ์บังแดดแบบแนวนอน (Overhang) และ แบบแนวนอนผสมหักมุมด้านหน้า แต่ระยะที่ใช้ ในการบังแดดจะใช้ระยะยื่นมากกว่า คือในทิศเหนือทิศใต้ ใช้ระยะยื่นตั้งแต่ 0.6 m ทิศตะวันออก และ ทิศตะวันตกใช้ระยะยื่นตั้งแต่ 0.8 m และทิศตะวันออกเฉียงใต้และตะวันตกเฉียงใต้ใช้ระยะยื่นที่ 0.9 m จึงจะสามารถบังแดดได้

5.2.3 อุปกรณ์บังแดดแบบผสม (Setback) แนวโน้มของปริมาณหรือค่าความร้อนที่เกิดขึ้น จะเหมือนกับอุปกรณ์บังแดดแบบแนวนอน (Overhang) และ แบบแนวนอนผสมหักมุมด้านหน้า แบบแนวตั้ง (Fin) แต่อุปกรณ์บังแดดแบบผสมใช้ระยะยื่น เพียง 0.2-0.6 m ซึ่งระยะยื่นเพียงเล็กน้อย ก็สามารบบังแดดได้

ทิศใต้อยู่ในแนวการเคลื่อนที่มากที่สุด ทำให้ช่วงฐานของกราฟกว้างที่สุดใน ทิศที่เป็นแนวการ เคลื่อนที่ของดวงอาทิตย์คือ ดวงอาทิตย์จะขึ้นทางทิศตะวันออกอ้อมทางทิศใต้ และตกทางทิศ ตะวันตก ทำให้ปริมาณความร้อนทางด้านทิศที่อยู่ในแนวการเคลื่อนที่มีค่าสูง

ซึ่งสามารถแสดงผลสรุปได้ดังตารางที่ 5.1

ตารางที่ 5.1 อุปกรณ์บังแดดที่เหมาะสมในทิศต่างๆที่ระยะยื่นและช่วงค่า SC ที่เหมาะสม

ชนิดของอุปกรณ์	ทิศทางการบังแดดที่เหมาะสม	ระยะยื่นที่เหมาะสม(m)	ค่า SC	ปริมาณความร้อนที่ลดได้(%)
แบบแนวนอน(Overhang)	-South	0.3-1.0	0.6845-0.4700	31.55
	-South-East	0.4-1.0	0.6489-0.4619	31.10
	-South-West	0.4-1.0	0.6546-0.4666	35.36
แบบแนวนอนผสมหักมุม0.1m	-South	0.3-1.0	0.6700-0.4671	33.00
	-South-East	0.4-1.0	0.6397-0.4589	32.10
	-South-West	0.4-1.0	0.6975-0.4612	36.30
แบบแนวนอนผสมหักมุม0.3m	-South	0.3-1.0	0.6441-0.4617	35.59
	-South-East	0.3-1.0	0.6814-0.4533	33.03
	-South-West	0.4-1.0	0.6673-0.4512	36.90
แบบแนวนอนผสมหักมุม0.5m	-South	0.2-1.0	0.6862-0.4575	36.38
	-South-East	0.3-1.0	0.6654-0.4490	34.00
	-South-West	0.3-1.0	0.6424-0.4454	37.76

ตารางที่ 5.1 อุปกรณ์บังแดดที่เหมาะสมในทิศทางต่างๆที่ระยะยื่นและช่วงค่า SC ที่เหมาะสม (ต่อ)

ชนิดของอุปกรณ์	ทิศทางการบังแดดที่เหมาะสม	ระยะยื่นที่เหมาะสม(m)	ค่า SC	ปริมาณความร้อนที่ลดลง(%)
แบบแนวตั้ง(Fin)	-North	0.6-1.0	0.6745-0.6045	32.55
	-North-East	0.5-1.0	0.6964-0.6008	30.36
	-North-West	0.5-1.0	0.6929-0.5949	30.76
แบบผสม(Serback)	-North	0.2-0.6	0.6391-0.3222	36.09
	-South	0.2-0.4	0.5950-0.3774	40.5
	-East	0.2-0.6	0.6706-0.3171	32.94
	-West	0.2-0.6	0.6733-0.3269	32.67
	-North-East	0.2-0.5	0.6395-0.3560	36.05
	-North-West	0.2-0.6	0.6593-0.3012	34.07
	-South-East	0.2-0.5	0.6392-0.3558	36.08
	-South-West	0.2-0.6	0.6636-0.3037	33.63

### 5.3 วิจัยและข้อเสนอแนะ

5.3.1 โปรแกรมยังพัฒนาได้ไม่สมบูรณ์เนื่องจากโปรแกรมนี้อำนาจค่าสัมประสิทธิ์การบังแดด (SC) เฉลี่ยรวมของประเทศไทยเท่านั้นเราไม่สามารถที่จะแยกพิจารณาค่าสัมประสิทธิ์การบังแดด (SC) เป็นแต่ละจังหวัดได้

5.3.2 ทั้งนี้ไม่สามารถที่จะย้ายพิกัดแกนหลักและแกนรองของอุปกรณ์บังแดดได้เนื่องจากว่าทางโปรแกรมได้มีการกำหนดจุดเริ่มต้นของพิกัดแกนหลักและแกนรองไว้แล้ว

## เอกสารอ้างอิง

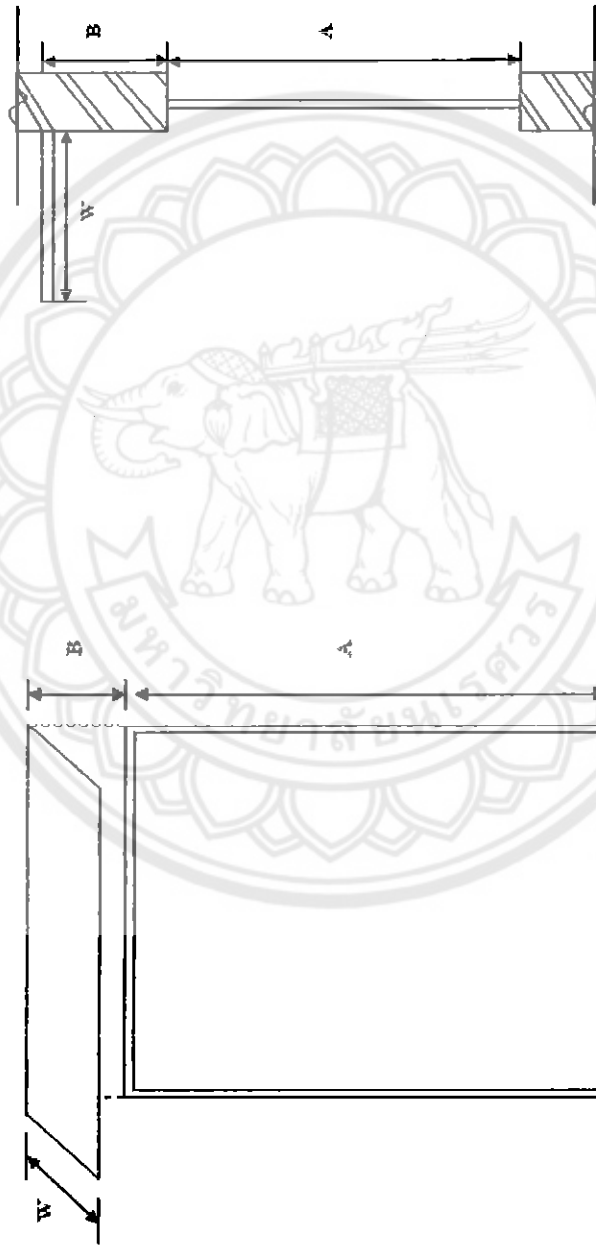
- [1] สักการ ราศีสุทธิ. การศึกษาและวิจัยเพื่อจัดทำหลักเกณฑ์การประเมินการใช้แสงกันแดดกับอาคาร  
เพื่อส่งเสริมการอนุรักษ์พลังงานในอาคาร. คณะสถาปัตยกรรมศาสตร์ มหาวิทยาลัยขอนแก่น
- [2] เศรษฐวัฒน์ ศรีวิโรจน์. ผลกระทบของความร้อนที่เกิดจากการนำแสงธรรมชาติมาใช้ในอาคาร  
โดยผ่านช่องแสงกระจกด้านข้าง. วิทยานิพนธ์ ระดับปริญญาโท 2545
- [3] ถิ่นทมน โพรพิทักษ์. การศึกษารูปแบบของอุปกรณ์บังแดดและช่องแสงทางด้านข้างเพื่อช่วยเพิ่ม  
ประสิทธิภาพการใช้แสงสว่างธรรมชาติภายในห้องเรียน :กรณีศึกษาอาคารเรียนคณะวิชา  
สถาปัตยกรรม มหาวิทยาลัยเทคโนโลยีราชมงคลธัญบุรี วิทยาเขตภาคตะวันออกเฉียงเหนือ  
นครราชสีมา สาขาเทคโนโลยีสถาปัตยกรรม คณะวิชาสถาปัตยกรรมศาสตร์ มหาวิทยาลัย  
เทคโนโลยีราชมงคลธัญบุรี วิทยาเขตภาคตะวันออกเฉียงเหนือ นครราชสีมา
- [4] วีรศักดิ์ เชื้อวงษ์. โปรแกรมคอมพิวเตอร์สำหรับการวิเคราะห์รูปทรงอาคาร วัสดุเปลือก  
อาคารและการออกแบบแผงบังแดดเพื่อการอนุรักษ์พลังงาน. วิทยานิพนธ์ ระดับปริญญาโท 2546
- [5] กฎกระทรวง. กำหนดประเภท หรือขนาดของอาคาร และมาตรฐาน หลักเกณฑ์ และวิธีการใน  
การออกแบบอาคารเพื่อการอนุรักษ์พลังงาน,พ.ศ. 2552
- [6] เอกสารเผยแพร่. การออกแบบอาคารประหยัดพลังงาน (Passive Design for Buildings). ภาค  
อาคารธุรกิจ
- [7] นภาพ แฉ่มไครพัฒน์. การวิเคราะห์พื้นที่เกิดเงาบนหน้าต่างของอุปกรณ์บังแดดโดยใช้โปรแกรม  
คอมพิวเตอร์ร่วมกับแบบจำลอง. การประชุมเชิงวิชาการเครือข่ายพลังงานแห่งประเทศไทยครั้งที่ 1,  
2548
- [8] พระราชบัญญัติกรมส่งเสริมการอนุรักษ์พลังงาน พ.ศ. 2535
- [9] กรมพัฒนาพลังงานทดแทน. กระทรวงพลังงาน
- [10] Professor Surapong Chirarattananon. Energy Field of Study. School of Environment  
Resources and Development. Asian Institute of Technology,(August 2005).



ตารางแสดงค่าสัมประสิทธิ์การบังแดดของอุปกรณ์บังแดดทั้ง 4 แบบ



รูปที่ 1ก. อุปกรณ์บังแดดแบบแนวนอน (Overhang)



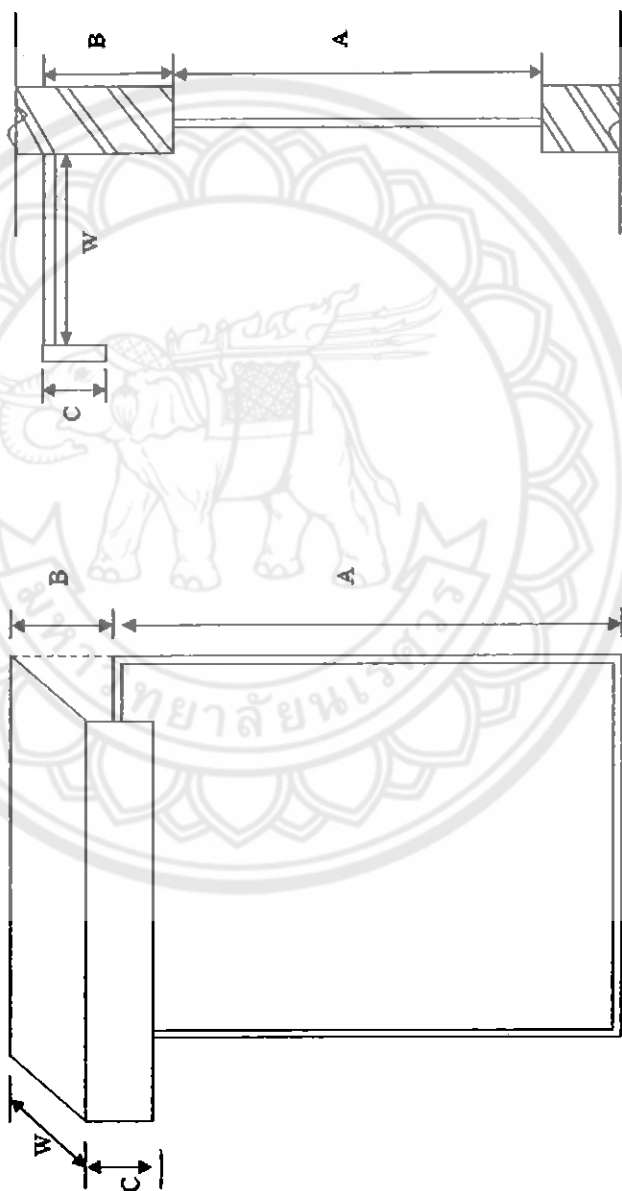
ตารางที่ 10. ค่าสัมประสิทธิ์การบังแดด (SC) ของอุปกรณ์บังแดดแบบแนวนอน (Overhang)

ทิศทางที่คำนวณค่าสัมประสิทธิ์การบังแดด

ทิศทาง		ทิศทางที่คำนวณค่าสัมประสิทธิ์การบังแดด																		
ส่วน		อัตราส่วน B.A																		
W:A	0.0	0.1	0.2	0.3	0.4	0.5	0.0	0.1	0.2	0.3	0.4	0.5	0.0	0.1	0.2	0.3	0.4	0.5		
0	1.0006	1.0006	1.0006	1.0006	1.0006	1.0006	1.0006	1.0006	1.0006	1.0006	1.0006	1.0006	1.0006	1.0006	1.0006	1.0006	1.0006	1.0006	1.0005	
0.1	0.8911	0.9506	0.9777	0.9840	0.9914	0.9962	0.8686	0.9425	0.9701	0.9856	0.9975	0.9985	0.8894	0.9545	0.9763	0.9857	0.9889	0.9913	0.8939	0.9592
0.2	0.8058	0.8782	0.8925	0.9410	0.9561	0.9670	0.615	0.8452	0.9039	0.9364	0.9531	0.9669	0.8057	0.8855	0.9306	0.9559	0.9689	0.9790	0.8070	0.8863
0.3	0.7511	0.8266	0.8746	0.9048	0.9247	0.9386	0.6645	0.7638	0.8257	0.8770	0.9138	0.9304	0.7336	0.8178	0.8766	0.9146	0.9401	0.9558	0.7381	0.8208
0.4	0.7101	0.7869	0.8404	0.8771	0.9027	0.9208	0.6336	0.7136	0.7769	0.8274	0.8681	0.8989	0.6756	0.7586	0.8223	0.8697	0.9029	0.9276	0.6827	0.7666
0.5	0.6763	0.7538	0.8102	0.8512	0.8811	0.9052	0.5876	0.6680	0.7330	0.7862	0.8304	0.8572	0.6315	0.7130	0.7788	0.8295	0.8682	0.8960	0.6555	0.7171
0.6	0.6485	0.7258	0.7836	0.8276	0.8607	0.8857	0.5475	0.6277	0.6937	0.7485	0.7946	0.8338	0.5929	0.6473	0.7415	0.7952	0.8368	0.8696	0.5988	0.6786
0.7	0.6257	0.7021	0.7608	0.8062	0.8418	0.8691	0.5155	0.5952	0.6596	0.7153	0.7629	0.8034	0.5619	0.6403	0.7078	0.7643	0.8093	0.8455	0.5693	0.6484
0.8	0.6066	0.6824	0.7411	0.7875	0.8245	0.8537	0.4886	0.5640	0.6304	0.6887	0.7351	0.7767	0.5373	0.6137	0.6783	0.7347	0.7824	0.8205	0.5437	0.6218
0.9	0.5909	0.6654	0.7244	0.7711	0.8091	0.8395	0.4776	0.5494	0.6030	0.6595	0.7084	0.7507	0.5180	0.5922	0.6554	0.7107	0.7581	0.7982	0.5236	0.5982
1.0	0.5778	0.6514	0.7098	0.7567	0.7953	0.8265	0.4700	0.5350	0.5891	0.6360	0.6845	0.7273	0.5009	0.5745	0.6370	0.6906	0.7384	0.7783	0.5067	0.5798

ทิศทาง		ทิศทางที่คำนวณค่าสัมประสิทธิ์การบังแดด																		
ส่วน		อัตราส่วน B.A																		
W:A	0.0	0.1	0.2	0.3	0.4	0.5	0.0	0.1	0.2	0.3	0.4	0.5	0.0	0.1	0.2	0.3	0.4	0.5		
0	1.0007	1.0007	1.0007	1.0007	1.0007	1.0007	1.0007	1.0007	1.0007	1.0007	1.0007	1.0007	1.0007	1.0007	1.0007	1.0007	1.0007	1.0007	1.0005	
0.1	0.8905	0.9535	0.9756	0.9856	0.9905	0.9934	0.8829	0.9524	0.9771	0.9866	0.9916	0.9941	0.8924	0.9549	0.9869	0.9888	0.9909	0.9940	0.8859	0.9541
0.2	0.8092	0.8831	0.9281	0.9524	0.9662	0.9759	0.7889	0.8713	0.9226	0.9515	0.9677	0.9783	0.8107	0.8872	0.9721	0.9872	0.9872	0.9764	0.7923	0.8737
0.3	0.7463	0.8238	0.8798	0.9145	0.9373	0.9529	0.726	0.8166	0.8582	0.9011	0.9294	0.9495	0.7495	0.8286	0.9260	0.9146	0.9577	0.9525	0.7141	0.7965
0.4	0.6978	0.7770	0.8359	0.8778	0.9075	0.9284	0.6489	0.7334	0.8007	0.8517	0.8890	0.9153	0.7011	0.7812	0.8776	0.8797	0.9083	0.9288	0.6546	0.7375
0.5	0.6604	0.7397	0.7994	0.8446	0.8783	0.9044	0.5991	0.6802	0.7499	0.8043	0.8483	0.8817	0.6638	0.7424	0.8351	0.8479	0.8812	0.9059	0.6030	0.6859
0.6	0.6297	0.7088	0.7698	0.8145	0.8543	0.8819	0.5588	0.6396	0.7022	0.7562	0.8089	0.8480	0.6346	0.7131	0.7973	0.8202	0.8563	0.8848	0.5631	0.6427
0.7	0.6069	0.6857	0.7452	0.7942	0.8335	0.8636	0.5249	0.6020	0.6640	0.7262	0.7753	0.8154	0.6110	0.6888	0.7657	0.7960	0.8356	0.8647	0.5308	0.6091
0.8	0.5884	0.6647	0.7249	0.7739	0.8144	0.8467	0.4998	0.5746	0.6391	0.6952	0.7449	0.7868	0.5922	0.6682	0.7405	0.7784	0.8177	0.8485	0.5053	0.5798
0.9	0.5728	0.6480	0.7085	0.7572	0.7973	0.8306	0.4782	0.5499	0.6135	0.6686	0.7168	0.7603	0.5774	0.6521	0.7190	0.7612	0.8015	0.8337	0.4848	0.5576
1.0	0.5596	0.6341	0.6941	0.7430	0.7836	0.8167	0.4619	0.5318	0.5921	0.6473	0.6947	0.7375	0.5651	0.6391	0.7009	0.7468	0.7871	0.8201	0.4666	0.5375

รูปที่ 2ก. อุปกรณ์บังคับแวนอนผสมแบบหักมุม





ตารางที่ 3 ก. ค่าสัมประสิทธิ์การบังแดด (SC) ของอุปกรณ์บังแดดแบบนอนผสมแบบพักมุม

ใบกรณีที่ C/A = 0.2

ทิศทางที่ต่างกันไป

อัตราส่วน	ทิศทางเหนือ																							
	0.0000	0.1000	0.2000	0.3000	0.4000	0.5000	0.6000	0.7000	0.8000	0.9000	1.0000													
0	0.0000	0.1000	0.2000	0.3000	0.4000	0.5000	0.6000	0.7000	0.8000	0.9000	1.0000	0.0000	0.1000	0.2000	0.3000	0.4000	0.5000	0.6000	0.7000	0.8000	0.9000	1.0000		
0.1	0.8469	0.9076	0.9560	0.9951	0.9664	0.9778	0.8257	0.8988	0.9299	0.9512	0.9679	0.9730	0.8384	0.9028	0.9288	0.9449	0.9545	0.9628	0.8641	0.9302	0.9556	0.9750	0.9782	0.9645
0.2	0.7692	0.8422	0.8858	0.9151	0.9349	0.9496	0.7277	0.8098	0.8702	0.9061	0.9264	0.9436	0.7616	0.8401	0.8874	0.9169	0.9350	0.9504	0.7813	0.8609	0.9080	0.9591	0.9539	0.9649
0.3	0.7207	0.7967	0.8478	0.8826	0.9062	0.9234	0.6565	0.7348	0.7979	0.8515	0.8905	0.9096	0.6960	0.7783	0.8376	0.8787	0.9078	0.9280	0.7162	0.7988	0.8575	0.9004	0.9240	0.9424
0.4	0.6845	0.7615	0.8173	0.8577	0.8863	0.9072	0.6107	0.6896	0.7535	0.8056	0.8477	0.8800	0.6438	0.7251	0.7890	0.8382	0.8740	0.9113	0.6640	0.7477	0.8125	0.8619	0.8938	0.9179
0.5	0.6547	0.7320	0.7901	0.8340	0.8663	0.8880	0.5694	0.6485	0.7158	0.7680	0.8129	0.8306	0.6045	0.6845	0.7500	0.8021	0.8428	0.8734	0.6195	0.7008	0.7681	0.8250	0.8609	0.8915
0.6	0.6301	0.7072	0.7663	0.8124	0.8473	0.8743	0.5336	0.6126	0.6784	0.7358	0.7803	0.8199	0.5701	0.6496	0.7165	0.7712	0.8142	0.8491	0.5852	0.6646	0.7314	0.7866	0.8279	0.8624
0.7	0.6102	0.6881	0.7487	0.7929	0.8299	0.8588	0.5032	0.5816	0.6477	0.7058	0.7515	0.7922	0.5425	0.6192	0.6865	0.7432	0.7892	0.8270	0.5578	0.6364	0.7024	0.7577	0.8014	0.8373
0.8	0.5932	0.6687	0.7281	0.7759	0.8140	0.8444	0.4805	0.5551	0.6213	0.6790	0.7260	0.7676	0.5209	0.5962	0.6605	0.7172	0.7635	0.8046	0.5338	0.6115	0.6876	0.7539	0.7782	0.8157
0.9	0.5794	0.6536	0.7144	0.7609	0.7997	0.8311	0.4710	0.5465	0.6080	0.6650	0.7017	0.7439	0.5042	0.5776	0.6408	0.6964	0.7440	0.7849	0.5150	0.5892	0.6547	0.7113	0.7571	0.7961
1.0	0.5678	0.6415	0.7001	0.7478	0.7870	0.8191	0.4645	0.5291	0.5835	0.6307	0.6792	0.7218	0.4891	0.5620	0.6244	0.6782	0.7263	0.7668	0.4992	0.5720	0.6348	0.6900	0.7378	0.7778
อัตราส่วน B.A																								
อัตราส่วน	ทิศทางเหนือ																							
	0.0000	0.1000	0.2000	0.3000	0.4000	0.5000	0.6000	0.7000	0.8000	0.9000	1.0000													
0	0.0000	0.1000	0.2000	0.3000	0.4000	0.5000	0.6000	0.7000	0.8000	0.9000	1.0000	0.0000	0.1000	0.2000	0.3000	0.4000	0.5000	0.6000	0.7000	0.8000	0.9000	1.0000		
0.1	0.8344	0.8975	0.9251	0.9435	0.9559	0.9652	0.8499	0.9190	0.9466	0.9601	0.9683	0.9736	0.8580	0.9217	0.9494	0.9647	0.9748	0.9814	0.8427	0.9112	0.9400	0.9562	0.9668	0.9743
0.2	0.7634	0.8387	0.8849	0.9145	0.9339	0.9491	0.7621	0.8439	0.8967	0.9283	0.9466	0.9591	0.7812	0.8583	0.9042	0.9327	0.9513	0.9638	0.7545	0.8354	0.8873	0.9196	0.9415	0.9552
0.3	0.7089	0.7877	0.8438	0.8820	0.9083	0.9282	0.6908	0.7739	0.8364	0.8812	0.9107	0.9320	0.7243	0.8037	0.8583	0.8964	0.9227	0.9404	0.6818	0.7654	0.8287	0.8749	0.9066	0.9291
0.4	0.6670	0.7454	0.8039	0.8504	0.8825	0.9066	0.6312	0.7150	0.7829	0.8351	0.8732	0.9002	0.6796	0.7597	0.8200	0.8633	0.8944	0.9174	0.6273	0.7090	0.7756	0.8282	0.8676	0.8973
0.5	0.6354	0.7137	0.7745	0.8219	0.8574	0.8858	0.5849	0.6652	0.7333	0.7907	0.8353	0.8692	0.6454	0.7240	0.7861	0.8334	0.8687	0.8954	0.5797	0.6614	0.7291	0.7842	0.8289	0.8646
0.6	0.6097	0.6881	0.7498	0.7991	0.8371	0.8664	0.5472	0.6274	0.6952	0.7514	0.7980	0.8375	0.6191	0.6974	0.7588	0.8074	0.8450	0.8751	0.5454	0.6218	0.6880	0.7455	0.7994	0.8320
0.7	0.5910	0.6670	0.7290	0.7791	0.8194	0.8505	0.5153	0.6020	0.6589	0.7168	0.7662	0.8045	0.5979	0.6753	0.7371	0.7868	0.8256	0.8560	0.5142	0.5911	0.6562	0.7130	0.7604	0.8056
0.8	0.5754	0.6509	0.7113	0.7612	0.8024	0.8355	0.4916	0.5660	0.6307	0.6873	0.7373	0.7793	0.5809	0.6567	0.7183	0.7685	0.8068	0.8406	0.4910	0.5645	0.6286	0.6849	0.7331	0.8835
0.9	0.5618	0.6363	0.6968	0.7461	0.7866	0.8206	0.4712	0.5426	0.6064	0.6619	0.7103	0.7541	0.5774	0.6422	0.7027	0.7526	0.7957	0.8266	0.4726	0.5445	0.6070	0.6613	0.7111	0.7522
1.0	0.5501	0.6241	0.6840	0.7332	0.7740	0.8167	0.4560	0.5256	0.5862	0.6418	0.6894	0.7323	0.5567	0.6206	0.6804	0.7393	0.7801	0.8139	0.4563	0.5263	0.5878	0.6409	0.6888	0.7313



ตารางที่ 16. ค่าสัมประสิทธิ์การบังแดด (SC) ของอุปกรณ์บังแดดแบบแนวอนผสมแบบหักมุม

ใบกรณีที่ C/A = 0.4

ทิศทางที่ตั้งกับผู้

อัตราส่วน	ทิศทางที่ตั้งกับผู้															
	0.0000	0.1000	0.2000	0.3000	0.4000	0.5000	0.6000	0.7000	0.8000	0.9000	1.0000	1.1000	1.2000	1.3000	1.4000	1.5000
0	0.0000	0.1000	0.2000	0.3000	0.4000	0.5000	0.6000	0.7000	0.8000	0.9000	1.0000	1.1000	1.2000	1.3000	1.4000	1.5000
0.1	0.8064	0.8631	0.8916	0.9121	0.9517	0.9469	0.7883	0.8585	0.8870	0.9277	0.9386	0.8369	0.9016	0.9259	0.9399	0.9534
0.2	0.7364	0.8074	0.8493	0.8790	0.9032	0.9239	0.6988	0.7784	0.8360	0.8707	0.8926	0.7584	0.8365	0.8824	0.9102	0.9314
0.3	0.6937	0.7678	0.8175	0.8525	0.8794	0.9012	0.6330	0.7089	0.7699	0.8225	0.8627	0.7841	0.8669	0.9155	0.9400	0.9599
0.4	0.6621	0.7373	0.7918	0.8322	0.8632	0.8878	0.5923	0.6688	0.7305	0.7816	0.8243	0.8382	0.7301	0.7936	0.8407	0.8761
0.5	0.6358	0.7115	0.7685	0.8121	0.8462	0.8735	0.5536	0.6324	0.6956	0.7485	0.7957	0.8324	0.6957	0.7659	0.8248	0.8745
0.6	0.6142	0.6898	0.7479	0.7958	0.8300	0.8591	0.5235	0.6006	0.6645	0.7187	0.7651	0.8052	0.5738	0.6519	0.7226	0.7911
0.7	0.5968	0.6715	0.7302	0.7769	0.8148	0.8454	0.4954	0.5728	0.6375	0.6922	0.7396	0.7807	0.6256	0.7008	0.7744	0.8396
0.8	0.5819	0.6562	0.7147	0.7622	0.8010	0.8328	0.4739	0.5478	0.6151	0.6688	0.7169	0.7577	0.6023	0.6766	0.7526	0.8145
0.9	0.5698	0.6430	0.7017	0.7491	0.7885	0.8209	0.4654	0.5304	0.5936	0.6460	0.6950	0.7373	0.5081	0.5814	0.6461	0.7016
1.0	0.5595	0.6320	0.6901	0.7377	0.7773	0.8101	0.4594	0.5237	0.5777	0.6348	0.6736	0.7163	0.4933	0.5652	0.6273	0.6823

อัตราส่วน	ทิศทางที่ตั้งกับผู้															
	0.0000	0.1000	0.2000	0.3000	0.4000	0.5000	0.6000	0.7000	0.8000	0.9000	1.0000	1.1000	1.2000	1.3000	1.4000	1.5000
0	0.0000	0.1000	0.2000	0.3000	0.4000	0.5000	0.6000	0.7000	0.8000	0.9000	1.0000	1.1000	1.2000	1.3000	1.4000	1.5000
0.1	0.7841	0.8442	0.8691	0.8875	0.9053	0.9231	0.8213	0.8881	0.9135	0.9268	0.9578	0.9472	0.8260	0.8884	0.9149	0.9316
0.2	0.7236	0.7957	0.8391	0.8681	0.8907	0.9112	0.7395	0.8192	0.8700	0.9009	0.9206	0.9359	0.7545	0.8301	0.8747	0.9038
0.3	0.6769	0.7527	0.8064	0.8438	0.8723	0.8956	0.6729	0.7541	0.8147	0.8585	0.8889	0.9121	0.7017	0.7796	0.8352	0.8714
0.4	0.6415	0.7170	0.7751	0.8188	0.8526	0.8792	0.6169	0.6989	0.7652	0.8167	0.8554	0.8836	0.6607	0.7394	0.7985	0.8418
0.5	0.6150	0.6909	0.7496	0.7959	0.8325	0.8651	0.5734	0.6523	0.7191	0.7757	0.8206	0.8556	0.6295	0.7067	0.7678	0.8150
0.6	0.5935	0.6697	0.7299	0.7784	0.8171	0.8479	0.5377	0.6168	0.6835	0.7392	0.7859	0.8261	0.6057	0.6828	0.7453	0.7917
0.7	0.5779	0.6525	0.7130	0.7624	0.8051	0.8354	0.5073	0.5850	0.6493	0.7066	0.7562	0.7951	0.5866	0.6630	0.7240	0.7733
0.8	0.5650	0.6391	0.6984	0.7474	0.7888	0.8228	0.4848	0.5584	0.6225	0.6787	0.7288	0.7714	0.5715	0.6461	0.7070	0.7570
0.9	0.5531	0.6264	0.6858	0.7344	0.7749	0.8095	0.4655	0.5361	0.5993	0.6546	0.7031	0.7473	0.5596	0.6332	0.6950	0.7427
1.0	0.5426	0.6155	0.6745	0.7232	0.7640	0.7979	0.4510	0.5201	0.5802	0.6356	0.6834	0.7267	0.5496	0.6227	0.6820	0.7308



ตารางที่ 6ก. ค่าสัมประสิทธิ์การบังแดด (SC) ของอุปกรณ์บังแดดแบบนอนผสมแบบทึบมุม

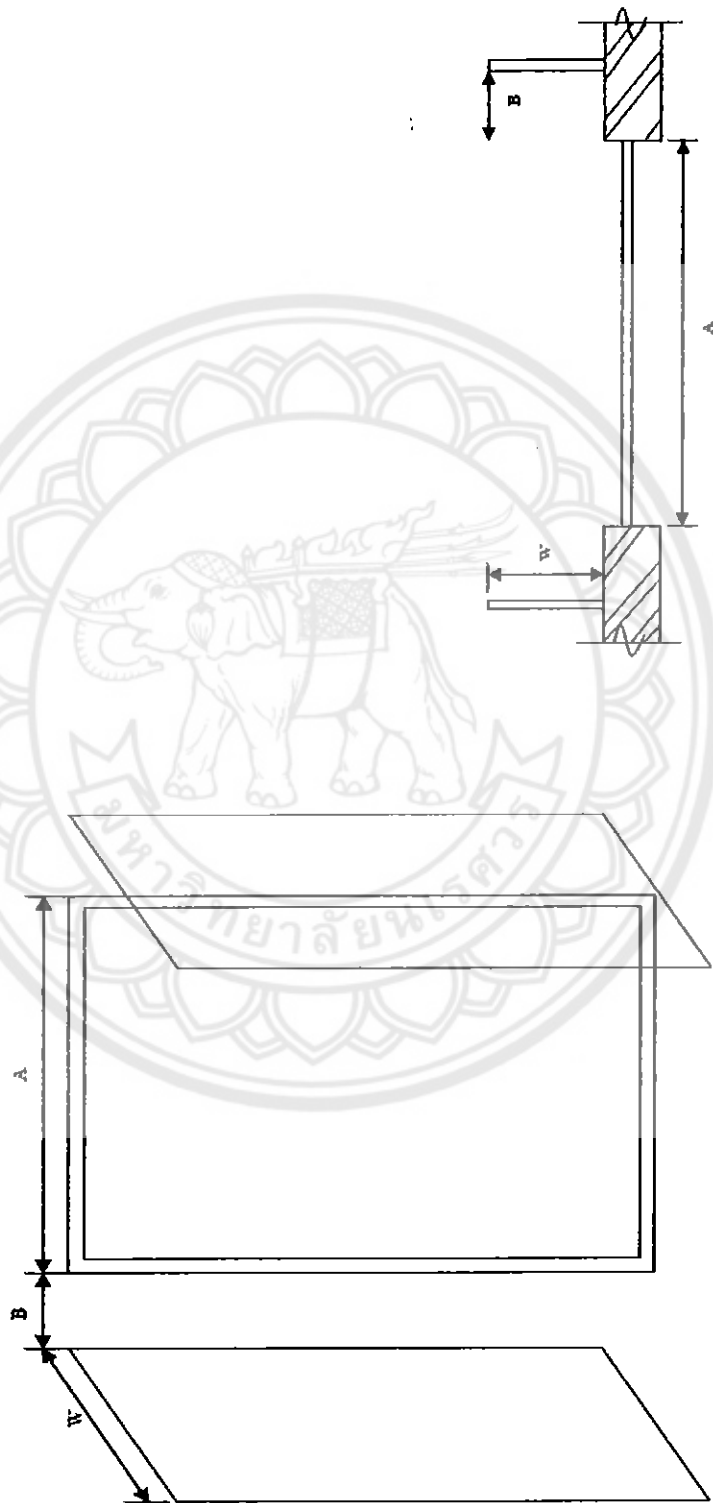
ใบกรณี C/A = 0.5

ทิศใต้

อัตราส่วน	ทิศเหนือ																																																																																																																																																																																																																																																																																																																																																																																																																																																																																																																																																																																																																																																																																																																																																																																																																																																																																																																																																																																																																																
	0.1000	0.2000	0.3000	0.4000	0.5000	0.6000	0.7000	0.8000	0.9000	1.0000	1.1000																																																																																																																																																																																																																																																																																																																																																																																																																																																																																																																																																																																																																																																																																																																																																																																																																																																																																																																																																																																																																						
0	0.0000	0.1000	0.2000	0.3000	0.4000	0.5000	0.6000	0.7000	0.8000	0.9000	1.0000	1.1000	1.2000	1.3000	1.4000	1.5000	1.6000	1.7000	1.8000	1.9000	2.0000	2.1000	2.2000	2.3000	2.4000	2.5000	2.6000	2.7000	2.8000	2.9000	3.0000	3.1000	3.2000	3.3000	3.4000	3.5000	3.6000	3.7000	3.8000	3.9000	4.0000	4.1000	4.2000	4.3000	4.4000	4.5000	4.6000	4.7000	4.8000	4.9000	5.0000																																																																																																																																																																																																																																																																																																																																																																																																																																																																																																																																																																																																																																																																																																																																																																																																																																																																																																																																																																														
0.1	0.7878	0.8454	0.8710	0.8904	0.9092	0.9284	0.9478	0.9662	0.9845	1.0028	1.0208	1.0388	1.0568	1.0748	1.0928	1.1108	1.1288	1.1468	1.1648	1.1828	1.2008	1.2188	1.2368	1.2548	1.2728	1.2908	1.3088	1.3268	1.3448	1.3628	1.3808	1.3988	1.4168	1.4348	1.4528	1.4708	1.4888	1.5068	1.5248	1.5428	1.5608	1.5788	1.5968	1.6148	1.6328	1.6508	1.6688	1.6868	1.7048	1.7228	1.7408	1.7588	1.7768	1.7948	1.8128	1.8308	1.8488	1.8668	1.8848	1.9028	1.9208	1.9388	1.9568	1.9748	1.9928	2.0108	2.0288	2.0468	2.0648	2.0828	2.1008	2.1188	2.1368	2.1548	2.1728	2.1908	2.2088	2.2268	2.2448	2.2628	2.2808	2.2988	2.3168	2.3348	2.3528	2.3708	2.3888	2.4068	2.4248	2.4428	2.4608	2.4788	2.4968	2.5148	2.5328	2.5508	2.5688	2.5868	2.6048	2.6228	2.6408	2.6588	2.6768	2.6948	2.7128	2.7308	2.7488	2.7668	2.7848	2.8028	2.8208	2.8388	2.8568	2.8748	2.8928	2.9108	2.9288	2.9468	2.9648	2.9828	3.0008	3.0188	3.0368	3.0548	3.0728	3.0908	3.1088	3.1268	3.1448	3.1628	3.1808	3.1988	3.2168	3.2348	3.2528	3.2708	3.2888	3.3068	3.3248	3.3428	3.3608	3.3788	3.3968	3.4148	3.4328	3.4508	3.4688	3.4868	3.5048	3.5228	3.5408	3.5588	3.5768	3.5948	3.6128	3.6308	3.6488	3.6668	3.6848	3.7028	3.7208	3.7388	3.7568	3.7748	3.7928	3.8108	3.8288	3.8468	3.8648	3.8828	3.9008	3.9188	3.9368	3.9548	3.9728	3.9908	4.0088	4.0268	4.0448	4.0628	4.0808	4.0988	4.1168	4.1348	4.1528	4.1708	4.1888	4.2068	4.2248	4.2428	4.2608	4.2788	4.2968	4.3148	4.3328	4.3508	4.3688	4.3868	4.4048	4.4228	4.4408	4.4588	4.4768	4.4948	4.5128	4.5308	4.5488	4.5668	4.5848	4.6028	4.6208	4.6388	4.6568	4.6748	4.6928	4.7108	4.7288	4.7468	4.7648	4.7828	4.8008	4.8188	4.8368	4.8548	4.8728	4.8908	4.9088	4.9268	4.9448	4.9628	4.9808	4.9988	5.0168	5.0348	5.0528	5.0708	5.0888	5.1068	5.1248	5.1428	5.1608	5.1788	5.1968	5.2148	5.2328	5.2508	5.2688	5.2868	5.3048	5.3228	5.3408	5.3588	5.3768	5.3948	5.4128	5.4308	5.4488	5.4668	5.4848	5.5028	5.5208	5.5388	5.5568	5.5748	5.5928	5.6108	5.6288	5.6468	5.6648	5.6828	5.7008	5.7188	5.7368	5.7548	5.7728	5.7908	5.8088	5.8268	5.8448	5.8628	5.8808	5.8988	5.9168	5.9348	5.9528	5.9708	5.9888	6.0068	6.0248	6.0428	6.0608	6.0788	6.0968	6.1148	6.1328	6.1508	6.1688	6.1868	6.2048	6.2228	6.2408	6.2588	6.2768	6.2948	6.3128	6.3308	6.3488	6.3668	6.3848	6.4028	6.4208	6.4388	6.4568	6.4748	6.4928	6.5108	6.5288	6.5468	6.5648	6.5828	6.6008	6.6188	6.6368	6.6548	6.6728	6.6908	6.7088	6.7268	6.7448	6.7628	6.7808	6.7988	6.8168	6.8348	6.8528	6.8708	6.8888	6.9068	6.9248	6.9428	6.9608	6.9788	6.9968	7.0148	7.0328	7.0508	7.0688	7.0868	7.1048	7.1228	7.1408	7.1588	7.1768	7.1948	7.2128	7.2308	7.2488	7.2668	7.2848	7.3028	7.3208	7.3388	7.3568	7.3748	7.3928	7.4108	7.4288	7.4468	7.4648	7.4828	7.5008	7.5188	7.5368	7.5548	7.5728	7.5908	7.6088	7.6268	7.6448	7.6628	7.6808	7.6988	7.7168	7.7348	7.7528	7.7708	7.7888	7.8068	7.8248	7.8428	7.8608	7.8788	7.8968	7.9148	7.9328	7.9508	7.9688	7.9868	8.0048	8.0228	8.0408	8.0588	8.0768	8.0948	8.1128	8.1308	8.1488	8.1668	8.1848	8.2028	8.2208	8.2388	8.2568	8.2748	8.2928	8.3108	8.3288	8.3468	8.3648	8.3828	8.4008	8.4188	8.4368	8.4548	8.4728	8.4908	8.5088	8.5268	8.5448	8.5628	8.5808	8.5988	8.6168	8.6348	8.6528	8.6708	8.6888	8.7068	8.7248	8.7428	8.7608	8.7788	8.7968	8.8148	8.8328	8.8508	8.8688	8.8868	8.9048	8.9228	8.9408	8.9588	8.9768	8.9948	9.0128	9.0308	9.0488	9.0668	9.0848	9.1028	9.1208	9.1388	9.1568	9.1748	9.1928	9.2108	9.2288	9.2468	9.2648	9.2828	9.3008	9.3188	9.3368	9.3548	9.3728	9.3908	9.4088	9.4268	9.4448	9.4628	9.4808	9.4988	9.5168	9.5348	9.5528	9.5708	9.5888	9.6068	9.6248	9.6428	9.6608	9.6788	9.6968	9.7148	9.7328	9.7508	9.7688	9.7868	9.8048	9.8228	9.8408	9.8588	9.8768	9.8948	9.9128	9.9308	9.9488	9.9668	9.9848	10.0028	10.0208	10.0388	10.0568	10.0748	10.0928	10.1108	10.1288	10.1468	10.1648	10.1828	10.2008	10.2188	10.2368	10.2548	10.2728	10.2908	10.3088	10.3268	10.3448	10.3628	10.3808	10.3988	10.4168	10.4348	10.4528	10.4708	10.4888	10.5068	10.5248	10.5428	10.5608	10.5788	10.5968	10.6148	10.6328	10.6508	10.6688	10.6868	10.7048	10.7228	10.7408	10.7588	10.7768	10.7948	10.8128	10.8308	10.8488	10.8668	10.8848	10.9028	10.9208	10.9388	10.9568	10.9748	10.9928	11.0108	11.0288	11.0468	11.0648	11.0828	11.1008	11.1188	11.1368	11.1548	11.1728	11.1908	11.2088	11.2268	11.2448	11.2628	11.2808	11.2988	11.3168	11.3348	11.3528	11.3708	11.3888	11.4068	11.4248	11.4428	11.4608	11.4788	11.4968	11.5148	11.5328	11.5508	11.5688	11.5868	11.6048	11.6228	11.6408	11.6588	11.6768	11.6948	11.7128	11.7308	11.7488	11.7668	11.7848	11.8028	11.8208	11.8388	11.8568	11.8748	11.8928	11.9108	11.9288	11.9468	11.9648	11.9828	11.0008	11.0188	11.0368	11.0548	11.0728	11.0908	11.1088	11.1268	11.1448	11.1628	11.1808	11.1988	11.2168	11.2348	11.2528	11.2708	11.2888	11.3068	11.3248	11.3428	11.3608	11.3788	11.3968	11.4148	11.4328	11.4508	11.4688	11.4868	11.5048	11.5228	11.5408	11.5588	11.5768	11.5948	11.6128	11.6308	11.6488	11.6668	11.6848	11.7028	11.7208	11.7388	11.7568	11.7748	11.7928	11.8108	11.8288	11.8468	11.8648	11.8828	11.9008	11.9188	11.9368	11.9548	11.9728	11.9908	12.0088	12.0268	12.0448	12.0628	12.0808	12.0988	12.1168	12.1348	12.1528	12.1708	12.1888	12.2068	12.2248	12.2428	12.2608	12.2788	12.2968	12.3148	12.3328	12.3508	12.3688	12.3868	12.4048	12.4228	12.4408	12.4588	12.4768	12.4948	12.5128	12.5308	12.5488	12.5668	12.5848	12.6028	12.6208	12.6388	12.6568	12.6748	12.6928	12.7108	12.7288	12.7468	12.7648	12.7828	12.8008	12.8188	12.8368	12.8548	12.8728	12.8908	12.9088	12.9268	12.9448	12.9628	12.9808	12.9988	13.0168	13.0348	13.0528	13.0708	13.0888	13.1068	13.1248	13.1428	13.1608	13.1788	13.1968	13.2148	13.2328	13.2508	13.2688	13.2868	13.3048	13.3228	13.3408	13.3588	13.3768	13.3948	13.4128	13.4308	13.4488	13.4668	13.4848	13.5028	13.5208	13.5388	13.5568	13.5748	13.5928	13.6108	13.6288	13.6468	13.6648	13.6828	13.7008	13.7188	13.7368	13.7548	13.7728	13.7908	13.8088	13.8268	13.8448	13.8628	13.8808	13.8988	13.9168	13.9348	13.9528	13.9708	13.9888	14.0068	14.0248	14.0428	14.0608	14.0788	14.0968	14.1148	14.1328	14.1508	14.1688	14.1868	14.2048	14.2228	14.2408	14.2588	14.2768	14.2948	14.3128	14.3308	14.3488	14.3668	14.3848	14.4028	14.4208	14.4388	14.4568	14.4748	14.4928	14.5108	14.5288	14.5468	14.5648	14.5828	14.6008	14.6188	14.6368	14.6548	14.6728	14.6908	14.7088	14.7268	14.7448	14.7628	14.7808	14.7988	14.8168	14.8348	14.8528	14.8708	14.8888	14.9068	14.9248	14.9428	14.9608	14.9788	14.9968	15.0148	15.0328	15.0508	15.0688	15.0868	15.1048	15.1228	15.1408	15.1588	15.1768	15.1948	15.2128	15.2308	15.2488	15.2668	15.2848	15.3028	15.3208	15.3388	15.3568	15.3748	15.3928	15.4108	15.4288	15.4468	15.4648	15.4828	15.5008	15.5188	15.5368	15.5548	15.5728	15.5908	15.6088	15.6268	15.6448	15.6628	15.6808	15.6988	15.7168	15.7348	15.7528	15.7708	15.7888	15.8068	15.8248	15.8428	15.8608	15.8788	15.8968	15.9148	15.9328	15.9508	15.9688	15.9868	16.0048	16.0228	16.0408	16.0588	16.0768	16.0948	16.1128	16.1308	16.1488	16.1668	16.1848	16.2028	16.2208	16.2388	16.2568	16.2748	16.2928	16.3108	16.3288	16.3468	16.3648	16.3828	16.4008	16.4188	16.4368	16.4548	16.4728	16.4908	16.5088	16.5268	16.5448	16.5628	16.5808	16.5988	16.6168	16.6348	16.6528	16.6708	16.6888	16.7068	16.7248	16.7428	16.7608	16.7788	16.7968	16.8148	16.8328	16.8508	16.8688	16.8868	16.9048	16.9228	16.9408	16.9588	16.9768	16.9948	17.0128	17.0308	17.0488	17.0668	17.0848	17.1028	17.1208	17.1388	17.1568	17.1748	17.1928	17.2108	17.2288	17.2468	17.2648	17.2828	17.3008	17.3188	17.3368	17.3548	17.3728	17.3908	17.4088	17.4268	17.4448	17.4628	17.4808	17.4988	17.5168	17.5348	17.5528	17.5708	17.5888	17.6068	17.6248	17.6428	17.6608	17.6788	17.69



รูปที่ 3ก. อุปกรณ์บังคับแถบแนวตั้ง (Fin)





รูปที่ 4ก. อุปกรณ์บังแดดแบบผสม (Setback)

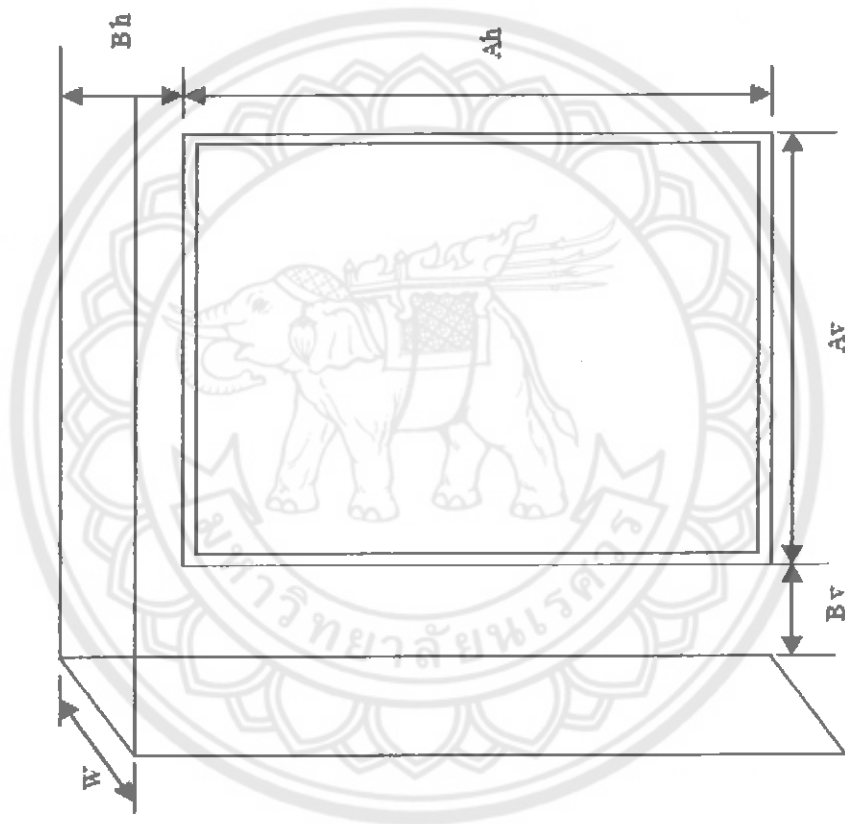








TABLE 1 (Continued)

North latitude wall facing	Solar time, h												Max. CLTD, h	Min. CLTD, h	Max. CLTD	Min. CLTD	Difference CLTD											
	01:00	02:00	03:00	04:00	05:00	06:00	07:00	08:00	09:00	10:00	11:00	12:00						13:00	14:00	15:00	16:00	17:00	18:00	19:00	20:00	21:00	22:00	23:00
N	10	10	6	7	5	4	3	4	5	6	7	9	11	13	15	17	16	20	21	23	20	18	16	14	20	3	22	19
NE	13	11	9	7	6	4	6	0	15	20	24	25	25	26	26	26	26	26	26	24	22	19	17	15	16	4	26	22
E	14	12	10	8	6	6	6	11	16	26	33	36	38	37	36	34	33	32	30	28	25	22	20	17	13	5	35	33
SE	14	12	10	8	7	6	5	8	12	19	25	31	35	37	37	36	34	33	31	28	26	23	20	17	15	5	37	32
S	15	12	10	8	7	6	4	3	4	5	9	13	19	24	28	32	34	33	31	29	26	23	20	17	15	3	34	31
SW	22	18	15	12	10	8	6	5	6	7	9	12	18	24	32	38	43	45	44	44	40	35	30	26	19	5	45	40
W	23	21	17	14	11	9	7	6	6	7	9	14	20	27	36	43	49	49	49	43	40	34	29	20	14	6	49	43
NW	20	17	14	11	9	7	6	5	5	5	6	8	10	13	16	20	26	32	37	38	35	32	28	24	20	5	38	33
Group E Walls																												
N	6	6	3	2	2	1	2	4	6	7	9	11	14	17	19	21	22	23	24	23	20	16	13	11	10	1	23	21
NE	8	7	5	3	2	1	1	6	14	23	28	30	29	28	27	27	27	26	24	22	19	16	13	11	10	1	30	29
E	10	7	6	4	3	2	2	6	17	28	38	44	45	43	39	36	34	32	30	27	24	21	17	13	11	1	45	41
SE	10	7	6	4	3	2	4	10	19	28	36	41	43	42	38	36	34	31	28	26	21	18	15	12	12	2	43	41
S	10	6	6	4	3	2	1	1	3	7	13	20	27	34	38	39	38	35	31	26	22	18	15	12	16	1	35	38
SW	11	11	9	6	5	4	2	2	4	5	8	11	17	25	36	44	50	53	52	46	37	28	23	18	14	2	53	54
W	17	13	10	7	5	4	3	3	4	6	8	11	14	20	28	39	49	57	60	60	54	43	34	27	21	9	63	57
NW	14	10	8	6	4	3	2	2	3	5	8	10	13	16	21	27	35	42	46	43	35	28	22	16	13	2	40	44
Group F Walls																												
N	3	2	1	0	-1	2	7	9	9	12	15	15	21	23	24	24	25	26	22	15	11	9	7	5	18	-1	26	27
NE	3	2	1	0	-1	9	27	30	39	55	50	30	26	28	27	27	25	22	18	14	11	9	7	5	9	1	38	40
E	4	2	1	0	-1	11	31	47	54	58	40	40	33	31	30	29	27	24	19	15	12	10	8	6	10	-1	55	56
SE	4	2	1	0	-1	5	18	32	42	48	51	45	42	36	32	30	27	24	19	15	12	10	8	6	11	-1	51	52
S	4	2	1	0	-1	0	1	5	12	22	31	39	45	46	43	37	31	25	20	15	12	10	8	5	14	-1	46	47
SW	5	4	3	1	0	0	2	5	8	12	16	26	38	50	59	63	61	52	37	24	17	13	10	8	8	0	63	63
W	5	3	2	1	0	1	2	0	8	11	13	18	27	41	56	67	73	67	48	29	20	13	11	8	17	1	72	71
NW	3	2	1	0	-1	0	2	5	8	11	15	15	21	27	37	47	53	53	41	25	17	13	10	7	15	0	63	65
Group G Walls																												

1. Direct application of the table without adjustments: Values in the table were calculated using the same conditions for walls as outlined for the roof CLTD table, Table 1. These values may be used for all normal air-conditioning situations, usually without correction (except as noted below) when the load is calculated for the hottest weather. For totally shaded walls, use the unshaded adjustment values.

2. Adjustments to table values: The following equation makes adjustments for conditions other than those listed in note 1.

$$CLTD_{adj} = (CLTD + LMR + (78 - T_a) - (T_w - 78))$$

where CLTD is from Table 1 at the wall orientation.  
 LMR is the latitude-month correction from Table 4.  
 T<sub>a</sub> is a color adjustment factor applied after first making month-latitude adjustment.  
 K = 1.0 if dark colored or light in an industrial area.  
 K = 0.85 if permanently medium-colored rural area.  
 K = 0.65 if permanently light-colored rural area.  
 Credit should not be taken for wall color other than dark except where permeance of color is established by experience, as in rural areas or where color is triple smoke.

Source: Copyright 1989, American Society of Heating, Refrigerating and Air-Conditioning Engineers, Inc., www.ashrae.org. Abstracted by permission from ASHRAE Handbook, 1989 Fundamentals, Chap. 26, Table 31. Subsequent editions provide more extensive data.

**TABLE 2 CLTD Correction for Latitude and Month Applied to Walls and Roofs, North Latitudes**

Lat.	Month	N	NNE NNW	NE NW	ENE WNW	E W	ESE WSW	SE SW	SSE SSW	S	HOR $\frac{1}{10}$ LM.
8	Dec	4	-6	-6	-6	-3	0	4	8	12	-5
	Jan/Nov	-3	-5	-6	-5	-2	0	3	6	10	4
	Feb/Oct	3	4	3	3	1	1	1	2	4	1
	Mar/Sept	-3	-2	-1	1	1	-2	-2	3	4	0
	Apr/Aug	2	2	2	0	-1	-4	5	7	7	1
	May/Jul	7	5	4	0	2	5	7	9	7	-2
	Jun	9	6	4	0	2	6	8	9	-7	-2
16	Dec	4	6	-8	-8	-4	1	4	9	13	-9
	Jan/Nov	4	-8	-7	7	-4	-1	4	8	12	-7
	Feb/Oct	-3	-5	-5	4	-2	0	2	5	7	4
	Mar/Sept	-3	3	-2	2	-1	-1	0	0	0	1
	Apr/Aug	-1	0	-1	-1	-1	3	3	-5	6	0
	May/Jul	4	3	3	0	1	-4	5	7	7	0
	Jun	6	4	4	1	-1	-4	-6	-8	-7	0
24	Dec	5	-7	-9	10	7	3	3	9	13	13
	Jan/Nov	4	-6	-8	9	6	3	3	9	13	-11
	Feb/Oct	4	-5	-6	6	-3	-1	3	7	10	-7
	Mar/Sept	-3	-4	-3	-3	-1	-1	1	2	4	3
	Apr/Aug	-2	-1	0	-1	-1	-2	1	2	3	0
	May/Jul	1	2	2	0	0	-3	-3	-5	-6	1
	Jun	3	3	3	1	0	-3	-4	-6	-6	1
32	Dec	5	-7	-10	-11	-8	-5	2	9	12	17
	Jan/Nov	-5	-7	-9	-11	-8	-4	2	9	12	16
	Feb/Oct	-4	-6	-7	-8	-4	2	4	8	11	10
	Mar/Sept	-3	-4	-4	-4	-2	-1	3	5	7	-5
	Apr/Aug	2	-2	-1	-2	0	-1	0	1	1	1
	May/Jul	1	1	1	0	0	-1	-1	-3	-3	1
	Jun	1	2	2	1	0	-2	-2	-4	4	2
40	Dec	-6	-8	-10	13	-10	7	0	7	10	-21
	Jan/Nov	-5	-7	-10	12	-9	-6	1	8	11	19
	Feb/Oct	-5	-7	-8	-9	-6	3	3	8	12	14
	Mar/Sept	-4	-5	-5	-6	-3	-1	4	7	10	8
	Apr/Aug	-2	-3	-2	-2	0	0	2	3	4	-3
	May/Jul	0	0	0	0	0	0	0	0	1	1
	Jun	1	1	1	0	1	0	0	-1	-1	2
48	Dec	-6	-8	-11	-14	-13	-10	-3	2	6	26
	Jan/Nov	-6	-8	-11	-13	-11	-8	-1	5	8	-24
	Feb/Oct	-5	-7	-10	-11	-8	5	1	8	11	-18
	Mar/Sept	-4	-6	-6	-7	-4	-1	4	8	11	11
	Apr/Aug	-3	-3	-3	-3	-1	0	4	6	7	-5
	May/Jul	0	-1	0	0	1	1	3	3	4	0
	Jun	1	1	2	1	2	1	2	2	3	2
56	Dec	-7	-9	-12	-16	-16	-14	-9	5	3	28
	Jan/Nov	-6	-8	-11	-15	-14	-12	6	-1	2	-27
	Feb/Oct	-6	-8	-10	-12	-10	-7	0	6	9	-22
	Mar/Sept	-5	-6	7	-8	-5	2	4	8	12	15
	Apr/Aug	3	-4	-4	4	-1	1	5	7	9	8
	May/Jul	0	0	0	0	2	2	5	6	7	2
	Jun	3	1	2	1	3	3	4	5	6	1

(1) Corrections in this table are in °F. The correction is applied directly to the CLTD for a wall or roof as given in Tables 1 and 3.

(2) The CLTD correction given in this table is not applicable to Table 6, Cooling Load Temperature Differences for Conduction through Glass.

(3) For south latitudes, replace Jan. through Dec. by July through June.

SOURCE: Copyright 1989, American Society of Heating, Refrigerating and Air Conditioning Engineers, Inc., www.ashrae.org. Abstracted by permission from ASHRAE Handbook, 1989 Fundamentals, Chap. 26, Table 32.



TABLE 3 Cooling Load Factors for Glass without Interior Shading, North Latitudes (Continued)

Fenes- tration facing	Room con- struction	Solar time, h																							
		1	2	3	4	5	6	7	8	9	10	11	12	13	14	15	16	17	18	19	20	21	22	23	24
N Shaded	L	0.17	0.14	0.11	0.09	0.08	0.33	0.42	0.48	0.56	0.63	0.71	0.76	0.80	0.82	0.79	0.75	0.75	0.74	0.61	0.48	0.38	0.31	0.25	0.20
	M	0.23	0.20	0.19	0.16	0.14	0.34	0.41	0.48	0.53	0.59	0.65	0.70	0.73	0.75	0.74	0.75	0.75	0.73	0.59	0.46	0.42	0.36	0.31	0.27
	H	0.25	0.23	0.21	0.20	0.19	0.38	0.45	0.49	0.55	0.60	0.65	0.69	0.72	0.72	0.70	0.70	0.70	0.70	0.57	0.46	0.39	0.34	0.31	0.28
NNE	L	0.06	0.05	0.04	0.03	0.03	0.26	0.43	0.47	0.44	0.41	0.40	0.39	0.39	0.36	0.33	0.33	0.39	0.26	0.20	0.16	0.13	0.10	0.09	0.07
	M	0.09	0.08	0.07	0.06	0.06	0.24	0.39	0.42	0.39	0.37	0.36	0.36	0.36	0.34	0.33	0.33	0.39	0.27	0.22	0.18	0.16	0.14	0.12	0.10
	H	0.11	0.10	0.09	0.09	0.08	0.20	0.39	0.42	0.39	0.36	0.35	0.34	0.34	0.33	0.32	0.31	0.25	0.25	0.21	0.18	0.16	0.14	0.13	0.12
NE	L	0.04	0.04	0.03	0.02	0.02	0.21	0.41	0.51	0.51	0.45	0.39	0.36	0.33	0.31	0.29	0.27	0.26	0.24	0.19	0.15	0.12	0.10	0.08	0.06
	M	0.07	0.06	0.05	0.04	0.04	0.21	0.36	0.44	0.45	0.40	0.36	0.33	0.31	0.30	0.28	0.26	0.23	0.21	0.17	0.15	0.13	0.11	0.09	0.08
	H	0.09	0.08	0.08	0.07	0.07	0.21	0.37	0.44	0.44	0.39	0.34	0.31	0.29	0.27	0.26	0.24	0.22	0.20	0.17	0.14	0.13	0.12	0.11	0.10
ENE	L	0.04	0.03	0.03	0.02	0.02	0.20	0.35	0.45	0.48	0.41	0.36	0.33	0.30	0.28	0.26	0.25	0.22	0.20	0.17	0.14	0.12	0.11	0.09	0.08
	M	0.07	0.06	0.05	0.04	0.04	0.20	0.35	0.45	0.48	0.41	0.36	0.33	0.30	0.28	0.26	0.25	0.22	0.20	0.17	0.14	0.12	0.11	0.09	0.08
	H	0.09	0.08	0.08	0.07	0.07	0.22	0.36	0.46	0.49	0.45	0.38	0.33	0.30	0.27	0.25	0.23	0.21	0.19	0.16	0.14	0.13	0.12	0.11	0.10
E	L	0.04	0.03	0.03	0.02	0.02	0.19	0.37	0.51	0.57	0.50	0.42	0.37	0.32	0.29	0.25	0.22	0.22	0.19	0.15	0.12	0.10	0.08	0.06	0.05
	M	0.07	0.06	0.06	0.05	0.05	0.18	0.33	0.44	0.50	0.51	0.40	0.39	0.35	0.29	0.26	0.26	0.23	0.21	0.17	0.15	0.13	0.11	0.09	0.08
	H	0.09	0.08	0.09	0.08	0.08	0.20	0.34	0.45	0.49	0.43	0.36	0.32	0.29	0.26	0.24	0.22	0.22	0.19	0.17	0.15	0.13	0.12	0.11	0.10
ESE	L	0.05	0.04	0.03	0.03	0.02	0.17	0.34	0.49	0.58	0.51	0.46	0.41	0.36	0.32	0.28	0.25	0.24	0.20	0.16	0.13	0.10	0.09	0.07	0.06
	M	0.08	0.07	0.06	0.05	0.05	0.16	0.31	0.43	0.51	0.54	0.51	0.44	0.39	0.35	0.32	0.29	0.26	0.22	0.19	0.16	0.14	0.12	0.11	0.09
	H	0.10	0.09	0.09	0.08	0.08	0.19	0.32	0.43	0.50	0.52	0.49	0.41	0.36	0.32	0.29	0.26	0.24	0.21	0.18	0.16	0.14	0.13	0.12	0.11
SE	L	0.05	0.04	0.04	0.03	0.03	0.13	0.28	0.43	0.55	0.62	0.63	0.47	0.48	0.42	0.37	0.33	0.28	0.24	0.19	0.15	0.12	0.10	0.08	0.07
	M	0.09	0.08	0.07	0.06	0.05	0.14	0.26	0.38	0.48	0.54	0.56	0.51	0.46	0.40	0.36	0.33	0.29	0.25	0.21	0.18	0.16	0.14	0.12	0.10
	H	0.11	0.10	0.10	0.09	0.08	0.17	0.28	0.40	0.49	0.53	0.63	0.48	0.41	0.36	0.30	0.30	0.27	0.24	0.20	0.18	0.16	0.14	0.13	0.12
SSE	L	0.07	0.05	0.04	0.04	0.03	0.06	0.15	0.29	0.43	0.55	0.63	0.64	0.60	0.52	0.45	0.40	0.40	0.35	0.29	0.23	0.18	0.15	0.13	0.08
	M	0.11	0.09	0.09	0.07	0.06	0.06	0.16	0.26	0.38	0.48	0.55	0.57	0.54	0.46	0.43	0.39	0.35	0.30	0.25	0.21	0.16	0.16	0.14	0.12
	H	0.12	0.11	0.11	0.10	0.09	0.12	0.19	0.29	0.40	0.49	0.54	0.56	0.51	0.44	0.39	0.35	0.31	0.27	0.23	0.20	0.16	0.16	0.15	0.13
S	L	0.08	0.07	0.05	0.04	0.04	0.06	0.09	0.14	0.22	0.34	0.48	0.59	0.65	0.63	0.59	0.50	0.43	0.36	0.28	0.22	0.18	0.15	0.12	0.10
	M	0.12	0.11	0.09	0.08	0.07	0.08	0.11	0.14	0.21	0.31	0.42	0.52	0.57	0.58	0.47	0.41	0.35	0.29	0.25	0.20	0.18	0.15	0.14	0.12
	H	0.13	0.12	0.12	0.11	0.10	0.11	0.14	0.17	0.24	0.33	0.43	0.51	0.56	0.55	0.50	0.43	0.37	0.32	0.26	0.22	0.20	0.18	0.16	0.15
SSW	L	0.10	0.08	0.07	0.06	0.05	0.06	0.09	0.11	0.16	0.19	0.27	0.30	0.32	0.32	0.26	0.22	0.22	0.19	0.15	0.12	0.10	0.08	0.06	0.05
	M	0.14	0.12	0.11	0.09	0.08	0.09	0.11	0.13	0.15	0.18	0.25	0.25	0.25	0.25	0.25	0.25	0.25	0.25	0.25	0.25	0.25	0.25	0.25	0.25
	H	0.15	0.14	0.13	0.12	0.11	0.12	0.14	0.16	0.18	0.21	0.27	0.37	0.40	0.53	0.57	0.55	0.49	0.40	0.32	0.26	0.23	0.20	0.19	0.16
SW	L	0.12	0.10	0.08	0.06	0.05	0.06	0.08	0.10	0.12	0.14	0.16	0.24	0.36	0.49	0.60	0.66	0.66	0.58	0.43	0.33	0.27	0.22	0.19	0.14
	M	0.15	0.14	0.12	0.10	0.09	0.09	0.10	0.12	0.13	0.15	0.17	0.23	0.33	0.44	0.53	0.58	0.59	0.53	0.41	0.33	0.28	0.24	0.21	0.18
	H	0.15	0.14	0.13	0.12	0.11	0.12	0.13	0.14	0.16	0.17	0.19	0.25	0.34	0.44	0.52	0.56	0.56	0.49	0.37	0.30	0.26	0.21	0.19	0.17
WSW	L	0.12	0.10	0.08	0.07	0.05	0.06	0.07	0.09	0.10	0.13	0.13	0.17	0.26	0.40	0.52	0.62	0.66	0.61	0.44	0.34	0.27	0.22	0.19	0.15
	M	0.15	0.13	0.12	0.10	0.09	0.09	0.10	0.11	0.12	0.13	0.14	0.17	0.24	0.35	0.46	0.54	0.58	0.55	0.42	0.34	0.28	0.24	0.21	0.18
	H	0.15	0.14	0.13	0.12	0.11	0.11	0.12	0.13	0.14	0.15	0.16	0.19	0.26	0.36	0.46	0.54	0.58	0.55	0.42	0.34	0.28	0.24	0.21	0.18
W	L	0.12	0.10	0.08	0.06	0.05	0.06	0.07	0.06	0.10	0.11	0.12	0.14	0.20	0.31	0.45	0.57	0.64	0.61	0.44	0.34	0.27	0.22	0.19	0.14
	M	0.15	0.13	0.11	0.10	0.09	0.09	0.09	0.11	0.12	0.13	0.15	0.19	0.29	0.40	0.50	0.59	0.60	0.56	0.41	0.33	0.27	0.23	0.20	0.17
	H	0.14	0.13	0.12	0.11	0.10	0.11	0.12	0.13	0.14	0.14	0.16	0.21	0.30	0.40	0.49	0.54	0.54	0.52	0.36	0.30	0.24	0.21	0.19	0.16
WNW	L	0.12	0.10	0.08	0.06	0.05	0.06	0.07	0.09	0.10	0.12	0.13	0.15	0.17	0.26	0.40	0.53	0.63	0.62	0.44	0.34	0.27	0.22	0.19	0.14
	M	0.15	0.13	0.11	0.10	0.09	0.09	0.10	0.12	0.13	0.14	0.15	0.17	0.24	0.35	0.47	0.55	0.55	0.55	0.41	0.33	0.27	0.23	0.20	0.17
	H	0.14	0.13	0.12	0.11	0.10	0.11	0.12	0.13	0.14	0.15	0.16	0.17	0.18	0.25	0.36	0.46	0.53	0.52	0.38	0.30	0.26	0.21	0.19	0.16
NW	L	0.11	0.09	0.08	0.06	0.05	0.06	0.08	0.10	0.12	0.14	0.16	0.17	0.19	0.21	0.33	0.47	0.59	0.60	0.42	0.33	0.26	0.21	0.17	0.14
	M	0.14	0.12	0.11	0.09	0.08	0.09	0.10	0.11	0.13	0.14	0.16	0.17	0.18	0.21	0.30	0.42	0.51	0.54	0.39	0.32	0.26	0.21	0.19	0.16
	H	0.14	0.12	0.11	0.10	0.10	0.10	0.12	0.13	0.15	0.16	0.18	0.19	0.21	0.22	0.30	0.41	0.50	0.51	0.34	0.29	0.23	0.20	0.19	0.16
L	0.12	0.09	0.08	0.06	0.05	0.07	0.11	0.14	0.16	0.22	0.25	0.27	0.29	0.30	0.44	0.57	0.62	0.62	0.44	0.33	0.26	0.21	0.17	0.15	

TABLE 3 (Continued)

Face construction	Solar time, h																							
	1	2	3	4	5	6	7	8	9	10	11	12	13	14	15	16	17	18	19	20	21	22	23	24
DNW	0.16	0.19	0.11	0.10	0.09	0.10	0.12	0.15	0.16	0.21	0.23	0.26	0.27	0.28	0.31	0.30	0.31	0.30	0.28	0.25	0.22	0.23	0.20	0.17
A	0.14	0.13	0.12	0.11	0.10	0.11	0.13	0.15	0.17	0.20	0.23	0.25	0.26	0.28	0.31	0.30	0.29	0.28	0.25	0.22	0.23	0.20	0.18	0.16
H	0.12	0.09	0.07	0.06	0.05	0.07	0.14	0.24	0.36	0.44	0.58	0.65	0.72	0.74	0.77	0.67	0.59	0.47	0.37	0.29	0.24	0.19	0.16	0.13
DNW	0.15	0.14	0.12	0.11	0.09	0.11	0.15	0.24	0.33	0.43	0.52	0.58	0.64	0.67	0.66	0.62	0.56	0.47	0.34	0.24	0.24	0.24	0.21	0.18
A	0.11	0.10	0.08	0.07	0.06	0.08	0.15	0.25	0.36	0.43	0.52	0.58	0.62	0.64	0.62	0.58	0.51	0.42	0.33	0.24	0.24	0.23	0.21	0.19

Face construction	Solar time, h																							
	1	2	3	4	5	6	7	8	9	10	11	12	13	14	15	16	17	18	19	20	21	22	23	24
N	0.04	0.07	0.06	0.06	0.06	0.07	0.73	0.86	0.68	0.73	0.60	0.86	0.89	0.89	0.89	0.86	0.82	0.76	0.78	0.91	0.15	0.13	0.11	0.10
NNE	0.03	0.03	0.02	0.02	0.02	0.03	0.64	0.77	0.62	0.42	0.37	0.37	0.37	0.36	0.35	0.32	0.28	0.25	0.17	0.06	0.05	0.04	0.04	0.04
NE	0.03	0.02	0.02	0.02	0.02	0.02	0.56	0.76	0.74	0.58	0.37	0.29	0.27	0.26	0.24	0.22	0.20	0.16	0.12	0.06	0.05	0.04	0.03	0.03
ENE	0.03	0.02	0.02	0.02	0.02	0.02	0.42	0.76	0.80	0.71	0.52	0.31	0.26	0.24	0.22	0.20	0.18	0.15	0.11	0.06	0.05	0.04	0.03	0.03
E	0.03	0.02	0.02	0.02	0.02	0.02	0.47	0.72	0.80	0.76	0.62	0.41	0.27	0.24	0.22	0.20	0.17	0.14	0.11	0.06	0.05	0.04	0.03	0.03
ESE	0.03	0.03	0.02	0.02	0.02	0.02	0.41	0.67	0.75	0.60	0.72	0.54	0.34	0.27	0.24	0.21	0.19	0.15	0.12	0.07	0.06	0.04	0.04	0.03
SE	0.03	0.03	0.02	0.02	0.02	0.02	0.30	0.57	0.74	0.81	0.79	0.68	0.49	0.33	0.28	0.25	0.22	0.18	0.13	0.08	0.07	0.06	0.04	0.04
SSE	0.04	0.03	0.03	0.03	0.03	0.02	0.12	0.31	0.54	0.72	0.81	0.81	0.71	0.54	0.38	0.32	0.27	0.22	0.16	0.09	0.08	0.07	0.06	0.04
S	0.04	0.04	0.03	0.03	0.03	0.03	0.09	0.16	0.23	0.38	0.58	0.75	0.83	0.80	0.68	0.50	0.35	0.27	0.19	0.11	0.09	0.08	0.07	0.06
SSW	0.05	0.04	0.04	0.03	0.03	0.03	0.09	0.14	0.18	0.22	0.27	0.43	0.63	0.78	0.84	0.80	0.66	0.46	0.25	0.13	0.11	0.09	0.08	0.06
SW	0.05	0.05	0.04	0.04	0.04	0.03	0.07	0.11	0.14	0.16	0.19	0.22	0.38	0.59	0.75	0.83	0.81	0.69	0.45	0.16	0.12	0.10	0.09	0.06
WSW	0.05	0.05	0.04	0.04	0.04	0.03	0.07	0.10	0.12	0.14	0.16	0.17	0.28	0.44	0.64	0.78	0.84	0.78	0.55	0.16	0.12	0.10	0.09	0.06
W	0.05	0.05	0.04	0.04	0.04	0.03	0.06	0.09	0.11	0.13	0.15	0.16	0.17	0.31	0.53	0.72	0.82	0.81	0.61	0.16	0.12	0.10	0.09	0.06
WNW	0.05	0.05	0.04	0.05	0.05	0.04	0.07	0.10	0.12	0.14	0.16	0.17	0.18	0.22	0.43	0.65	0.80	0.84	0.66	0.16	0.12	0.10	0.08	0.06
NW	0.05	0.04	0.04	0.03	0.03	0.03	0.07	0.11	0.14	0.17	0.19	0.20	0.21	0.22	0.30	0.52	0.73	0.82	0.69	0.16	0.12	0.10	0.08	0.06
NNW	0.05	0.05	0.04	0.03	0.03	0.03	0.11	0.17	0.22	0.26	0.30	0.32	0.33	0.34	0.34	0.39	0.61	0.82	0.76	0.17	0.12	0.10	0.08	0.06
NOR	0.05	0.05	0.04	0.04	0.04	0.03	0.12	0.27	0.44	0.59	0.72	0.81	0.85	0.85	0.81	0.71	0.58	0.42	0.25	0.10	0.08	0.07	0.06	0.06

L = Light construction: frame exterior wall, 2-in concrete floor slab, approximately 30 lb of material/ft<sup>2</sup> of floor area.  
M = Medium construction: 4-in concrete exterior wall, 4-in concrete floor slab, approximately 70 lb of building materials/ft<sup>2</sup> of floor area.  
H = Heavy construction: 6-in concrete exterior wall, 6-in concrete floor slab, approximately 120 lb of building materials/ft<sup>2</sup> of floor area.  
SOURCE: Copyright 1989, American Society of Heating, Refrigerating and Air Conditioning Engineers, Inc., www.ashrae.org. Abstracted by permission from ASHRAE Handbook, 1989 Fundamentals, Chap. 26, Table 36.

Cooling Load Factors for Glass with Interior Shading, North Latitudes (Table 37)

Face construction	Solar time, h																							
	1	2	3	4	5	6	7	8	9	10	11	12	13	14	15	16	17	18	19	20	21	22	23	24
N	0.04	0.07	0.06	0.06	0.06	0.07	0.73	0.86	0.68	0.73	0.60	0.86	0.89	0.89	0.89	0.86	0.82	0.76	0.78	0.91	0.15	0.13	0.11	0.10
NNE	0.03	0.03	0.02	0.02	0.02	0.03	0.64	0.77	0.62	0.42	0.37	0.37	0.37	0.36	0.35	0.32	0.28	0.25	0.17	0.06	0.05	0.04	0.04	0.04
NE	0.03	0.02	0.02	0.02	0.02	0.02	0.56	0.76	0.74	0.58	0.37	0.29	0.27	0.26	0.24	0.22	0.20	0.16	0.12	0.06	0.05	0.04	0.03	0.03
ENE	0.03	0.02	0.02	0.02	0.02	0.02	0.42	0.76	0.80	0.71	0.52	0.31	0.26	0.24	0.22	0.20	0.18	0.15	0.11	0.06	0.05	0.04	0.03	0.03
E	0.03	0.02	0.02	0.02	0.02	0.02	0.47	0.72	0.80	0.76	0.62	0.41	0.27	0.24	0.22	0.20	0.17	0.14	0.11	0.06	0.05	0.04	0.03	0.03
ESE	0.03	0.03	0.02	0.02	0.02	0.02	0.41	0.67	0.75	0.60	0.72	0.54	0.34	0.27	0.24	0.21	0.19	0.15	0.12	0.07	0.06	0.04	0.04	0.03
SE	0.03	0.03	0.02	0.02	0.02	0.02	0.30	0.57	0.74	0.81	0.79	0.68	0.49	0.33	0.28	0.25	0.22	0.18	0.13	0.08	0.07	0.06	0.04	0.04
SSE	0.04	0.03	0.03	0.03	0.03	0.02	0.12	0.31	0.54	0.72	0.81	0.81	0.71	0.54	0.38	0.32	0.27	0.22	0.16	0.09	0.08	0.07	0.06	0.04
S	0.04	0.04	0.03	0.03	0.03	0.03	0.09	0.16	0.23	0.38	0.58	0.75	0.83	0.80	0.68	0.50	0.35	0.27	0.19	0.11	0.09	0.08	0.07	0.06
SSW	0.05	0.04	0.04	0.03	0.03	0.03	0.09	0.14	0.18	0.22	0.27	0.43	0.63	0.78	0.84	0.80	0.66	0.46	0.25	0.13	0.11	0.09	0.08	0.06
SW	0.05	0.05	0.04	0.04	0.04	0.03	0.07	0.11	0.14	0.16	0.19	0.22	0.38	0.59	0.75	0.83	0.81	0.69	0.45	0.16	0.12	0.10	0.09	0.06
WSW	0.05	0.05	0.04	0.04	0.04	0.03	0.07	0.10	0.12	0.14	0.16	0.17	0.28	0.44	0.64	0.78	0.84	0.78	0.55	0.16	0.12	0.10	0.09	0.06
W	0.05	0.05	0.04	0.04	0.04	0.03	0.06	0.09	0.11	0.13	0.15	0.16	0.17	0.31	0.53	0.72	0.82	0.81	0.61	0.16	0.12	0.10	0.09	0.06
WNW	0.05	0.05	0.04	0.05	0.05	0.04	0.07	0.10	0.12	0.14	0.16	0.17	0.18	0.22	0.43	0.65	0.80	0.84	0.66	0.16	0.12	0.10	0.08	0.06
NW	0.05	0.04	0.04	0.03	0.03	0.03	0.07	0.11	0.14	0.17	0.19	0.20	0.21	0.22	0.30	0.52	0.73	0.82	0.69	0.16	0.12	0.10	0.08	0.06
NNW	0.05	0.05	0.04	0.03	0.03	0.03	0.11	0.17	0.22	0.26	0.30	0.32	0.33	0.34	0.34	0.39	0.61	0.82	0.76	0.17	0.12	0.10	0.08	0.06
NOR	0.05	0.05	0.04	0.04	0.04	0.03	0.12	0.27	0.44	0.59	0.72	0.81	0.85	0.85	0.81	0.71	0.58	0.42	0.25	0.10	0.08	0.07	0.06	0.06

SOURCE: Copyright 1989, American Society of Heating, Refrigerating and Air Conditioning Engineers, Inc., www.ashrae.org. Abstracted by permission from ASHRAE Handbook, 1989 Fundamentals, Chap. 26, Table 30.

TABLE 4 SHADING COEFFICIENTS FOR GLASS WITHOUT OR WITH INTERIOR SHADING DEVICES

Type of Glazing	Nominal Thickness, in. (Each light)	Without Shading	With Interior Shading					
			Venetian Blinds		Roller Shades			
			Medium	Light	Dark	Light	Translucent	
Single glass								
Clear	1/4	0.94	0.74	0.67	0.51	0.39	0.44	
Heat absorbing	1/4	0.69	0.57	0.53	0.45	0.30	0.36	
Double glass								
Clear	1/4	0.81	0.62	0.58	0.71	0.35	0.40	
Heat absorbing	1/4	0.55	0.39	0.36	0.40	0.22	0.30	

Note: Venetian blinds are assumed set at a 45° position. Adapted with permission from the 1993 ASHRAE Handbook - Fundamentals



Performance Data: Clear & Tinted Float Glass

Glass type	Thickness (mm)	Reflection		Transmission		Absorption	Ultraviolet Rays Transmission (%)	Relative heat gain		Winter performance		Summer performance		Sealing Coefficient	
		Upright	45°	Upright	45°			Upright	45°	Upright	45°	Upright	45°		Upright
Clear float glass	3	7	8	39	4	79.3	0.61	2.7	5.0	1.15	1.94	1.01	1.01	1.01	
	4	7	8	39	4	66.2	0.60	2.7	0.69	1.10	1.94	1.01	1.01	1.01	
	5	7	8	34	4	61.0	0.59	2.6	5.30	1.14	1.94	1.01	1.01	1.01	
	6	7	8	32	4	56.5	0.58	2.5	5.41	1.19	1.94	1.01	1.01	1.01	
	8	7	8	30	4	55.5	0.57	2.6	5.47	1.19	1.94	1.01	1.01	1.01	
	10	7	8	26	4	55.1	0.55	2.6	6.29	1.11	1.94	1.01	1.01	1.01	
	12	7	8	22	4	49.0	0.54	2.6	6.70	1.09	1.94	1.01	1.01	1.01	
	14	7	8	20	4	47.7	0.54	2.6	6.70	1.07	1.94	1.01	1.01	1.01	
	16	7	8	19	4	47.5	0.54	2.6	5.65	1.05	1.94	1.01	1.01	1.01	
	18	7	8	17	4	46.2	0.52	2.6	5.73	1.02	1.94	1.01	1.01	1.01	
	Tinted float glass (Coatings)	3	44	59	48	40	15.6	0.40	1.9	5.40	1.13	0.25	0.19	0.19	0.19
		4	44	59	48	40	15.6	0.40	1.9	5.40	1.13	0.25	0.19	0.19	0.19
		5	44	59	48	40	15.6	0.40	1.9	5.40	1.13	0.25	0.19	0.19	0.19
		6	44	59	48	40	15.6	0.40	1.9	5.40	1.13	0.25	0.19	0.19	0.19
		8	44	59	48	40	15.6	0.40	1.9	5.40	1.13	0.25	0.19	0.19	0.19
10		44	59	48	40	15.6	0.40	1.9	5.40	1.13	0.25	0.19	0.19	0.19	
12		44	59	48	40	15.6	0.40	1.9	5.40	1.13	0.25	0.19	0.19	0.19	
14		44	59	48	40	15.6	0.40	1.9	5.40	1.13	0.25	0.19	0.19	0.19	
16		44	59	48	40	15.6	0.40	1.9	5.40	1.13	0.25	0.19	0.19	0.19	
18		44	59	48	40	15.6	0.40	1.9	5.40	1.13	0.25	0.19	0.19	0.19	
20		44	59	48	40	15.6	0.40	1.9	5.40	1.13	0.25	0.19	0.19	0.19	
22		44	59	48	40	15.6	0.40	1.9	5.40	1.13	0.25	0.19	0.19	0.19	
24		44	59	48	40	15.6	0.40	1.9	5.40	1.13	0.25	0.19	0.19	0.19	
26		44	59	48	40	15.6	0.40	1.9	5.40	1.13	0.25	0.19	0.19	0.19	

**REMARKS**

1. The values and performance data shown in the table are measured or calculated rear and not comparable guarantee of each product.
2. Relative heat gain values, shading coefficient, ultraviolet rays transmission, values conforming to ASHRAE American Society of Heating, Refrigerating and Air-Conditioning Engineers.
3. Shading Coefficient is ratio between Solar Heat Gain if the Coefficient Glass and Solar Heat Gain of Clear Float Glass in the same situation.

TABLE 5 Maximum Solar Heat Gain Factors, Btu/(h · ft<sup>2</sup>), for Sunlit Glass, North Latitudes

12°N Lat.										
	N	NNE/ NNW	NE/ NW	ENE/ WNW	E/ W	ESE/ WSW	SE/ SW	SSE/ SSW	S	HOR
Jan.	31	31	63	155	217	246	247	212	182	282
Feb.	34	34	103	186	235	248	220	177	133	286
Mar.	36	58	148	210	240	233	190	124	73	297
Apr.	40	108	178	219	227	200	142	64	40	290
May	60	139	194	220	212	173	106	40	40	280
June	75	149	198	217	204	161	90	40	40	274
July	63	139	191	215	207	168	102	41	41	275
Aug.	42	109	174	212	218	191	135	62	142	282
Sept.	37	57	142	201	229	222	182	121	73	287
Oct.	34	34	103	180	227	238	219	172	130	280
Nov.	32	32	63	153	214	241	243	209	179	280
Dec.	30	30	47	141	207	242	251	223	197	280

16°N Lat.										
	N	NNE/ NNW	NE/ NW	ENE/ WNW	E/ W	ESE/ WSW	SE/ SW	SSE/ SSW	S	HOR
Jan.	30	30	55	147	210	244	251	223	199	248
Feb.	33	33	96	190	231	247	233	188	154	276
Mar.	35	53	140	205	239	235	197	138	93	291
Apr.	39	99	172	216	227	204	150	77	45	289
May	52	132	189	218	215	179	115	45	41	282
June	66	142	194	217	207	167	99	41	41	277
July	55	132	187	214	210	174	111	44	42	277
Aug.	41	100	168	209	219	196	143	74	46	282
Sept.	36	50	134	196	227	224	191	134	93	282
Oct.	33	33	95	174	223	237	225	183	150	270
Nov.	30	30	55	145	206	241	247	220	196	246
Dec.	29	29	41	132	198	241	254	233	212	234

20°N Lat.										
	N	NNE/ NNW	NE/ NW	ENE/ WNW	E/ W	ESE/ WSW	SE/ SW	SSE/ SSW	S	HOR
Jan.	29	29	48	138	201	243	253	233	214	232
Feb.	31	31	88	173	226	244	238	201	174	263
Mar.	34	49	132	200	237	236	206	152	115	284
Apr.	38	92	166	213	228	208	158	91	58	287
May	47	123	184	217	217	184	124	54	42	283
June	59	135	189	216	210	173	108	45	42	279
July	48	124	182	213	212	179	119	53	43	278
Aug.	40	91	162	206	220	200	162	88	57	280
Sept.	36	46	127	191	225	225	199	148	114	275
Oct.	32	32	87	187	217	236	231	196	170	258
Nov.	29	29	48	136	197	239	249	229	211	230
Dec.	27	27	35	122	187	238	254	241	226	217

24°N Lat.										
	N	NNE/ NNW	NE/ NW	ENE/ WNW	E/ W	ESE/ WSW	SE/ SW	SSE/ SSW	S	HOR
Jan.	27	27	41	126	190	240	253	241	227	214
Feb.	30	30	80	165	230	244	243	213	192	249
Mar.	34	45	124	192	234	237	214	168	137	275
Apr.	37	88	159	209	228	213	169	107	75	283
May	43	117	178	214	218	190	132	67	46	282
June	55	127	184	214	212	179	117	55	43	279
July	45	116	176	210	213	185	129	65	46	278
Aug.	38	87	156	203	220	204	162	103	72	277
Sept.	35	42	119	185	222	225	206	163	134	266
Oct.	31	31	79	159	211	237	235	207	187	244
Nov.	27	27	42	126	187	236	249	237	224	213
Dec.	26	26	29	112	180	234	247	247	237	199



## 1. ตำแหน่งและทิศทางของดวงอาทิตย์ ให้คำนวณจากสมการดังต่อไปนี้

1.1 เวลาสุริยะ (solar time) คือ เวลาที่สอดคล้องกับตำแหน่งของดวงอาทิตย์ โดยเวลาที่ตำแหน่งของดวงอาทิตย์ที่มีค่ามุมเงยหรือมุมยกขึ้น (altitude) สูงสุด คือ เวลาเที่ยงสุริยะ (solar noon) เวลาสุริยะ ให้คำนวณจากสมการดังนี้

$$t_s = t_1 - 4(L_{gs} - L_{gl}) + E_{qt} \quad \text{สมการที่ 1.ก.}$$

โดยที่  $t_s$  คือ เวลาสุริยะ

$t_1$  คือ เวลามาตรฐานท้องถิ่น

$L_{gs}$  คือ เส้นแวงหลักมาตรฐานสำหรับประเทศไทยเท่ากับ 105 องศา

ตะวันออก

$L_{gl}$  คือ เส้นแวงของตำแหน่งที่พิจารณาสำหรับประเทศไทย ให้ใช้ค่าเท่ากับ 100.5 องศาตะวันออก

$E_{qt}$  คือ สมการของเวลา (equation of time) หรือผลต่างของเวลาสุริยะกับเวลาปกติ มีหน่วยเป็นนาที

สมการของเวลาคำนวณได้จาก

$$E_{qt} = 9.87(\sin 2B) - 7.53(\cos B) - 1.5(\sin B) \quad \text{สมการที่ 1.2ก.}$$

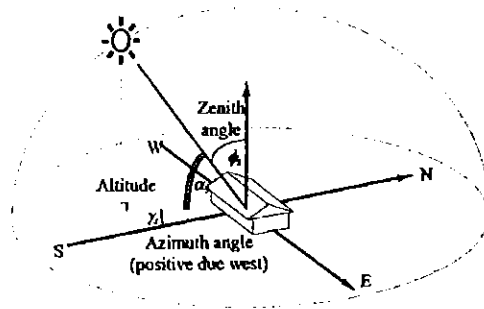
$$B = \frac{(360^\circ)(j_d - 81)}{364} \quad \text{สมการที่ 1.3ก.}$$

โดยที่  $j_d$  คือ วันจูเลียน (Julian date) คือ ลำดับที่ของวันในหนึ่งปี

เช่น 1 = วันที่ 1 มกราคม หรือ 152 = วันที่ 1 มิถุนายน เป็นต้น

### 1.2 ทิศทางของรังสีดวงอาทิตย์

ความสัมพันธ์ทางเรขาคณิตและตำแหน่งดวงอาทิตย์ โดยเฉพาะ มุมอะซิจุค และ มุมอะซิมุท จากพิกัดศูนย์กลางของจุดที่สังเกตบนโลก ดังแสดงในรูป 1ก. ซึ่งอธิบายถึงองค์ประกอบทางเรขาคณิต เพื่อใช้สำหรับการตั้งค่าอ้างอิงพิกัดในทิศทางที่สำคัญ



รูปที่ 1ค. แสดงความสัมพันธ์ทางเรขาคณิตของดวงอาทิตย์อ้างอิงจากจุดบนโลก

$\alpha_s$  : มุมเงยของดวงอาทิตย์ คือมุมที่แนวเส้นตรงซึ่งลากจากจุดบนโลกไปยังดวงอาทิตย์กระทำกับพื้นราบ

$\gamma_s$  : มุมอะซิมุทของดวงอาทิตย์ คือมุมที่ตำแหน่งของดวงอาทิตย์ในแนวระนาบกระทำกับทิศใต้

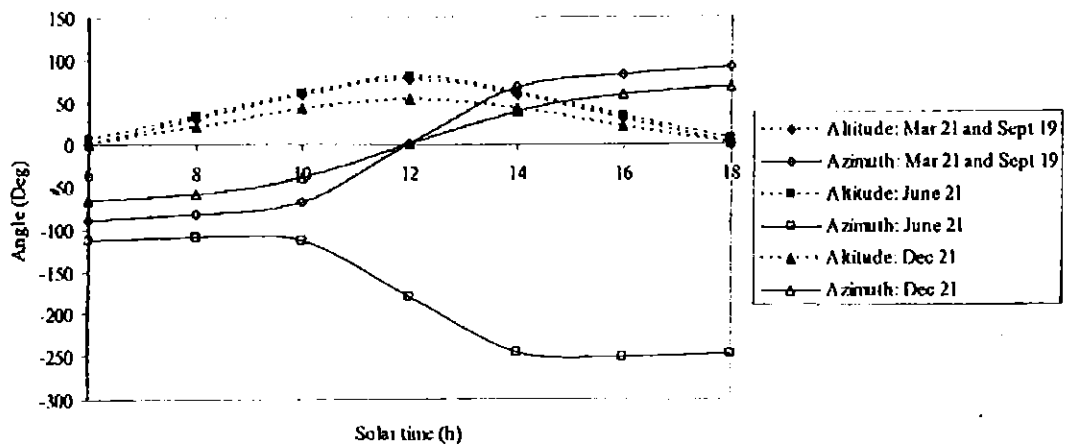
Z : มุมของตำแหน่งดวงอาทิตย์ คือมุมที่แนวเส้นตรงซึ่งลากจากจุดบนโลกไปยังดวงอาทิตย์กระทำกับแนวตั้งฉากของโลกและ ผลรวมของมุมอะซิมุทกับมุมซิมิทจะเท่ากับ  $90^\circ$

เวลาใดก็ตาม เราจะเห็น ดวงอาทิตย์ที่ปรากฏอยู่บนโลก ในตำแหน่งที่แตกต่างกันออกไป โดยจะขึ้นอยู่กับเวลา และสถานที่ที่เราสังเกต โดยในวันที่ 21 มีนาคม ของทุกปี จะเห็นดวงอาทิตย์อยู่ในตำแหน่งเหนือหัวพอดี ( $\alpha_s = 90^\circ$ ,  $\gamma_s = 0^\circ$ ) แต่ที่เราสังเกตที่ละติจูด  $23.5^\circ$  ในฤดูร้อน จะสามารถเห็น ดวงอาทิตย์ทำมุม  $23^\circ$  กับแนวตั้งฉากของโลก ( $\alpha_s = 90^\circ - 23.5^\circ = 66.5^\circ$ ,  $\gamma_s = 0^\circ$ )

กรุงเทพตั้งอยู่ที่ละติจูด  $13.7^\circ$  องศาเหนือ และลองจิจูด  $100.5^\circ$  องศาตะวันออก เมื่อครบกำหนด กรุงเทพจะเห็นดวงอาทิตย์ขึ้นทางทิศเหนือพอดี ในตอนเที่ยงของวันที่ 21 มิถุนายน และจะเห็นพระอาทิตย์ขึ้นทางทิศใต้พอดี ในวันที่ 21 ธันวาคม

ตารางที่ 1ค. แสดงมุมอัลติจูด และมุมอะซิมุท ของดวงอาทิตย์ ณ เวลาต่างๆ ในแต่ละวัน โดยอ้างอิงจาก 4 วัน คือ 21 มีนาคม, 21 มิถุนายน, 21 กันยายน และ 21 ธันวาคม

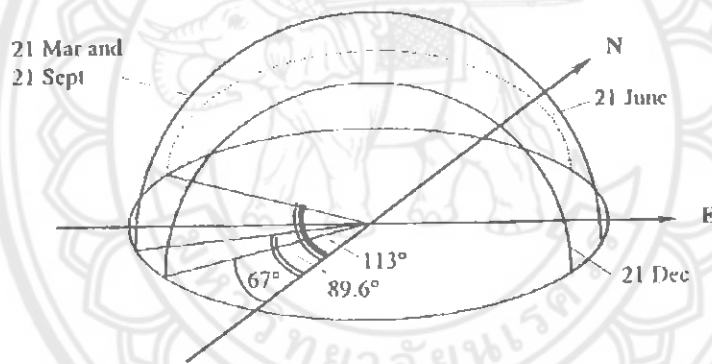
Time (solar)	Mar 21 and Sept 21		June 21		December 21	
	$\alpha_s$	$\gamma_s$	$\alpha_s$	$\gamma_s$	$\alpha_s$	$\gamma_s$
06.00	0.0	-89.6	5.4	-112.8	0.0	-66.6
08.00	29.1	-81.8	32.7	-109.3	20.6	-58.1
10.00	57.3	-67.0	60.0	-113.4	42.7	-38.6
12.00	76.3	0.0	80.3	-180.0	52.9	0.0
14.00	57.3	67.0	60.0	-246.6	42.7	38.6
16.00	29.1	81.8	32.7	-250.7	20.6	58.1
18.00	0.0	89.6	5.4	-247.2	0.0	66.6



รูปที่ 2ค. การหาค่าจากตารางที่ 1 ค มา Plot กราฟ

จากผลการสำรวจในตารางที่ 1 ทำมาวาดเป็นภาพกราฟฟิก ให้เห็นได้อย่างชัดเจน ดังแสดง

ในรูปที่ 1.19



รูปที่ 3ค. แสดงเส้นทางการโคจรของดวงอาทิตย์ ตามวันที่อ้างอิงจากตารางที่ 1 สำหรับ กรุงเทพฯ

1.3 ความสัมพันธ์เชิงคณิตศาสตร์ของตำแหน่งของดวงอาทิตย์

มุมเงยและมุมอะซิμουทของดวงอาทิตย์ สามารถคำนวณได้จากสมการดังนี้

$$\sin \alpha_s = (\sin L_t)(\sin \delta) + (\cos L_t)(\cos \delta)(\cos \omega) \quad \text{สมการที่ 1.4ค.}$$

$$\sin \gamma_s = \frac{(\cos \delta)(\sin \omega)}{(\cos \alpha_s)} \quad \text{สมการที่ 1.5ค.}$$

โดยที่  $L_t$  คือ เส้นรุ้ง (latitude) ของตำแหน่งที่พิจารณา เช่น กรุงเทพมหานครให้ใช้ค่าเท่ากับ 13.7 องศาเหนือ



$\delta$  คือ มุมเบี่ยงของดวงอาทิตย์ หรือมุมเคลิเนชัน (declination angle)

มีหน่วยเป็น เรเดียน (rad)

$\omega$  คือ มุมแทนตำแหน่งของดวงอาทิตย์ก่อนหรือหลังเวลาเที่ยงสุริยะ

(solar hour angle) มีหน่วยเป็น เรเดียน (rad)

$$\omega = \pi(t_s - 12)/12$$

สมการที่ 1.6ก.

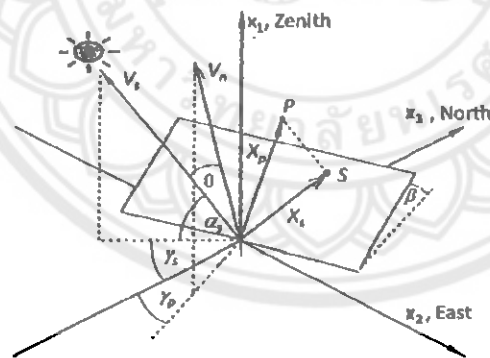
มุมเบี่ยงของดวงอาทิตย์ คือ มุมที่แนวลำแสงอาทิตย์ไปยังจุดกึ่งกลางของโลก กระทำกับระนาบเส้นศูนย์สูตร มุมเบี่ยงของดวงอาทิตย์สำหรับวันจูเลียน ( $j_d$ ) ใดๆ ให้คำนวณจากสมการดังนี้

$$\delta = 23.45 \sin\left(\frac{(360^\circ)(284+j_d)}{365}\right)$$

สมการที่ 1.7ก.

#### 1.4 การคำนวณค่าสัมประสิทธิ์การบังแดดของอุปกรณ์บังแดด

ตำแหน่งและทิศทางของดวงอาทิตย์ ให้คำนวณจากสมการดังนี้



รูปที่ 4ก. ตำแหน่งและทิศทางของระนาบและจุดต่าง ๆ บนระนาบที่สัมพันธ์กับตำแหน่งของดวงอาทิตย์

พิจารณาพิกัด  $(x_1, x_2, x_3)$  ซึ่งถูกกำหนดด้วยเส้นซิมิท (zenith) ทิศตะวันออก และทิศเหนือ เวกเตอร์แสดงทิศทางของดวงอาทิตย์ (โซลาร์เวกเตอร์,  $V_s^x$ ) และเวกเตอร์ของระนาบเอียง ( $V_n^x$ ) ซึ่งตั้งฉากกับระนาบเอียง ให้คำนวณจากสมการดังต่อไปนี้

$$V_s^x = \begin{bmatrix} \sin \alpha_s \\ -\cos \alpha_s \cdot \sin \gamma_s \\ -\cos \alpha_s \cdot \cos \gamma_s \end{bmatrix}, \text{ โขลาร์เวกเตอร์}$$

$$V_n^x = \begin{bmatrix} \cos \beta \\ -\sin \beta \cdot \sin \gamma_p \\ -\sin \beta \cdot \cos \gamma_p \end{bmatrix}, \text{ เวกเตอร์ของระนาบเอียง}$$

เมื่อ  $\theta$  คือมุมระหว่างเวกเตอร์ทั้งสอง ให้คำนวณค่า  $\cos \theta$  จากสมการ  
ดังนี้

$$\cos \theta = (V_s^x, V_n^x) = (\sin \alpha_s)(\cos \beta) + (\cos \alpha_s)(\sin \gamma_s)(\sin \beta)(\sin \gamma_p) + (\cos \alpha_s)(\cos \gamma_s)(\sin \beta)(\cos \gamma_p) \quad \text{สมการที่ 1.8ก.}$$

โดยที่  $\beta$  คือ มุมเอียง (inclination angle) ของระนาบที่พิจารณา

$\gamma_p$  คือ มุมอะซิมุทของระนาบที่พิจารณา (azimuth of surface)

$\cos \theta$  คือ โคไซน์ของมุมระหว่างระนาบที่พิจารณากับทิศทางของดวงอาทิตย์ (โซลาร์เวกเตอร์)

### 1.5 รังสีอาทิตย์บนระนาบที่ไม่มีการบังแดด

กรณีที่ช่องแสงของผนังหรือระนาบใดๆ ไม่มีการบังแดดปริมาณรังสีรวมของดวงอาทิตย์ทั้งหมดที่ตกกระทบลงบนระนาบดังกล่าว ให้คำนวณจากสมการดังนี้

$$E_{et\theta} = E_{es} \cos \theta + E_{ed} \frac{(1 + \cos \beta)}{2} \quad \text{สมการที่ 1.9ก.}$$

โดยที่  $E_{es}$  คือ รังสีตรงของดวงอาทิตย์ มีหน่วยเป็นวัตต์ต่อตารางเมตร ( $\text{w/m}^2$ )

$E_{ed}$  คือ รังสีกระจายของดวงอาทิตย์บนพื้นผิวแนวนอน มีหน่วยเป็นวัตต์ต่อตารางเมตร ( $\text{w/m}^2$ )

### 1.6 ตำแหน่งเกิดเงาเหนือระนาบที่พิจารณา

จากรูปที่ 4ก. หากกำหนดให้  $x_p$  เป็นเวกเตอร์แสดงพิกัดของจุด P ซึ่งอยู่เหนือระนาบที่พิจารณาและให้ระยะทางจากระนาบเอียงถึงจุด P เท่ากับ  $h$  ให้ S เป็นเงาของจุด P ที่ตกลงบน

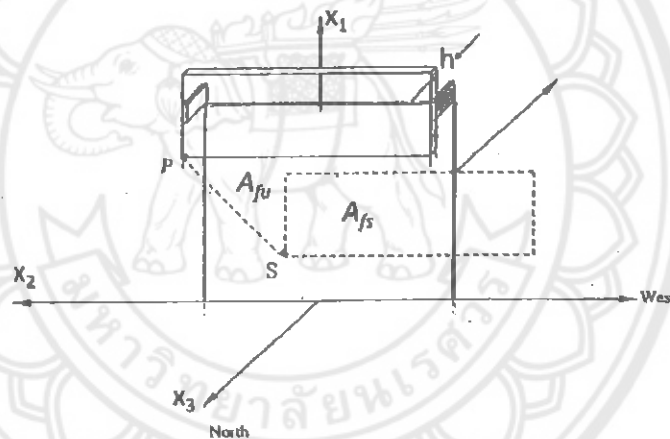
ระนาบที่พิจารณาเมื่อได้รับแสงอาทิตย์ เวกเตอร์  $x_s$  แสดงทิศทางของจุด S เวกเตอร์  $x_p$  และเวกเตอร์  $V_s^x$  มีความสัมพันธ์กันดังนี้

$$x_s = x_p - \frac{hV_s^x}{\cos \theta} \quad \text{สมการที่ 1.10ค.}$$

เงาจะเกิดขึ้นบนระนาบที่พิจารณา ก็ต่อเมื่อจุดที่ทำให้เกิดเงาอยู่เหนือ หรือหน้าระนาบที่พิจารณา และเมื่อดวงอาทิตย์หันเข้าหาระนาบที่พิจารณา

### 1.7 เงาที่เกิดจากอุปกรณ์บังแดด

ให้พิจารณาอุปกรณ์บังแดดแนวนอนที่ติดตั้งอยู่ด้านบนของหน้าต่างในรูปดังนี้



รูปที่ 5ค. การบังแดด โดยอุปกรณ์บังแดดแนวนอนที่ติดตั้งอยู่ด้านบนของหน้าต่าง

หน้าต่างหันไปทางทิศเหนือ จุด P จะอยู่ที่มุมของอุปกรณ์บังแดดถ้าทิศทางของจุด P แทนด้วย  $x_p$  ทิศทางของจุด S หรือจุดเงาที่เกิดขึ้นบนระนาบของหน้าต่างอื่นเนื่องมาจากจุด P แทนด้วย  $x_s$  เวกเตอร์  $x_s$  สามารถได้จากสมการ 1.15 สำหรับกรณีนี้  $h$  คือ ระยะทางระหว่างอุปกรณ์บังแดดกับหน้าต่าง พื้นที่ของเงาที่เกิดขึ้น คือ พื้นที่ที่เกิดจากการต่อจุดของจุดเงาที่เกิดจากมุมแต่ละมุมของอุปกรณ์บังแดด พื้นที่  $A_{fs}$  คือ พื้นที่ที่เกิดเงาบนหน้าต่าง ซึ่งก็คือพื้นที่ที่ไม่ได้รับรังสีตรงจากดวงอาทิตย์ พื้นที่  $A_{fu}$  คือ พื้นที่ที่ไม่เกิดเงาบนหน้าต่าง ทั้งรังสีตรงและบางส่วนของรังสีกระจายของดวงอาทิตย์จึงตกลงบนพื้นที่ส่วน  $A_{fu}$  นี้ ขณะที่เมื่อเฉพาะรังสีกระจายบางส่วนของดวงอาทิตย์เท่านั้นที่ตกลงบนพื้นที่ส่วน  $A_{fs}$

### 1.8 รังสีอาทิตย์ที่ตกกระทบหน้าต่างที่มีอุปกรณ์บังแดด

ถ้าพื้นที่ของหน้าต่างที่ไม่อยู่ภายใต้เงาคือ  $A_{fu}$  และพื้นที่หน้าต่างทั้งหมดคือ  $A_f$  รังสีอาทิตย์ที่ผ่านอุปกรณ์บังแดดมาตกกระทบบนหน้าต่าง ( $E_{ew}$ ) สำหรับหน้าต่างที่มีมุมเอียง  $\beta$  ให้คำนวณจากสมการดังนี้

$$E_{ew} = (A_{fu}/A_f)(E_{es})(\cos \theta) + (E_{ed}) \frac{(1+\cos \beta)}{2} \quad \text{สมการที่ 1.16}$$

### 1.9 สัมประสิทธิ์การบังแดดของอุปกรณ์บังแดดภายนอกอาคาร (SC)

$$SC = \frac{E_{ew}}{E_{et\theta}} \quad \text{สมการที่ 1.17}$$

โดยที่  $E_{ew}$  คือ รังสีอาทิตย์ที่ผ่านอุปกรณ์บังแดดมาตกกระทบบนหน้าต่าง ที่พิจารณา มีหน่วยเป็นวัตต์ต่อ ตารางเมตร ( $w/m^2$ )

$E_{et\theta}$  คือ รังสีรวมของดวงอาทิตย์ทั้งหมดที่ตกกระทบบนหน้าต่างที่พิจารณาเสมือนหนึ่งไม่มีอุปกรณ์บังแดด มีหน่วยเป็นวัตต์ต่อตารางเมตร ( $w/m^2$ ) ค่าเฉลี่ยตลอดปีของค่าสัมประสิทธิ์การบังแดดของอุปกรณ์บังแดด หาได้จากอัตราส่วนของผลรวมของปริมาณรังสีอาทิตย์ที่ผ่านอุปกรณ์บังแดดมาตกกระทบบนหน้าต่างที่พิจารณาตลอดช่วงเวลาการใช้งานอาคารในแต่ละวันของวันอ้างอิง 4 วัน ต่อผลรวมของปริมาณรังสีอาทิตย์ทั้งหมดที่ตกกระทบบนหน้าต่างที่พิจารณาเสมือนหนึ่งไม่มีอุปกรณ์บังแดดในช่วงเวลาเดียวกัน โดยที่วันอ้างอิงทั้ง 4 วัน คือวันที่ 21 มีนาคม, 22 มิถุนายน 23 กันยายน และ 22 ธันวาคม

ค่าเฉลี่ยตลอดปีของค่าสัมประสิทธิ์การบังแดดของอุปกรณ์บังแดด ให้คำนวณจากสมการดังนี้

$$(SC)_y = \frac{(\sum_{h=1}^n E_{ew})_{21 \text{ March}} + (\sum_{h=1}^n E_{ew})_{22 \text{ June}} + (\sum_{h=1}^n E_{ew})_{23 \text{ September}} + (\sum_{h=1}^n E_{ew})_{22 \text{ December}}}{(\sum_{h=1}^n E_{et\theta})_{21 \text{ March}} + (\sum_{h=1}^n E_{et\theta})_{22 \text{ June}} + (\sum_{h=1}^n E_{et\theta})_{23 \text{ September}} + (\sum_{h=1}^n E_{et\theta})_{22 \text{ December}}}$$

สมการที่ 1.18

โดยที่  $(SC)_y$  คือ ค่าเฉลี่ยตลอดปีของค่าสัมประสิทธิ์การบังแดดของอุปกรณ์บังแดดภายนอก อาคาร



## ประวัติผู้เขียนโครงการงาน

ชื่อ-นามสกุล : นางสาววราภรณ์ อินอำไพ

ภูมิลำเนา : 97 หมู่ 2 ต.หนองปลิง อ. เมือง จ.กำแพงเพชร 62000

### ประวัติการศึกษา

จบระดับประถมศึกษาจากโรงเรียนทรัพย์สถิตวิทยาคาร จ.กำแพงเพชร  
 จบระดับมัธยมศึกษาจากโรงเรียนกำแพงเพชรพิทยาคม จ.กำแพงเพชร  
 ปัจจุบันกำลังศึกษาในระดับปริญญาตรีชั้นปีที่ 4 สาขาวิศวกรรมเครื่องกล  
 คณะวิศวกรรมศาสตร์ มหาวิทยาลัยนเรศวร จ.พิษณุโลก



ชื่อ-นามสกุล : นายจิรพงศ์ อนุจร

ภูมิลำเนา : 69 หมู่ 3 ต.วรนคร อ.ปัว จ.น่าน 55120

### ประวัติการศึกษา

จบระดับประถมศึกษาจากโรงเรียนจอมแจ้งวิทยาคาร จ.น่าน  
 จบระดับมัธยมศึกษาจากโรงเรียนปัว จ.น่าน  
 ปัจจุบันกำลังศึกษาในระดับปริญญาตรีชั้นปีที่ 4 สาขาวิศวกรรมเครื่องกล  
 คณะวิศวกรรมศาสตร์ มหาวิทยาลัยนเรศวร จ.พิษณุโลก



ชื่อ-นามสกุล : นางสาวณัฐธิดา มีรุ่งเรือง

ภูมิลำเนา : 28/425 ซอยประชาอุทิศ 54 แขวงบางมด เขตทุ่งครุ  
 กรุงเทพมหานคร 10140

### ประวัติการศึกษา

จบระดับประถมศึกษาจากโรงเรียนอรพินพิทยา จ.ลำพูน  
 จบระดับมัธยมศึกษาจากโรงเรียนสวนกุหลาบวิทยาลัย จ.ลำพูน  
 ปัจจุบันกำลังศึกษาในระดับปริญญาตรีชั้นปีที่ 4 สาขาวิศวกรรมเครื่องกล  
 คณะวิศวกรรมศาสตร์ มหาวิทยาลัยนเรศวร จ.พิษณุโลก

